

Дальневосточный научный центр АН СССР
Тихоокеанский океанологический институт

"Утверждаю"

Директор ТОИ ДВНЦ
доктор Ф.-М.Н.

Все И.Ильин

1976 г.



О Т Ч Е Т

о геологических исследованиях
в 25 рейсе НИС "ПЕРВЕНЕЦ"
(ЯПОНСКОЕ, ВОСТОЧНО-КИТАЙСКОЕ И
ФИЛИППИНСКОЕ МОРЯ)

Зав. лабораторией стратиграфии,
палеонтологии и палеогеографии ТОИ
доктор Г.-М.Н.

И.И.Берсенев

Владивосток
1976

СПИСОК ИСПОЛНИТЕЛЕЙ

Берсенев И.И. Зав. лабораторией стратиграфии, палеонтологии и неогеографии, доктор геолого-минералогических наук (главы 1, 2, 4, 6; приложения 2-7, 9 - 20)

Ващенкова Н.Г. мл. научный сотрудник (приложение 22-24)

Леликов Е.П. ст. научный сотрудник, кандидат геолого-минералогических наук (глава 5, таблица 3, I)

Липкина М.И. ст. научный сотрудник, кандидат геолого-минералогических наук (глава 5).

Сигова К.И. ст. инженер (глава 4, приложения 3 - 20)

Съедин В.Т. (приложение I, таблица 3, I)

РЕФЕРАТ

В отчете изложены результаты геологических исследований, выполненных в 25 рейсе м/с "Первенец" с 25 апреля по 29 июня 1976 г. в Японском, Восточно-Китайском и Филиппинском морях. Основной объем работ приходится на южную часть Японского моря. Даны краткая характеристика геолого-геофизической изученности районов работ, описаны методика, организация и объемы выполненных работ; геоморфология и гравитационные данные о геологическом строении обследованных участков морского дна: материкового склона Восточно-Китайского моря, провального склона того же моря у островов Удзи, островного склона Филиппинского моря близ о-ва Танечасима, банок Гудзя-Нисисоне, Гон-Ли и Хики (Восточно-Китайское море), подводных возвышенностей провальского, хребта Оки и Восточно-Корейской, подводного вулкана, расположенного в котловине Хонсю (Японское море) и других участков. Изложение базируется на составленных на основании эхолотных промеров мало- и среднемасштабных батиметрических картах полигонов общей площадью 9585 кв.км, эхолотных промерах вне полигонов и предварительном определении горных пород, поднятых драгами (104 результативных станции) и прямоточными трубками (4 станции).

Установлены отдельные несоответствия батиметрических данных, полученных на гидрографических картах, подтверждено отсутствие банок с отметками 22, 59 и 77, показанных на картах в юго-западной части Японского моря. Отчет состоит из 12 стр. машинописного текста, 12 графических и 5 текстовых приложений и списка литературы (150 наименований).

ОГЛАВЛЕНИЕ

1. Введение	6
2. Аналитический обзор	15
3. Методика, организация и объем выполненных работ	19
4. Результаты геоморфологических исследований	25
5. Результаты геологических исследований	43
6. Заключение	59
7. Список литературы	62

Приложения

А. Графические

- 1 Карта-схема 25 рейса нис "Первенец"
- 2 Батиметрическая схема материкового склона Восточно-Китайского моря
- 3 Полигон № 8. Островной склон. Карта фактического материала
- 4 Полигон № 9. Банка Гадзя-Нисисоне. Карта фактического материала
- 5 Полигон № 9-А. Банка Гонсоне. Карта фактического материала
- 6 Полигон № 9-Б. Банка Хики. Карта-схема фактического материала
- 7 Полигон № 10. Островной склон у о. Таненасима
- 8 Полигон 10-А. Банка южнее о. Яку. Карта-схема фактического материала
- 9 Полигон № I. Материковый склон возвышенности. Карта-схема фактического материала.
- 10 Полигон № 16. Восточно-Корейская возвышенность. Карта-схема фактического материала
- 11 Полигон № 16-А. Восточно-Корейская возвышенность. Карта фактического материала
- 12 Полигон 20-В. Карта фактического материала
- 13 Полигон 24. Возвышенность Пржевальского. Карта фактического материала

- I4✓ Полигон 24-А. Карта фактического материала
- I5✓ Полигон 25. Возвышенность хребта Ока. Карта фактического материала. Полигон 25-В. Карта фактического материала
- I6✓ Полигон 25-А. Карта фактического материала
- I7✓ Полигон 25-Б. Карта фактического материала
- I8✓ Полигон 25-Г. Карта фактического материала
- I9 Полигон 26. Карта фактического материала
- 20 Полигон 1. Карты фактического материала
- 21 Б. Текстовые
- 20. Научная программа 25 рейса нис "Первенец"
- 21. Отчет капитана нис "Первенец"
- 22. Каталог геологических станций
- 23. Каталог буев
- 24. Исходные данные для определения координат буев

I. ВВЕДЕНИЕ

5 рейс нис "Первенец" выполнялся с 25 апреля по 29 июня 1976 г. в соответствии с планом экспедиционных работ Тихоокеанского океанографического института ДВНЦ и программой, утвержденной вице-президентом АН СССР академиком А.В.Сидоренко (приложение № 18). В рейсе предусматривалось продолжить исследования, начатые ранее в Восточно-Китайском и Филиппинском морях в I4, I7 и 23 рейсах нис "Первенец" в рейсе нис "Каллисто", а также в Японском море, проводившиеся еще в 20, 24 и других рейсах "Первенца", "Каллисто" и "Витязя".

Методика работ была аналогичной выработанной в предыдущих рейсах нис "Первенец". Рейс планировалось выполнить в три этапа с тремя заходами в Корейский порт Хыннам для пополнения запасов топлива, воды и продовольствия. Порядок работы по этапам было решено изменить по сравнению с программой еще до выхода из Владивостока. Первый этап исследовались южные районы, во второй и третий — юго-западные районы Японского моря.

Состав экспедиции был следующим:

Начальник экспедиции доктор г.м.-н. И.И.Берсенев

ст. научный сотрудник Е.П.Леликов

- " - " - М.И.Липкина

Начальник геологического отряда Е.П.Терехов

- " - геоморфологического К.И.Сигова

ст. научный сотрудник Н.Г.Вашенкова

Ст. инженер А.С.Ярыгин

инженер В.Т.Съедин

Ст. лаборант Р.М.Князев

- " - О.В.Храмченко

Таким образом, в экспедиции не хватало 3 человек, что в ходе ее выполнения вызывало большое перенапряжение сил её участников. 6 членов экспедиции являлись сотрудниками лаборатории стратиграфии, палеон-

тологии и палеогеографии, два — М.И.Липкина и А.С.Ярыгин — сотрудниками других подразделений ТОИ и два — студентами.

Капитаном судна был очень опытный моряк Е.И.Микульчик, плававший капитаном на "Первенце" начиная с 17 рейса. Из штурманов первый и второй ранг ранее участвовали в экспедициях "Первенца", третий в подобном рейсе плавал впервые. Остальной состав экипажа был комплектован опытными моряками, значительная часть из них не первый год плавает на "Первенце". Весь экипаж судна работал очень хорошо.

Календарный график и расход времени в рейсе приведен в таблицах I, I. и I.2.

Переход из Владивостока на полигон 8, выбранный в Восточно-Китайском море у островов Удзи при промерах в 23 рейсе "Первенца", проходил в условиях волнения моря в 4-5 до 6 баллов. Однако существенной задержки перехода это не вызвало, так как направление зыби соответствовало движению судна по курсу. Время перехода было использовано для подготовки к работам — оборудованию лебедок, драг, грузов и пр. Исправность эхолота была проверена 24 апреля, для чего сделан выход из порта Владивосток в Уссурийский залив. Следует отметить высокое качество наладки аппаратуры эхолота, выполненное инженером лаборатории геологии шельфа С.Чирва при активном участии Е.П.Терехова. По этой причине в течение всего рейса эхолот, за исключением, работал очень хорошо.

Вскоре после прихода на полигон начался шторм, и "Первенец" вынужден укрыться у о.Симокосики. Общая потеря времени из-за шторма составила более двух суток. Работа на полигоне 8 была временно закончена и экспедиция направилась на материковый склон Восточно-Китайского моря. Здесь предполагалось найти крутые склоны,годные для драгирования. Однако значительный объем промеров, выполненных почти до паралели 29° , не дал положительных результатов —

Таблица I.I.

Календарный график и расход времени по
экспедиции 25 рейса м/s "Первенец""

Виды работ и операций	начало			Затрачено времени		
	число	часы	минут	суток	часов	минут
I этап						
переход Владивосток-Полигон 8	25.04	23	15	4	4	38
работа на полигоне 8	30.04	03	53	2	12	23
измеры на материковом склоне восточно-Китайского моря	2.05	15	30	2	-	-
переход на полигон 9	4.05	15	30	-	3	30
работа на полигоне 9	4.05	19	00	2	-	-
переход на полигон 9-А	6.05	20	10	-	4	-
работа на полигоне 9-А	6.05	00	00	-	18	45
переход на полигон 10	7.05	18	45	-	10	25
работа на полигоне 10	8.05	05	10	1	10	10
переход на полигон 10-А	9.05	19	00	-	10	03
измеры на полигоне 10-А	10.05	05	03	-	5	58
переход на полигон 9-Б	10.05	10	55	-	17	27
измеры на полигоне 9-Б	11.05	04	22	-	4	23
переход на полигон 16	11.05	08	45	3	2	45
измеры на полигоне 16	14.05	11	30	-	20	30
переход от полигона 16 в Хыннам	15.05	08	00	1	1	30
заноска в Хыннаме	16.05	09	30	3	4	40
выезд из Хыннама	19.05	14	10	-	-	-
Итого				23	14	55
II этап						
переход Хыннам-полигон 24	19.05	14	10	2	0	35
работа на полигонах 24, 24-А	21.05	14	45	4	0	15
переход на встречу с м/s "Сто" и переход на полигон	25.05	15	00	-	12	00

I	2	3	4	5	6	7
работа на полигоне 20-В	26.05	03	00	-	10	55
переход на полигон 25	26.05	13	55	-	3	30
работа на полигоне 25, 25-Б, 25-А	26.05	17	25	II	2	35
переход на полигон 16	6.06	20	00	I	7	00
работа на полигоне 16	8.06	03	00	-	14	20
переход от полигона 16 в Хыннам	8.06	17	20	-	16	00
занка в Хыннаме	9.06	09	20	4	10	00
выезд из Хыннама	13.06	19	20			
Итого				25	5	10
Ш этап						
переход Хыннам-полигон 15	13.06	19	20	I	16	40
работа на полигоне 15	15.06	12	00	-	19	06
работа на полигоне 16	16.06	07	05	2	12	30
переход на полигон 20-А	18.06	19	35	-	14	32
работа на полигоне 20-А	19.06	10	07	-	8	18
переход на полигон 25-Г	19.06	18	25	-	15	35
работа на полигоне 25-Г	20.06	10	00	2	10	00
переход на полигон 24	22.06	20	00	-	8	30
работа на полигоне 24	23.06	04	30	I	17	30
переход на полигон 26	24.06	22	00	+	10	00
работа на полигоне 26	25.06	06	00	-	16	45
переход на полигон I	25.06	22	45	I	10	30
работа на полигоне I	27.06	10	00	-	12	00
переход от полигона I в восток	27.06	22	00	2	13	00
занятие на якорную стоянку	29.06	11	00	-	-	-
Итого				15	15	48
Всего за рейс				64	11	45

Таблица I.2

склон оказался пологим. Южнее склон расположен в пределах военных полигонов, прилегающих к о. Окинава. По этой причине дальнейшее изучение материкового склона было прекращено. Затем экспедиция исследовала банку Гадзя - Нисисоне (полигон 9), расположенную в центральной части трога Окинава, и банку Гонсоне (полигон 9-А), находящуюся вблизи его восточного борта. На этих банках драгированием были подняты многочисленные образцы вулканических пород. Для получения образцов неогеновых осадочных отложений было решено прйти на островной склон Филиппинского моря. Здесь был разбит полигон 10 к юго-востоку от о. Танегасима. На многочисленных станциях драгирования были подняты обильные образцы однообразных пород, но возраст пока не ясен.

Оставшееся до перехода в Хыннам время предполагалось использовать для изучения безымянной банки, расположенной к югу от Аку, и банки Хики, находящейся к северу от банки Гонсоне. Однако, на обоих банках удалось провести лишь эхолотные промеры, а драгирование срывалось штормовой погодой. В целом в период работ в Восточно-Китайском и Филиппинском морях погода была неблагоприятной. Необладало волнение в 3-5 баллов и лишь во время работы на полигоне 10 волнение было слабым. Штормы вынуждали четырежды прекратить работу и укрываться у островов.

II мая "Первенец" взял курс в Японское море. Здесь по пути в Хыннам были проведены промеры на Восточно-Корейской подводной возвышенности (полигон 16). В этом районе в 20 и 24 рейсах "Первенца" производились поиски крутых склонов, окончившиеся без положительных результатов. На этот раз пригодные для драгировок склоны были обнаружены.

С 16 по 19 мая "Первенец" находился в Хыннаме. Во время стоянки получены вода и продовольствие, личный состав экспедиции и на совершил экскурсию по окрестностям Хыннама и Хамхына, отдохнул

напряже. Одновременно был проведен профилактический ремонт двигателей и отремонтирована траховая лебедка, у которой в одной из последних драгировок лопнул кронштейн тросоукладчика.

Во второй этап работы выполнялись в основном в южной части Японского моря на подводных возвышенностях Приморского (полигон 24) и Хребта Оки (полигон 25). При переходе на полигон 24 также выполнялся попутный промер Восточно-Корейской возвышенности на полигоне 16.

25 мая работы на полигоне 24 были прекращены в связи с необходимостью встретиться с танкером "Каллисто", который доставил запасные части для двигателей "Первенца". Штилевая погода позволила судам пришвартоваться, и передача всего необходимого заняла всего 34 минуты.

В этот же день судно пошло на восточный склон подводной возвышенности Оки с целью поисков крутых склонов (западный и северный склоны были обследованы в 24 рейсе). Здесь была пройдена серия промерных галсов (полигон 20-Б), давшая отрицательные результаты. Наиболее крутой из обнаруженных участков был продрагирован, но оказался покрытым четвертичными осадками.

26 мая "Первенец" достиг подводной возвышенности Хребет Оки (полигон 25). Здесь оказались весьма благоприятные условия для драгирования, позволившие получить весьма интересные геологические данные. По этой причине работы на этом хребте продолжались до 6 июня. В этот день вечером "Первенец" пошел в Хиннам, проводя попутные эхолотные промеры на возвышенностях Криштафовича и Восточно-Корейской.

Погода во время второго этапа экспедиции была благоприятной. потеря времени из-за штормов составила одни сутки 10 часов 30 минут.

Стоянка в Хиннаме заняла больше времени, чем планировалось (суток 10 часов), задержка была вызвана штормовой погодой и замлением документации на получения топлива в Нерабочие дни.

Перед заходом в Хыннам вышел из строя Эхолот. Стоянка была использована для ремонта эхолота, пополнения запасов продовольствия, воды и топлива (куплено 6 тонн), а также для отдыха личного состава, совершившего экскурсию на пляж. Следует отметить, что дождливая и ветренная погода и удушливый заводской дым омрачили пребывание в Хыннаме.

Третий этап рейса начался 13 июня в 19 часов 20 минут. После выхода из порта, судно сразу же попало в штормовые условия, что заудило "Первенец" идти к северному берегу Восточно-Корейского моря и лишь оттуда на полигон. Потеря времени в результате шторма составила 1 сутки 3 часа 40 минут.

15 июня судно вышло на западный склон Восточно-Корейской подводной возвышенности, где при переходе в Хыннам попутным промером были обнаружены крутые склоны. Проведенное здесь драгирование подтвердило данные, полученные на восточном склоне возвышенности в 24 рейсе на полигоне 15.

Затем были продолжены работы на полигоне 16, примыкающем с юга к полигону 15. В этом районе по-каким то причинам РНС "Лоран" не имела надежной привязки галсов, а в вечернее и ночное время практически не обеспечивала работу. По этой причине серия промерных галсов, выполненных при переходах в Хыннам, плохо увязывалась. По этой причине, после драгирования обнаруженного здесь подводного вулкана, склоне возвышенности был установлен буй и разбит полигон 16-А.

Работы на этом полигоне были закончены 18 июня, и "Первенец" шел на полигон 25. По пути была сделана остановка на подводном хане хребта Галагана (полигон 20-А). Здесь в небольшом объеме велись работы в 24 рейсе "Первенца". В данном рейсе было сдедено драгирование и отобраны пробы донных осадков трубками на прилегающем к хребту участке абиссальной равнины. Работы на втором полигоне были окончены, и судно продолжило переход

на полигон 25, куда пришло 20 июня. На этом полигоне во втором этапе рейса работы завершены не были. В тот же день был поставлен буй и разбит полигон 25-Г. Драгирование и эхолотные промеры на этом полигоне были завершены 22 июня. В тот же день судно пошло на полигон 24. За время с утра 23 до вечера 24 июня работы на этом полигоне, начатые во втором этапе, были окончены.

Затем "Первенец" пошел на поиски подводной горы (симаунта), расположенной в северной части котловины Хонсю. Симаунт был обнаружен в указанном на карте районе. Этот участок получил название полигона 26. В связи с недостатком времени буй здесь не ставился. Батиметрическая карта полигона была составлена на основании промерных галсов с привязкой по РНС "Лоран". Судя по этой карте, симаунт имеет типичную форму вулкана. Верхняя часть его склонов была продрагирована, а с абиссальной равнины близ подошвы вулкана срубкой взята колонка осадков. Драгирование показало, что вулкан заслуживает дальнейшего изучения. Вся работа на полигоне 26 заняла 15 часов 45 минут.

Вечером 25 июня "Первенец" взял курс на полигон I, расположенный на материковом склоне залива Петра Великого. На этом полигоне выполнялись работы в 15 рейсе "Первенца" в 1972 г. В результате изучения образцов горных пород, поднятых на ст. 770 с этого полигона, М.И.Липкиной были обнаружены рудные минералы (сульфиды). Из-за их крайне ограниченного количества и быстрого разложения при хранении на воздухе, имеется необходимость дополнительного сбора проб с этого участка. Поскольку переход из южной части японского моря рассчитывался с запасом времени на сутки, исходя из возможного шторма, резервное время было решено израсходовать на драгирование на полигоне I.

Переход от полигона 26 до полигона I происходил при хорошей погоде и занял всего 1 сутки 10 часов 30 минут. Утром 27 июня

экспедиция приступила к работе на полигоне. Вследствии недостатка времени, буй не устанавливался, привязка галсов и станций драгирования производилась по РЛС "Дон" на береговые ориентиры. Ввиду значительного расстояния до берегов о.Фуругельма и материка (18 миль и более), определение места судна не могло быть точным. Поэтому найти место, где были подняты руды в 1972 г., не удалось. Однако в пределах полигона был обнаружен крутой склон, начинающийся на глубине 800 м и уходящий на глубину 1000 м и более. Этот склон был продрагирован, и на всех 4 станциях подняты породы докайновского фундамента. Таким образом, получен новый важный материал о строении материкового склона в западной части зал. Петра Великого.

К вечеру 27 июня работы на полигоне были закончены. Вскоре "Первенец" встал на якорь в бух. Бойсмана, что южнее пос.Славянка. 28 июня производились демонтаж и упаковка оборудования, приборов и снаряжения экспедиции, окраска судна и его санитарная обработка. В ночь на 29 июня начался шторм. Однако, судно находилось в Амурском заливе, где волнение было незначительным.

В 05 часов 29 июня "Первенец" снялся с якоря и в 11 часов стал на якорь в бух. Золотой Рог. После оформления прихода властями, судно в 16 часов ^{при}швартовалось у 44 причала ДВНЦ.

**2. ОБЕСПЕЧЕННОСТЬ БАТИМЕТРИЧЕСКОЙ ОСНОВОЙ И ГЕОЛОГО-ГЕОФИЗИЧЕСКАЯ ИЗУЧЕННОСТЬ РАЙОНОВ ИССЛЕДОВАНИЙ
(АНАЛИТИЧЕСКИЙ ОБЗОР)**

2.1. Для обследованной акватории экспедиция имела навигационные карты, указанные в таблице 2.1

Таблица 2.1

Перечень навигационных карт

№	№ карты	Название	Масштаб	годы издания	Примечания
1	134	Японское море	I:2.000.000	1948 1970	
2	60300	От Владивостока до Корейского пролива	I:1.000.000	1972	изъята для навигации
3	2964	Японское море побережье Кореи	I:500.000	1963	
4	61008	Южная часть Японского моря	I:500.000	1970 1971	
5	8776	Южная часть о.Кюсю с арх. Осуми и Токара	I:500.000	1960 1971	
6	8790	Японское море от м. Осима до м. Нагао	I:500.000	1959 1970	
7	8786	Южная часть Японского и западная часть Внутреннего Японского моря	I:500.000	1959 1962	
8	2952	Японское море Побережье Кореи	I:250.000	1943	
9	62071	Залив Петра Великого	I:250000	1969 1971	

Примерными галсами установлены более или менее значительные расхождения днаисовке дна на всех картах.

2.2. Геолого-геофизическая изученность

Северные части Восточно-Китайского и Филиппинского морей изучались американско-японской экспедицией под руководством К.О.Эмери (Emery K.O. et al. 1969), проводившей сейсмопрофилирование и другие работы. По полученным этой экспедицией данным материковый склон Восточно-Китайского моря сложен неогеновыми отложениями. Ими же выполнен трог Окинава. Островная система Рю-Кю имеет сложное строение. Внутренняя (северо-западная) дуга сложена преимущественно вулканическими породами. Внешняя дуга состоит из трех блоков, разделенных глубоководными проливами. Главными островами

являются Сакияма (1975) и Н.В. Рыбаков (1975). К югу от материкового склона не спустились, но кратко описаны разрезы в отчете о работе японской "Чарльз" (С.А. Баскаков и др.).

В 2-й раз японской "Чарльз" при переходе из Сиданкура во Владивосток проводился трогер в троге Окинава и по разрезу, пересекшему склон островной дуги, в разрезах был обнаружен кругой склон острова Идзу, где был выбран участок для поиска.

Геофизические исследования в юго-восточной части Японского моря начались японской экспедицией на судне "Мацуко-мару" в 1969, 1970 и 1972 г. Были получены жесткие записи на хребту Оки. По данным Накамото, Т. Тоси, З. Усады, Т. Симода и др. (1971, 1972), в подводной тектонической зоне кору супраконтактового типа, отличающейся от материковой конгломератовой жильностью ("гравитационно-материкового" и "базальтового" разнов). Общая мощность коры до гранитов не превышает 12-15 км. По данным ИСБ и КОС в ее проходах имеются несколько погружающихся поверхостей с различными скоростями (м/сек): 2,7-2,8, 2,1-2,2, 4,0, 5,2, 6,3, 7,7, (Б. Танака, 1972). Верхние две "плоскости" вероятно, соответствуют слабо флювиогенезированным склонам, "третий" ее склон имеет 4,0 и 5,7 км/сек.

северного блока являются Яку и Танегасима. Эти острова сложены палеогеновыми и неогеновыми отложениями, а большую часть о. Яку слагает интрузия гранитов миоценового возраста. По данным К.О.Эмери и др., мощность кайнозойских отложений здесь очень изменчива и достигает 2 км и более (Берсенев, 1975).

Для части акваторий Восточно-Китайского и Филиппинского морей имеется мелкомасштабная карта аномального магнитного поля, составленная японскими исследователями. Однако у экспедиции ее не было. Геологические исследования обзорного характера выполнялись в 14 рейсе на "Первенец" под руководством Б.И.Васильева. Часть результатов изучения данных осадков опубликована в статьях Б.И.Васильева и Л.В.Забелина (1975) и В.В. Забелина (1975). Результаты единичного профилирования не опубликованы, но кратко охарактеризованы в отчете о 14 рейсе на "Первенец" (Б.И.Васильев и др.).

В 23 рейсе на "Первенец" при переходе из Сингапура во Владивосток проводился промер в троге Окинава и по галсу, пересекающему северное окончание трога. В результате был обнаружен крутой склон из островов Удзи, где был выбран участок для полигона 8.

Геофизические поля в юго-восточной части Японского моря изучались японскими экспедициями на судне "Макухо-Мару" в 1969, 1970 и 1972 г. Наиболее полные данные получены по хребту Оки. По данным Murauchi, T. Utsu, S. Uyeda, Y. Tomoda и др. (1971, 1972), подводная возвышенность имеет кору субматерикового типа, отличающуюся от материковой уменьшенной мощностью "гранитно-метаморфического" и "базальтового" слоев. Общая мощность коры до границы составляет 12-13 км. По данным НСП и МОВ в ее пределах выделяются несколько отражающих поверхностей с граничными скоростями (км/сек сверху): 1,7-2.0, 2.1-2.2, 4.0, 5.7, 6.7, 7.7, (S. Murauchi, 1972). Верхние два "слоя", вероятно, соответствуют слабомагнитизированным осадкам; "слой" со скоростями 4.0 и 5.7 км/сек.

отвечают вулканическим породам и гранитоидам; "слой" со скоростью 6.7 км/сек относится к "базальтовому", а граница Мохо проводится на границе со скоростью 7.7 км/сек.

Геофизические исследования в пределах Восточно-Корейской возвышенности и глубоководной впадины Криштофовича проводили сотрудники Тихоокеанского отделения Института океанологии (Карп, Шуравова, Шевалдин, Филатьев, 1974); Кулинич, Строев, Шевалдин и др. 1972, а также иностранные ученые (Thomas W. C. Hilde and John M. Wageman, 1973). Результаты этих работ изложены в указанных других статьях и приведены в отчете по 24 рейсу нис "Первенец" в данном отчете нет необходимости их повторять.

Геологические исследования и НСП на подводных возвышенностях Яндо и Криштофовича проводились в 20 рейсе нис "Первенец" Берсенев И., Берсенев Ю., Леликов Е., Липкин и др. 1975; Леликов, Берсенев, Берсенев, Липкин и др. 1975) и только геологические - в 24 рейсе (Берсенев И., Берсенев Ю., Ващенкова, Леликов и др. 1975). 24 рейсе были обследованы восточный склон Восточно-Корейской возвышенности в ее северной части, хребет Галагана, один из участков возвышенности Ямато и западный и северный склоны возвышенности Оки. Подводная возвышенность Пржевальского, расположенная между Ямато и хребтом Оки, также как и северный склон банки Оки, исследовалась Б.И.Васильевым. По его данным (Васильев, Карп, Строев, Шевалдин, 1975) в 1971 г. в этих районах было проведено 10 драгировок. На четырех станциях были подняты коренные породы и на 6 - галька и гравий. Драгами были подняты:

- Неваморфические породы - мелкозернистые кварциты и слюдистые шлаки (галька и валуны).
- Контактово-метаморфизованные породы биотитовые роговики (по аргиллитам) и тонкозернистые окварцированные песчаники.
- Диоритовые порфириты, микродиориты и спессартиты (галька и валуны)

- Розовые мелкозернистые граниты, граносиенит-порфиры, кварцевые порфиры, аплиты, жильный кварц (галька, валуны, щебень и дресва).
- Плагиоклазовые и плагиоклазово-роговообманковые андезиты и их туфы (галька и валуны).
- Базальты, андезиты и их туфы (глыбы, щебень, угловатые обломки, валуны, галька).
- Туфы кислого и среднего состава (глыбы и щебень).
- Туфопесчаники разнозернистые некрепкие (угловатые обломки).
- Алеврит плотный, плитчатый, с обугленным растительным детритом (глыбы). По данным Т.И.Шустовой, спорово-пыльцевой спектр этих пород один со спектром плиоценовых отложений южного Приморья.

Б.И.Васильев в этой же книге указывает, что на хребте Оки в 1953 г. проводили драгирование японские исследователи Хосино и Тодзи. По их данным здесь развиты вулканические породы кислого состава. На банке Оки они обнаружили микроклиновые граниты и оливино-базальты.

На островах Оки миоценовые эфузивы комплекса "зеленых туфов" лежат на гнейсах хида докембрийского возраста (1600 млн. лет и более).

3. МЕТОДИКА, ОРГАНИЗАЦИЯ И ОБЪЕМ ВЫПОЛНЕННЫХ РАБОТ

3.1. Методика работ

Программой рейса планировалось проведение геолого-геоморфологических исследований в северной части Восточно-Китайского моря на полигонах 8 и 9 и в Японском море на склонах подводных возвышенностей к северо-востоку от о.Уллындо (полигоны 24 и 25) и на склонах, обращенных к котловине Хонсю (полигоны 27, 28). Исходя из имеющегося судне оборудования, основными видами работ должно было быть профилирование подводных склонов и отбор проб донных осадков прямыми трубками и черпаками. Основной объем исследований планировалось выполнить на полигонах с привязкой промерных галсов.

и заякоренным буем с помощью РЛС "Дон" (приложение № 20).

Конкретные условия работ, определявшиеся, прежде всего, наличием пригодных для драгирования крутых подводных склонов, внесли определенные корректизы в методику работ и расположение полигонов. В Восточно-Китайском море заякоренный буй устанавливался лишь на полигоне 9. На остальных полигонах (8, 9-А, 10) привязка промерных галсов и геологических станций производилась с помощью РЛС "Дон" на береговые ориентиры островов. Промерные галсы на полигоне 10-Б также были "привязаны" к островам, а на полигоне 10-А - с помощью РЛС "Лоран".

В Японском море заякоренные буи устанавливались на полигонах 25-А, 24-А, 25-А, Б, Г. На всех остальных полигонах привязка промерных галсов и геологических станций осуществлялась при помощи РЛС "Лоран-А". Применение этой методики позволило охватить батиметрической съемкой масштаба 1:100.000 и драгированием большие площади при значительной экономии времени. В пределах площадей, заченных этой съемкой, на отдельных участках устанавливались буи, что позволило составить батиметрические карты масштаба 1:25.000 (на полигоне 25-Б - масштаба 1:50.000). Сочетание съемок разных масштабов позволило получить необходимую геоморфологическую и геологическую информацию для двух крупных подводных возвышенностей - Пржевальского и хребта Оки, а также основные сведения о Восточно-Японской возвышенности.

Основным затруднением при применении рассматриваемой методики оказалась не стабильная работа системы РЛС "Лоран-А".

В дневное и утреннее время в большинстве районов эта система показала высокую точность обсерваций, что подтверждалось хорошей надежностью батиметрических данных при пересечениях промерных галсов. В вечерние часы (после захода солнца), как правило, наблюдались сильные помехи и неустойчивый прием ведущего и ведомых импуль-

зов. По этой причине вечером и в начале ночи, примерно с 21 часа до 0 часов или до 01 часа, работы приходилось прекращать. Кроме того, в районе Восточно-Корейской подводной возвышенности прохождение импульсов было значительно хуже, чем в юго-западной части Японского моря. В связи с этим точность привязки в указанном районе оказалась неудовлетворительной. Это не позволило провести здесь земку масштаба 1:100.000.

Все прочие методические приемы в данном рейсе не отличались от выработанных в предыдущих рейсах "Первенца" (15, 17, 20-24).

3.2. Организация работ

Как указано выше, состав экспедиции не был укомплектован полностью. Это не позволило создать две палубные бригады, что практиковалось в предыдущих рейсах "Первенца". Личный состав экспедиции распределен следующим образом:

Палубная бригада:

бригадир А.С.Ярыгин

член бригады В.Т.Съедин

- " - О.В.Храмченко (в начале рейса Р.М.Князев)

Круглосуточная вахта на эхолоте

Нач. отряда К.И.Сигова

член вахты Н.Г.Ващенкова

- " - Р.М.Князев (в начале рейса О.В.Храмченко)

документация геологических материалов - М.И.Липкина.

Генеральная обработка материалов, с участием в палубных работах необходимых случаях - Е.П.Терехов.

Проведение работами с 08 до 20 часов - Е.П.Леликов.

Проведение работами с 20 до 08 часов - И.И.Берсенев

В связи с наличием лишь одной палубной бригады все соответствующие работы - установка и снятие буев, драгирование и отбор проб из оточных трубками - производились в светлое время суток, обычно

08 до 20 часов. В темное время производились эхолотные промеры. Работа планировалась таким образом, чтобы переходы судна между полигонами и в порты проходили преимущественно в ночное время (см. табл. I.I.). Эти мероприятия позволили в максимальной мере увеличить производительность труда палубной бригады.

Относительно незначительные простоя в ночное время в связи с плохой работой РНС "Лоран" существенно не повлияли на выполнение научной программы, поскольку общее количество промерных галсов во всех полиграонах, кроме полигона I6, обеспечило составление батиметрических карт требуемого масштаба.

Существенную помощь в планировании работ оказывали карты погоды, принимавшиеся ежедневно от 1 до 3 раз в сутки (в зависимости от метеорологической обстановки). Карты принимались на прибор МК-II нач. радиации А.Н.Пушкин и Е.П.Терехов. Карты, составляемые японским метеорологическим агентством в Токио, позволяли с высокой степенью точности прогнозировать погоду на ближайшие 1-3 суток и вносить корректиды в текущие планы экспедиции.

3.3. Объем выполненных работ

Общий объем выполненных работ приведен в таблице 3.I. Как видно из таблицы в ходе экспедиции получен обильный фактический материал, которого не удавалось собирать ни в одном из предыдущих рейсов "Первенца". По основным видам работ - драгированию и эхолотной съемке - достигнуты очень хорошие результаты. Проведено 120 станций драгирования и покрыто батиметрической съемкой масштаба 1:25.000 - 1:100.000 9585 кв.км. Кроме того на материковом склоне Восточно-Китайского моря, на Восточно-Корейской возвышенности и в нескольких других районах пройдены промерные галсы, освещающие общий характер рельефа морского дна.

Из 120 станций драгирования 104 станции дали положительный результат. На 16 станциях (13,4%) драгирование было неудачным.

№ № ПОЛИ- ГОНОВ	Драгирование			Кол-во драг поднявших горные поро- ды	отобр. проб труб- ками	Общее кол-во стан. Глубина до 1000 м	Уста- новка буев	Площадь полягона в км	Масштаб съемки		
	Глубина до 1000 м	Глубина более 1000 м	Всего								
			штук			%					
I	2	3	4	5	6	7	8	9	10		
8	3	-	3	2	67	-	3	-	90		
9	8	-	8	5	62	-	8	1	145		
9-А	5	-	5	4	80	-	5	-	110		
9-Б	-	-	-	-	-	-	-	-	185		
10	2	4	6	4	67	-	4	6	270		
10-А	-	-	-	-	-	-	-	-	180		
15	-	3	3	3	100	-	3	-	-		
16	-	2	2	2	100	-	2	2	2000		
16-А	-	8	8	8	100	-	8	1	170		
20-А	-	1	1	1	100	3	4	4	-		
20-Б	-	1	1	1	-	-	1	1	620		
24	10	1	II	II	91	-	10	II	3100		
24-А	-	6	6	6	100	-	6	6	220		

25-A	v	8	-	8	6	75	-	8	-	8	I	280	4000	11100.000	I:25.000
25-B	v	I	3	4	4	100	-	I	3	4	I	275			I:50.000
25-B	-	-	-	-	-	-	-	-	-	-	-	200			I:100.000
25-T	v	I5	-	I5	I3	I87	-	I5	-	I5	I	240			I:25.000
26	v	-	3	3	3	100	2	-	5	5	-	220			I:50.000
I	v	2	2	2	4	100	-	2	2	4	-	50			I:50.000
Итого		76	44	120	I03	85.8	5	76	49	I25	6	II.150			
												I325			I:25.000
												III0			I:50.000
												7920			I:100.000
												2000			I:200.000

Пройдено 7103 мили, в том числе с промерами 2400 миль (4450 км)

Примечания: I) на полигонах 15 и 20-А основные работы выполнены в 24 рейсе НИС "Червонец" (1975).

В настоящем рейсе проведены дополнительные драгирования и отбор проб прямо-точными трубками.

- 2) Полигоны 16-А, 24-А, 25-А, Б, Г съемки масштаба 1:25.000 расположены соответственно в пределах полигонов 16, 24, 25 съемки масштабов 1:100.000; 1:200.000 их площади в общий итог не включены.

В большинстве случаев это явилось следствием порыва сетки драги. Последнее обстоятельство связано с тем, что сетка зацеплялась за скальные породы. Лишь на одной (первой в рейсе) станции драга была сорвана у дна. Это объясняется низким качеством конечной части троса. В целом же трос был весьма прочным и выдерживал нагрузки, равные максимальной мощности траховой лебедки. На нескольких станциях, например на полигоне 20-А, драгирование проводилось на недостаточно крутом склоне, в порядке проверки, и драга зацепила грунт, который был почти полностью смыв при подъеме драги. Успех драгирования объясняется прежде всего высоким мастерством членов эхолотной бригады и руководителя этих работ Е.П.Леликова. Положительную роль сыграла и улучшенная конструкция драг, которые были усилены приваренными с внутренней стороны пластинами. В результате драги быстрее укладывались в нужную точку, что особенно важно при значительном дрейфе судна.

За весь рейс были потеряны одна драга, одна трубка и один штырь буя. Во всех случаях обрывы связаны с дефектами тросов. Большой объем выполненных эхолотных промеров, помимо отлично наладленной работы членов эхолотной бригады, объясняется хорошим состоянием эхолота, профилактический ремонт которого производил Е.П.Терехов. Кроме того, впервые за все последние рейсы экспедиция имела достаточное количество электрохимической бумаги. За рейс было израсходовано 23 рулона бумаги, причем на настройку аппаратуры было истрачено минимальное количество.

Во время рейса имелось очень мало времени и сил на камеральную обработку материалов. Описание горных пород и проб ^{отбор} на анализы, шифы, и пр. были сделаны для всех 104 станций драгирования и для трубки. Остальные колонки, поднятые трубкой (длиной 2 м и более) были законсервированы.

Результаты эхолотных промеров выносились на планшеты практи-

ки немедленно и корректировались и пополнялись по мере работы на полигонах. Таким образом, во время рейса для всех полигонов былиставлены авторские экземпляры карт фактического материала. Однако, вертить на ватмане удалось лишь несколько полигонов.

Достигнутые успехи объясняются прежде всего самоотверженной работой всех членов экспедиции. Помимо вахт, которые продолжались почти непрерывно по 12 часов в сутки, выполнялись камеральные и различные вспомогательные работы. Следует также отметить очень четкую работу всех членов экипажа во главе с капитаном Е.К.Микульчиком.

4. Результаты геоморфологических исследований

Геоморфологические исследования проводились на основе батиметрических съемок полигонов масштаба 1:25.000, 1:50.000 и 1:100.000, проходки промерных галсов по разряженной сети, а в отдельных случаях — при переходах судна в порты или между полигонами (см. приложение № I).

4.1. В Восточно-Китайском море обследованы материковый и островные склоны и ложе трога Окинава.

4.1.1. Материковый склон изучался на отрезке $29^{\circ}38'$, с.ш. — $29^{\circ}10'$ в.д. промерными галсами 5–8 общим протяжением 170 км. Галсы велись с целью поисков крутых склонов, которые ожидались в ложах подводных долин, прорезающих склон. Поэтому они располагались преимущественно в средней части материкового склона.

Вследствие недостаточного количества галсов точную характеристику склона дать нельзя. Склон имеет общее веверо-восточное простирание (20°). На участке $30^{\circ}10'$ — $30^{\circ}20'$ имеется выступ шельфа в сторону трога Окинава длиной около 10 км. Здесь очертания материкового склона имеют форму ломаной линии (приложение № 2, галсы 7-А, 7-Б). На участке $29^{\circ}40'$ — $29^{\circ}44'$ склон пересекает пологая долина (приложение № 2, галсы 8-Г, 8-Д). Ширина ее днища 2–4 км, у изобаты — 0,5 км, относительная глубина 100–150 м, крутизна склонов

до 15° .

Крутизна материкового склона измеряется первыми градусами до

В большинстве случаев склон расчленен пологими ложбинами, от-
деленными увалами с выпуклыми склонами и округлыми гребнями (см.

зложение № 2, галс 7). Крутизна их склонов $5-10^{\circ}$, расстояния между

дном смежных долин 0.5-1.0 км, относительное превышение увалов

днищами ложбин 25-50 м. Галс 8-Д пересек участок расчленения

на ложбинами с расстояниями между ними 100-200 м. Лишь в одном

галсом 5 было пересечено два уступа относительной высотой
и 40 м.

Таким образом, северная часть материкового склона Восточно-

йского моря существенно отличается от его юго-западной части,

следованной в I7 рейсе лис "Первенец" (Берсенев, Марков и др.,

5). По своему характеру он близок к материковому склону Татарского

пролива в районе севернее зал. Владимира. По-видимому, слабая рас-

ченность склона объясняется низкой энергией подводной денудации.

Следнее обусловлено сравнительно небольшой глубиной трога Окинава.

Аналогичная картина наблюдается и на материковых склонах Японского

моря и Татарского пролива у побережья Приморского края.

4.1.2. Ложе трога Окинава обследовано галсами 5 и 13 (приложение

2). Галс 5 пересек трог от островов Удзи до точки с координатами

$25^{\circ}05'$, $128^{\circ}34'$, длина этой части галса 70 км. Дно трога в восточ-

ной части ровное, глубина дна 780-790 м. На участке $128^{\circ}56'$ - $129^{\circ}8'$,

пересек небольшую подводную возвышенность с глубинами немногим

менее 500 м. Восточный склон ее имеет крутизу до 45° , западный

и расчленен узкими "долинами" с V - образным поперечным профилем

относительной глубиной до 100 м. Возвышенность, вероятно, имеет

тектоническое происхождение. Далее к западу дно трога ровное, глуби-

на дна около 700 м. Переход от дна трога к материковому склону

очень плавный. Здесь уклон дна постепенно возрастает до 5° .

Галсом I3 была пересечена восточная часть трога Окинава от Гадзя-Нисисоне до банки Гонсоне на широте $29^{\circ}52'$ - $29^{\circ}47'$. длины галса 30 км. На этом участке дно трога имеет волнистую поверхность, глубина изменяется от 900 м в западной части до 700 м немногим выше, преобладающая глубина дна около 750 м. Уклоны дна достигают 2° .

4.1.3. В пределах трога Окинава была обследована банка Гадзя-соне, где был разбит полигон 9 (приложение 4). Полигон ограничен координатами $29^{\circ}49'$ - $29^{\circ}56'$, $128^{\circ}49'$ - $128^{\circ}58'$, имеет площадь 2 км^2 , здесь пройдено 17 промерных галсов, привязка которых проходила к бую 62. Банка представляет собой вулкан, вероятно, вымирающий. Подошва вулкана, расположенная на глубине 800 м, вытянута в северо-восточном направлении на 125 км. Минимальная глубина, занесенная на карте № 8776,-27 м, зафиксированная при промерах - 27 м. Северный и северо-западные склоны вулкана пологие ($3-8^{\circ}$), барабаны расчлененные, привершинная часть куполовидная, с уклонами 15° , здесь имеются две вершины, оконтуренные изобатами 100 м. Восточный склон крутой ($25-45^{\circ}$), бровка его лежит на глубине -250 м.

4.1.4. Юго-восточный, то есть островной склон трога Окинава, находился на полигонах 9-А, 9-Б и 8.

Полигон 9-А (приложение 5) был разбит на банке Гонсоне. Он ограничен координатами $29^{\circ}43'$ - $29^{\circ}49'$, $129^{\circ}21'$ - $129^{\circ}30'$ площадь полигона 110 км^2 , здесь пройдено 13 промерных галсов, привязанных к островам Гадзя, Тайра, Наканосима. Подножие вулкана расположено на западе на глубине 575 м, на востоке на глубине 400 м. В плане вулкан имеет близкую к изометрической форму, минимальная глубина на карте № 8776 -61 м, отмеченная при промерах-80 м. Склоны, кроме южного, расчленены слабо, крутизна их 10-12 до 25° .

(полигон 9-Б, приложение № 6)
На банке Хики было пройдено 5 промерных галсов, привязанных

островам Гадзя, Наканосима, Кутиносима. Полигон ограничен координатами $30^{\circ}08'$ - $30^{\circ}21'$, $129^{\circ}22$ - $129^{\circ}31$ ', обследованная акватория имеет площадь 185 км^2 . Исследование банки не было закончено из-за начавшегося шторма. Банка Хики, вероятно имеет вулканическое происхождение. Подножие ее лежит на глубине 700 м, минимальная глубина по карте № 8776 - 142 м, отмеченная при промерах 145 м, судя по форме банка в плане имеет окружную форму, диаметр подножия по изображению 700 м - км. Слоны банки имеют крутизну 10-15 до 25° .

Южнее банки Хики по карте № 8776 показана безымянная банка, вытянутая в широтном направлении, привершинная часть которой оконтурена изобатой 600 м. Промерными галсами здесь подобных глубин не изучено, минимальные глубины около 400 м. Указанная возвышенность отделена от банки Хики заливом трога Окинава с глубинами до 800 м.

Полигон 8 (приложение № 3) ограничен координатами $31^{\circ}10'$ - $31^{\circ}21'$, $125'$ - $129^{\circ}33$ ', имеет площадь 90 км^2 и изучен 5 промерными галсами, привязанными к островам Удзи и Иэ. Полигон охватывает шельф, обращенный к трогу Окинава. Бровка шельфа ограничена изобатой 100 м, простирание ее северо-восточное (40°). Слоны слабо изучены, крутизна его 10-15 до 40° , подошва расположена на глубине 100 м.

4.2. В Филиппинском море был обследован островной склон близ Танегасима и безымянная банка южнее о. Яку.

4.2.1. Полигон 10 (приложение 7) ограничен координатами $30^{\circ}10'$ - $31^{\circ}3'$, $130^{\circ}59'$ - $131^{\circ}12'$, имеет площадь 270 км^2 , здесь пройдено 15 промерных галсов, привязанных к о. Танегасима. Ввиду значительного удаления полигона от береговых ориентиров, привязка галсов недостаточно точная и батиметрическая карта полигона является схематической.

Островной склон в пределах полигона обследован в пределах глубин от 200 до 1400 м. Склон на всем протяжении (20 км) очень сильно расчленен подводными долинами.

дель долины направлена поперек склона, а часть, в том числе наименее крупные, секут его под углом, отклоняясь к югу. Вблизи бровки шельфа имеется множество небольших долин, сливающихся вниз по склону, давая дендритовидный тип расчленения рельефа.

Продольные уклоны долин соответствуют общему уклону склона и составляют вблизи бровки шельфа $15-20^{\circ}$, уменьшаясь на глубине 1300 м до $2-3^{\circ}$. В поперечном профиле они имеют узкое дно и прямые склоны крутизной $25-30^{\circ}$, иногда до 45° . На глубинах 1000-1200 м дно расширяется, принимает вогнутую форму, а склоны становятся менее крутыми ($15-25^{\circ}$).

Увалы, разделяющие долины, имеют выпуклую форму склонов. В продольном профиле они неровные, уклоны местами достигают 25° , местами опускаются до $2-3^{\circ}$.

Подобный характер расчленения склона свидетельствует об интенсивной подводной денудации. Поэтому на крутых склонах подводных банок следовало ожидать множества обнажений пород дочетвертичного покрова. Однако, при драгировании здесь были подняты преимущественно глинистые осадки. Причины подобного явления пока не ясны.

Полигон IO-A был разбит к югу от о. Яку на шельфе близ бровки подводного склона с целью выяснения характера рельефа безымянной банки. На навигационных картах эта банка снабжена надписью "возможная подводная вулканическая деятельность". Поскольку банка принадлежит к северной дуге Рюкю, характеризующейся отсутствием кайнозойского тектонизма, следовало выяснить, на каком основании появилась эта банка.

Полигон ограничен координатами $29^{\circ}42' - 29^{\circ}56'$; $130^{\circ}21' - 130^{\circ}31'$. Площадь полигона 180 км², здесь пройдено 5 промерных галсов, привязанных с помощью РНС Лоран и РЛС к островам.

В пределах банки рельеф оказался очень пологим, выровненным. Обнаружены два куполовидных поднятия дна, оконтуренных изо-

и I50 и I75 м. Максимальные глубины к северу и югу от банки Чогим более 350 и 300 м соответственно, максимальный уклон на берном склоне банки достигает 30° , уклоны дна в пределах банки наблюдаются в пределах $3\text{--}10^{\circ}$.

Таким образом, никаких признаков рельефа вулканического происшествия, как и следовало ожидать, здесь не обнаружено. Рассматриваемая банка, вероятно, представляет из себя структуру, сходную с островами Танегасима, Амамиосима и др. восточной дуги Рюкю, имеющими значенные водораздельные пространства. Указанную выше подпись с гагационных карт следует снять.

4.3. В Японском море основные объемы геоморфологических исследований проведены на хребте Оки и подводной возвышенности Севальского (см приложение № I). Кроме того обследованы: восточный склон банки Оки, часть Восточно-Корейской возвышенности, подводный вулкан Медведева в котловине Хонсю, небольшой вулкан в этой же котловине и небольшой участок материкового склона м. Петра Великого.

4.3.1. Подводный хребет Оки расположен близ побережья о.Хонсю, вдаясь от него трогом с глубинами до I700 м и более. С севера к нему примыкает котловина Хонсю. Глубина дна абиссальной равнины у южной оконечности хребта достигает 2900 м. На юго-западе хребет примыкает к острову Оки, окружающему острова Оки. Длина хребта от бровки шельфа до южного северо-восточного склона почти 200 км., ширина (по изобатам с севера и I500 м с юга) до 50 км.

В пределах хребта был разбит полигон 25 (приложение № I5) площадью 4000 км^2 , где было пройдено 67 промерных галсов с привязкой по РНС "Лоран-А". Внутри этого полигона были установлены буи, разбиты полигоны 25-А, 25-Б и 25-Г. На этих полигонах промерные буи привязывались к буям с помощью РНС "Дон".

Полигон 25 ограничен координатами $36^{\circ}32'$ — $37^{\circ}18'$; $134^{\circ}04'$ — $135^{\circ}30'$

Он охватывает привершинную часть и юго-восточный склон хребта Оки, исключая участок его причленения к шельфу. Северо-западный склон хребта до подножия изучен лишь в западной части полигона.

Полигон 25-А (приложение № 16) расположен в западной части полигона 25. Он лежит в пределах координат $36^{\circ}44'$, $-36^{\circ}54'$; $134^{\circ}18'$, $-134^{\circ}29'$, имеет площадь 280 км^2 и изучен 24 промерными галсами. По полигону составлена батиметрическая карта масштаба 1:25.000. Кроме того, для изучения кекуров были пройдены галсы по густой сети, и составлена крупномасштабная карта для небольшой площади.

Полигон 25-Б (приложение № 17) находится к югу от полигона 25-А и почти граничит с ним. Его площадь 275 км^2 , здесь пройдено 23 промерных галса. Ввиду неблагоприятной погоды привязка галсов к бую № 65 была не всегда достаточно точной. Поэтому по полигону составлена батиметрическая карта масштаба 1:50.000. Полигон лежит в границах: $36^{\circ}34'$, $-36^{\circ}47'$; $134^{\circ}18'$, $-134^{\circ}30'$.

Полигон 25-Г (приложение № 18) расположен к востоку от полигона 25-А, он ограничен координатами $36^{\circ}43'$, $-36^{\circ}53'$; $134^{\circ}30'$, $-134^{\circ}40'$, имеет площадь 240 км^2 , здесь пройдено 23 промерных галса, привязанных к бую 67. По полигону составлена батиметрическая карта масштаба 1:25 000.

Рисовка рельефа хребта Оки на батиметрических картах, составленных на основании указанных выше работ, существенно отличается от его изображения на картах № 61008, 8786 и др. Как видно из сводной карты (приложение № 15), юго-восточный склон хребта имеет прямолинейное очертание. На картах этот склон изображен в виде извилистой линии. Иные формы имеют так же северо-западный склон (в пределах обследованной части) и привершинная часть хребта. Дана краткая геоморфологическая характеристика хребта Оки.

Рассматриваемый хребет с юго-востока ограничен крутым

-25 до 35°) и прямым склоном. Простижение его 55° , подошва склона западе находится на глубине 1200 м, на востоке опущена до 1600 м, обусловлено уклоном на северо-восток дна глубоководного трога. Кровка склона, обычно выраженная очень четко, лежит на глубине -500, на отдельных участках в верхней части склон имеет выпуклый фронт. В плане склон расчленен очень слабо. Местами имеется бровка.

На полигоне 25-Г в верхней части склона обнаружены отрицательные формы рельефа, напоминающие подводные долины материкового склона берегья Приморья. Здесь на глубине 400-450 м отмечены V-образные долины, врезанные в основной склон на глубину 50-75 м. Ниже сливаются друг с другом, образуя дендритовидную форму расчленения. Долина прослеживается до подножия склона, то есть до глубины 30 м.

Северо-западный склон до подножия обследован лишь на отрезке 30 км. В западной части полигона бровка склона находится на глубине 900 м. Ниже до глубины 1500 м склон крутой ($35-45^{\circ}$), ниже, простижение его 10° . Ниже до глубины 1800 м склон выпадает до 5° .

Восточнее склон имеет простижение $20-25^{\circ}$, а крутизна его уменьшается до $10-15^{\circ}$. На участке между меридианами $134^{\circ}18'$ - $134^{\circ}24'$, на нем проявлены оползневые формы рельефа, наиболее развитые в его нижней части. Подошва склона лежит на глубине немногим более 2000 м.

Далее на северо-восток склон имеет сложный рельеф. Он изучен в верхней и средней частях. Преобладающими формами склона являются вынужденные полого наклоненные ступени, ограниченные уступами.

На отрезке $134^{\circ}26'$ - $134^{\circ}38'$ бровка склона находится на глубине 400 м. Общее простижение ее широтное, линия бровки в плане листая. От бровки на север простирается выровненный пологий склон, выложивающийся к северо-востоку до $2-3^{\circ}$. Галсом I24

участке с координатами $37^{\circ}02'$ - $134^{\circ}33'$, пересечен обрыв высотой м, обращенный к югу. Севернее его обнаружена подводная возвышенность с глубинами менее 650 м. Таким образом, на этом участке находятся неизученная морфоструктура, существенно осложняющая рельеф северо-западного склона хребта Оки.

На меридиане $134^{\circ}38'$ бровка шельфа имеет простиранье, близкое 10° . Крутизна склона в верхней части $10-15^{\circ}$. Далее к востоку бровка на вновь принимает широтное, а затем северо-восточное простиранье. Склон здесь имеет крутизну от 5 до 30° , местами наблюдаются большие обрывы. На глубине 800 м склон выполаживается и далее к востоку расположена равнина с глубинами 900-950 м шириной более 12 км.

На участке между меридианами $134^{\circ}50'$ - $135^{\circ}04'$, склон не изучен. К востоку от указанного меридиана склон имеет близкое к широтному простиранье. Он осложнен долиной также широтного простирания. Крутизна склона $10-25^{\circ}$.

Привершинная часть хребта Оки представляет собой слабо расчлененное плато. В его юго-западной части, на полигоне 25-А, 25-Б находится на глубине около 450 м. К востоку, на полигоне 25-Г далее на северо-восток глубина дна 350-400 м и менее.

Ширина плато в западной части полигона около 10 км, по меридиану $134^{\circ}30'$ - 20 км, по меридиану $134^{\circ}38'$ - 5 км, по меридиану $134^{\circ}40'$ - 12 км, по меридиану $134^{\circ}54'$ - 4 км.

Далее к востоку плато расчленено поперечными ложбинами. Наиболее крупная из них расположена близ меридиана $135^{\circ}00'$. Здесь минимальная глубина седловины 975 м. Ряд других ложбин и седловин расчленяет северо-восточную часть плато на ряд изолированных останцов размерами 4-6 км. Поверхность их находится на глубине 400-450 м, самой восточной, расположенной у восточной рамки полигона, на глубине 550 м. К опущенному участку плато, по-видимому, относится мало изученный останец с глубинами около 650 м.

Своебразная форма расчленения плато обнаружена на полигоне 25-Б. Здесь вдоль параллели $36^{\circ}42'$ плато пересекает долина широтного направления. Она начинается у меридиана $134^{\circ}18'$. Долина в верховьях имеет \backslash -образный профиль, узкое дно её, начинаясь на глубине до 450 м, погружается до отметки 700 м на долготе $134^{\circ}20' - 22'$. В долине обнаружена "бессточная" котловина относительной глубиной до 10 м. От этой котловины на север начинается платообразная ступень, опущенная по отношению к плато на 200 м и очень полого наклоненная на север.

На полигоне 25-А обнаружено два уступа субширотного простирания. Южный уступ имеет высоту 20 м, по нему плато опущено от отметки 460 м до 440 м, по северному уступу плато опущено на 30 м от отметки 460 м до 480 м.

Из микроформ рельефа плато очень характерными являются скалы, вышагающиеся над его ровной поверхностью. По характерной морфологии они названы кекурами. Кекуры распространены только на поверхности плато и отсутствуют на склонах хребта Оки. Относительная высота скал от первых метров до 80 м, крутизна склонов от 25° до отвесных, размер в поперечнике от нескольких метров до 80 м, крутизна склонов от 25° до отвесных, размер в поперечнике от нескольких метров до 80 м, крутизна склонов от 25° до отвесных, поперечник по подошве скал от нескольких метров до 10 м. Наиболее характерной формой кекуров является ассиметричная, при которой один склон очень крутой, другой — пологий. По результатам промеров, специально выполненных на полигоне 25-А (см. приложение 25-А), какой либо закономерности в определении кекуров не обнаружено. Это значит, что не удалось установить их приуроченность к определенным линиям. Установлено то, что они группируются на отдельных участках плато. При этом разные определенные формы и размеров тяготеют друг к другу.

Из приведенных данных можно сделать следующие предварительные

воды.

Прямолинейность и значительная (1100-1300 м) относительная высота юго-восточного склона хребта указывает на его тектоническое происхождение. Аналогичный характер имеет и северо-западный склон западной части хребта. На других участках северо-западного склона в привершинной части хребта ^{имеются} следы раздробления хребта разломами северо-восточного, северо-западного субширотного и субмеридионального направлений. Создается впечатление, что весь хребет подвергся второму растяжению. В результате образовались грабены, а отдельные участки хребта неравномерно опустились.

Широкое распространение кекуров на вершинных плато указывает то, что в прошлом они подверглись интенсивной абразии. Отсутствие очень незначительное распространение осадочных неогеновыхложений на плато указывает на недавнее опускание хребта Оки.

4.3.2. Полигон 25-В (приложение № 15) расположен в южной части острова Хонсю к северу от восточного окончания хребта Оки. Полигон ограничен координатами $37^{\circ}26'$ - $37^{\circ}34'$; $134^{\circ}53'$ - $135^{\circ}02'$ и имеет площадь 200 км². Здесь пройдено 6 промерных галсов, привязанных РНС "Лоран А", позволивших составить батиметрическую карту масштаба 1:100.000. Полигон был разбит с целью изучения подводного вулкана (симаунта). Однако, глубины 1236 м, указанной на картах, выявить не удалось. Возможно, что поиски вулкана проведены в недостаточном объеме. Вулкан, расположенный на данном полигоне, имеет относительную высоту (250 м). Он вытянут в северо-восточном направлении (45°), имеет длину по подошве 12 км, ширину до 8 км. Купола вулкана лежит на глубине 2950 м, склоны имеют крутизну до -25° .

4.3.3. Подводная возвышенность Пржевальского расположена между возвышенностями Ямато и Оки. От первой она отделена седловиной с минимальными глубинами 1333 м, от второй соответственно, с

1352 м

и долинами (по карте № 60300). С востока к ней примыкает котловина
юго-восточную форму, будучи несколько вытянутой на северо-восток.
на ее (от изобаты 1000 м на юго-западе до изобаты 2500 м на
северо-востоке) 120 км, ширина 110 км.

Возвышенность обследована на полигоне 24 (приложение № 13),
которого расположен полигон 24-А. Полигон 24 ограничен
координатами $37^{\circ}30'$, $-38^{\circ}15'$; $133^{\circ}32'$, $-134^{\circ}32'$, имеет площадь 3100 км^2 ,
здесь пройдено 56 промерных галсов, привязанных по РНС "Лоран-А",
позволило составить батиметрическую карту масштаба 1:100.000.
Полигон 24 охватывает юго-восточную часть и склон возвышенности
подножия. На этом полигоне, как и на предыдущем, обнаружена рас-
стояние в рисовке рельефа на картах № 60300, 8786 и др.

Полигон 24-А (приложение № 14) имеет координаты $37^{\circ}55'$, $-38^{\circ}03'$;
 $37^{\circ}13'$, $-134^{\circ}26'$, его площадь 220 км^2 , здесь пройдено 30 промерных
галсов, привязанных к бую № 63, что дало возможность составить
батиметрическую карту масштаба 1:25 000. Ниже дано краткое описание
возышенности по материалам, полученным на обоих полигонах.

Юго-восточный склон возышенности почти прямолинейный, слabo-
измененный, простирание его северо-восточное (50°). Подошва склона
юго-западе лежит на глубине 1600 м, на северо-востоке - до 2300 м,
склона на юго-западе находится на глубине 550-600 м, на
северо-востоке - на глубине 1000-1200 м. В северо-восточной части
высоты склон почти прямой, крутизна его $15-20^{\circ}$, на глубине
1900 наблюдается крутой, местами почти вертикальный обрыв.
юго-западе склон имеет ступенчатый профиль с обрывами высотой
200 м, слабо наклоненными ($3-5^{\circ}$) ступенями шириной 4-6 км.

Подножье склона осложнено параллельными ему увалами относитель-
ной высотой 90-50 м, имеющих оползневое происхождение. В юго-запад-
ной части возышенности вдоль бровки склона широко распространены

расположенные на глубинах 475-550 до 600 м. Относительная высота кекуров 5-10 м, максимальная - 190 м.

Привершинная часть возвышенности представляет себя несколько из куполовидных вершин. В их пределах минимальные глубины, указанные на карте № 60300, следующие: 483, 446, 487, 397. Наименьшая глубина находится в северо-восточной части возвышенности. При промерах обнаружены глубины менее 400 м. Не исключено, что на некоторых из этих куполовидных вершин имеются кекуры. Однако при промерах, проведенных в условиях сильного волнения (галсы 23-25), надежно их определить не было возможности.

Северо-восточный склон возвышенности имеет выпуклую форму, крутизна в верхней части 5-10°. Северо-западный склон возвышенности обследован на участке длиной 30 км. Склон имеет прямой профиль, крутизна его около 15°, подошва расположена на глубине более 2100 м.

Исходя из характера рельефа возвышенности Пржевальского можно сделать следующие предварительные выводы.

Юго-восточный склон возвышенности имеет тектоническое происхождение.

Геологическое строение склона на разных его участках неодинаковое. В северо-восточной части склона развиты неогеновые отложения, образующие оползни у его подошвы. Юго-восточная часть склона сложена породами различной крепости, что обуславливает его ступенную форму.

Наличие кекуров на бровке склона в юго-западной части полигона указывает на отсутствие или незначительное распространение неогеновых осадочных пород и относительно недавнее погружение возвышенности.

4.3.3. Возвышенность (банки) Оки изучалась в 24 рейсе "Первенец" на полигонах 19 и 20. В данном рейсе был обследован ее северо-восточный склон, где был разбит полигон 20-Б.

Полигон 20-Б (приложение № 12) лежит в пределах координат $36^{\circ}56'$, $-37^{\circ}17'$; $133^{\circ}10'$, $-133^{\circ}38'$, и имеет площадь 620 км^2 . Здесь пройдено 9 промерных галсов, привязанных по РНС "Лоран-А", что дало возможность составить батиметрическую карту масштаба 1:100.000. Промеры проводились с целью поисков крутых склонов, пригодных для драгирования.

В пределах полигона склон возвышенности имеет общее северо-восточное простирание (320°) и крутизну $3-7^{\circ}$. Его подошва в юго-восточной части полигона находится на глубине 1250 м. Здесь на глубине 1100-1200 м уклон дна возрастает до 10° и отмечен небольшой уступ на глубине 1050 м. Склон расчленен редкими поперечными долинами. Крутизна склонов долин $5-10^{\circ}$ и лишь на одном участке в северной части полигона она достигает 15° .

Вероятно, весь склон покрыт неогеновыми осадочными отложениями. На полигоне проведено одно драгирование (станция 1252). Драга подтвердила четвертичные осадки. Однако, участок драгирования оказался неудачным. В дальнейшем можно попытаться продолжить исследования склона на юго-восток с целью поисков крутых склонов и уступов для драгирования.

4.3.4. Восточно-Корейская возвышенность изучалась по разряженной сети галсов, привязанных по РНС "Лоран-А". Следует отметить, что в этом районе были неблагоприятные условия происхождения радиотрасс и результаты промеров по части галсов плохо увязывались между собой. Поэтому для северной части площади, где пройдены галсы 21, 22, 126, 128, составить батиметрическую карту не удалось. Её южной части составлена батиметрическая карта масштаба 1:200.000 для площади 2000 км^2 , получившая название полигона 16.

Полигон 16 (приложение № 10) ограничен координатами: $37^{\circ}58'$, $-37^{\circ}48'$; $129^{\circ}52'$, $-130^{\circ}14'$. Здесь пройдено 9 промерных галсов. В северной части полигона 16 был разбит полигон 16-А (приложение № II).

оконтуривают координаты: $38^{\circ}27.5'$ - $38^{\circ}34.5'$; $129^{\circ}02'$ - $129^{\circ}12'$.

Площадь полигона 180 км^2 , здесь пройдено 17 промерных галсов, принадлежащих к бую 66.

По данным, полученным на полигонах I6, I6-A, восточный склон рассматриваемой возвышенности характеризуется следующими чертами рельефа. Привершинная часть возвышенности расположена на глубинах около 800 м и имеет выравненный рельеф. На участке $38^{\circ}00' - 38^{\circ}15'$, вершина возвышенности в верхней части имеет общее простижение $25-30^{\circ}$, подножия около 0° . Таким образом, средняя крутизна склона постепенно увеличивается с юга на север от $2-3^{\circ}$ до $5-7^{\circ}$. Подошва склона лежит на глубине 2150-2200 м.

На участке $38^{\circ}15' - 38^{\circ}24'$ склон имеет четко выраженную бровку, лежащую на глубине 1000 м. Простижение ее 20° , простижение подножия 0° . Поперечный профиль склона вогнутый, крутизна его в верхней части $15-20^{\circ}$, в нижней - $3-5^{\circ}$.

На участке $38^{\circ}24' - 38^{\circ}32'$ склон изменяет простижение от 20° до 0° . Здесь возвышенность разделяется на два отрога. Восточный отрог заканчивается на север под углом $2-5^{\circ}$. Соответственно снижается и склоны склона от 1100 до 1500 м. Верхняя часть склона до глубины 1000 м здесь очень крутая ($30-45^{\circ}$), местами обрывистая, у подножия склона выполаживается до $3-5^{\circ}$.

На участке $38^{\circ}32' - 38^{\circ}45'$, привершинная часть отрога выравнена, простижение ее 25° , ширина по изобате 1500 м 6-7 км. Характер восточного склона на этом участке не изучен.

Отрог заканчивается вулканической возвышенностью, вершина которой имеет координаты $36^{\circ}42.4'$, $130^{\circ}12'$. Подошва вулкана лежит на глубине более 1900 м, вершина имеет отметку около 1150 м, южный склон сравнительно пологий (10°), северный крутой ($25-35^{\circ}$), местами обрывистый. Обрыв зафиксирован и в верхней части восточного склона.

К западу от вулкана расположена широкая (20 км по изобате

500 м) ложбина северо-восточного простираия (10°) с очень пологим (2-3 $^{\circ}$) западным и более крутым (5-10 $^{\circ}$) восточным склоном.

В заключение следует отметить, что глубины, показанные на трех навигационных картах "22", "54", и "59", на самом деле не существуют. Как видно, где показана глубина 22 м, фактическая глубина более 2200 м, на месте отметки "54" — глубина 1000-1100 м и на месте отметки "59" — глубина 900 м. При промерах в этом районе эхолите очень четко отбивались отражающие границы, на глубинах около 100 м. Вероятно, этот горизонт был принят в своё время за глубину до дна. На этот факт было указано в отчете о 24 рейсе "Норд" в 1961 году.

4.3.5. Вулкан Медведева*) расположен в котловине Хонсю к югу подводной возвышенности Ямато и северо-восточнее возвышенности Севальского. На карте № 60300 показаны подводные горы с минимальными глубинами 1535, 1401, и 1295 м.

В пределах вулкана было пройдено 9 промерных галсов (147-153), связанных по РНС "Лоран-А", что позволило составить схематическую и изометрическую карту масштаба 1:50.000 по полигону 26 (приложение 19).

Полигон 26 оконтурен координатами $38^{\circ}32'$, $-38^{\circ}40'$; $135^{\circ}04'$, $-38^{\circ}15'$, площадь его 220 км^2 .

Вулкан Медведева имеет овальную в плане форму и вытянут в северо-восточном направлении. Его подошва лежит на глубине около 3010-3020 м, глубина окружающей его абиссальной равнины 3010-3020 м. Диаметр вулкана (по изобате 3000 м) 17 км, ширина 12 км. В общих чертах вулкан имеет коническую форму. Минимальная зафиксированная глубина у его вершины 1100 м, что на 195 м меньше, чем отмечено

*) Вулкан назван в память геолога Виктора Владимировича Медведева открывшего и изучавшего ряд месторождений углей и других полезных запасаемых в Приморском крае

картах. Кратера на вершине не обнаружено. Он имеет куполовидную форму. Склоны вулкана расчленены радиально расходящимися от вершины ложбинами-баранкосами. Ниже куполовидной вершины склоны вулкана имеют прямой профиль крутизной $30-35^{\circ}$. Ниже изобаты 2500 м склоны несколько выполаживаются до $20-25^{\circ}$.

Характерная форма данной подводной горы (симаунта) не оставляет сомнений в ее вулканическом происхождении, что подтверждено драги-
занием.

Полигон вероятно, расположен на западном склоне крутизной ^п
водной долины. Этот склон расчленен долинами второго и третьего
уровней субмеридионального простирания. Галсы I64, самый и верный
полигоне, пересек две таких долины. При глубинах тальвегов 560
и 730 м днища их очень узкие, склоны в нижних частях прямые, кру-
тизной $25-30^{\circ}$, в верхних - выпуклые. Галс I62 пересек только одну
долину. Здесь на глубине 800 м днище долины широкое (0,5 км), слабо
изогнутое. При глубине тальвега 1800 м долина вновь дном и прямыми
склонами крутизной $25-35^{\circ}$.

4.4. Выводы. Промерные галсы, выполненные в данном рейсе, дали небольшой материал о рельефе и геоморфологии дна на обширной площади от Южно-Китайском, Филиппинском и, особенно, Японском морях. Остальные районы этого рейса в Японском море остаются не изученными часть Восточно-Корейской возвышенности, ряд симаунтов Центральной котловины, а также изучена возвышенность Ямато. Эти районы предстоит изучать в дальнейших рейсах.

Было приведено их геологические характеристики в приведенных отдельных пояснениях.

5.1. Пояснение 5) расположено к западу от южной оконечности острова Кюсю, по его подводному берегу. Двигаясь вправо, мы проходим в глубинах 160-150 и в 40 м. Здесь было зафиксировано три станицы японской провинции, при подходе к берегу японской провинции Тюкучукан. На склоне возвышенности Ямато восточное строение подводного склона предстаёт следующим образом.

Наиболее драматично, продолжительное палестинство, обретающее здесь атоонтический характер на глубине 1220 с глубинами 400 м. От склонового выхода обнаженного образного склона фланг огорожен изолировано, обрамлено и обогнуто морем. Склон возвышенности сильно трансформирован массивным углеродитом. Породы углеродита, склон узко разделяется на отдельные блоки, имеющие вид измельченных обломков, склон узко разделяется на отдельные блоки, имеющие вид измельченных обломков, склон узко разделяется на отдельные блоки, имеющие вид измельченных обломков.

Более молодые процессы включают в себя разрывы, обнаружены поднимавшимися вверх в глубинах 1220 с реконструированной частью склона (160-150 м). Эта часть склона имеет прилегающим к берегу гравийным покрытием. Гравийное покрытие, состоящее из обломков, передко слабо окатанных, большие обломки имеют форму однородных пород. Заступание обнажений покоящихся в глубинах сантиметров до 0,3-0,5 м. Обломки представляют собой изолированные, имеющие вертикальные различия в отдельных. Некоторые обломки

5. РЕЗУЛЬТАТЫ ГЕОЛОГИЧЕСКИХ ИССЛЕДОВАНИЙ

На обследованной акватории геологические исследования проводились путем драгирования островного и материкового склонов и склонов подводных возвышенностей Восточно-Китайского, Филиппинского и Японского морей (приложение I). В результате были подняты осадочные, морфические и магматические породы, дающие представление о геологическом строении отдельных участков данных морфоструктур.

Ниже приведена их краткая геологическая характеристика в пределах отдельных полигонов.

5.1. Полигон 8 (приложение 3) расположен к западу от южной оконечности о. Кюсю, на его подводном склоне. Драгирование проводилось на глубинах 160-150 м и 400 м. Здесь было выполнено три станции драгирования, при одной оторванной драге. По результатам драгирования геологическое строение островного склона представляется следующим образом.

Наиболее древние, предположительно палеогеновые, породы были подняты драгой на ст. I229 с глубины 400 м. От скального выхода с этого обрывистого склона были оторваны зеленовато-серые, слабо известистые, сильно трещиноватые массивные алевролиты. Породы обломированы, что указывает своеобразная трещиноватость, при которой породы раскалываются на отдельные будины, имеющие вид валиков. Стены трещин покрыты ржавыми налетами гидроокислов железа.

Более молодые предположительно четвертичные отложения подняты на ст. I228 с мелковидной части склона (160-150 м). Эта часть склона занята принесенным с берега грубообломочным глыбовощебнистым материалом, состоящим из угловатых, изредка слабо окатанных, обломков сравнительно однородных пород. Величина обломков колеблется от нескольких сантиметров до 0,3-0,5 м. Обломки представлены зеленовато-серыми мелко-среднезернистыми, известковистыми песчаниками и алевролитами, имеющими редко плитчатую отдельность. Некоторые образцы

дают слабо выраженной изменением окраски тонкой горизонтальной
стостью.

Наряду с грубообломочным материалом, драгой была поднята, круп-
ноглазка глыба (до 0,7 м в поперечнике) седиментационной брекчии, пред-
ставляющей собой агрегат описанных угловатых обломков пород, слегка
цементированных органогенным ноздреватым и кавернозным коралловым
стяжением, состоящим, вероятно, из недавно отмерших кораллов, так
как мелких примитивных кораллов различных видов. В цементации
принимают участие и моллюски. Встречаются также куски состоящие из
трех угловатых обломков, соединенных в отдельных местах ноз-
затными органогенными карбонатными перемычками.

5.2. Полигон 9 (приложение 4) разбит в юго-восточной части
Гадзя-Нисисоне расположенной в средней части глубоководного
Окинава, примыкающего с запада к островному склону архипелага
Южная часть банки представляет собой крутой обрывистый склон
субширотном направлении, с поверхности которого на участке
длиной II км и в интервале глубин 300-500 м от поверхности
были подняты образцы пород на пяти станциях драгирования (I231-
I236). Данные драгирования свидетельствуют о том, что данный участок
зен вулканогенной толщей андезитов и их туфов с редкими прослоями
линзами пород более кислого состава, вероятно, дацитов или
андезито-дацитов.

Андезиты и андезитовые порфиры (ст. I232, I235, I236) - плот-
ные породы темно-серого или шоколадного цвета иногда с флиидальной,
massivnoy текстурой, с вкраплениками светло-серого полевого
шпата до 30% (в порфирах), с афонитовой или тонкозернистой основ-
ной массой.

Туфы андезита распространены значительно шире андезитов, как
по количеству станций драгирования, на которых они были встречены
(12 станции), так и по обилию материала, количество которого дости-

и иногда 30-50 кг (ст. I233, I236), в одной драге.

Это темносерые, реже шоколадносерые породы, состоящие из угловатых и округлых обломков андезитов, заключенных в идентичную по ставу массу.

На станции I233 поднята одна крупная (до 0,7 м в поперечнике) труфа или агломератовой лавы порфирита, состоящая из крупных (5 см) округлых обломков шоколадных порфиритов, сцепленных силикатом или лавой порфиритов, причем количество цемента не более 40% объема породы. Трешины в породе выполнены прожилками и гнездами кальцита.

Дациты подняты на одной станции (I233) совместно с туфами андезитов и представляют собой светлосерую с темноватым оттенком лаву афанитового сложения с редкими тонкими прожилками кальцита.

5.3. Полигон 9-А (приложение 5) охватывает банку Гансоне расположенную на западном краю островного склона архипелага Токара и представляющую собой концентрическую в плане конусообразную возвышенность.

В пределах полигона было поднято 4 результативных драги (I238, I239, I240, I242), с глубины от 250 до 500 м, три из которых опробованы западный склон и одна - южный. На всех станциях подняты хорошо обломанные валуны и галька, представленная интрузивными породами тоидного ряда, среди которых выделяются диориты и гранодиориты.

Диориты - серые, средне-кристаллические породы, редко мелкокристаллические с порфировыми выделениями плагиоклаза, с массивной текстурой, состоящие из таблитчатых кристаллов белого полевого шпата (до 70%) и темноцветных минералов, представленных роговой обманкой и кимберлитовыми чешуйками биотита.

Гранодиориты встречаются резко подчиненном количестве и отличаются от диоритов меньшим (до 20%) содержанием темноцветных и большим объемом кварца (20-15% объема породы).

Паряду с вышеописанными породами были подняты две гальки метаморфических пород. Одна из них (ст. I240) представлена слюдистым биотитовым сланцем с отчетливой тонкослащевой текстурой, состоящим до 40% серицита, кварца и полевого шпата. Вторая галька (ст. 32), представлена мигматитом или гнейсо-гранитом. внешне это полосчатая порода, состоящая из чередования темных полос биотитового гнейсита до 30% среднезернистого гранита с гнейсовой текстурой и светлых полос, сложенных лейкократовым гранитом. Мощность светлых жильного материала до 3 см, а субстрата до 1,5 см.

Однообразие состава пород, поднятых с различных частей склона различной глубины свидетельствует о их местном происхождении и позволяет считать, что банка Гонсоне сложена магматическими породами одного комплекса или одного массива с фациальными разновидностями гранодиоритового и диоритового состава. Наличие хорошо окатанных галек и валунов свидетельствует о их обработке в прибрежной зоне и дает основание предполагать, что банка Гонсоне представляла собой остров. Учитывая интенсивный рост кораллов и других организмов на склонах в этих широтах, можно предполагать, что погружение этого острова и превращение его в банку произошли сравнительно недавно.

Представителями образования морского генезиса в пределах банки являются поднятые с глубины 500 м (ст. I240) обломки серого органогенно-обломочного известняка, состоящего из мелких обломков кораллов, створок раковин сцепментированных более мелкозернистым карбонатным материалом.

Банка Гонсоне напоминает о. Яку, который представляет из себя симметричную в плане гранитоидную интрузию.

5.4. Полигон IO (приложение 7) был разбит в юго-восточной части подводного склона о. Танегасима. Здесь было выполнено 6 станций драгирования на глубинах 550-1100 м. Драгирование, как правило,

здесь находились на крутых склонах. Несмотря на это, драги, неизменно включали четвертичные (?) осадки, и только на ст. I243 были подняты предположительно плиоценового возраста.

Четвертичные (?) осадки представлены серым и темносерым карбонатом слабокремнистым илом, содержащим незначительную примесь неоднородной обломочной мелкопесчаной фракции. Карбонатная часть состоит из пелитоморфного кальцита и примитивных мелких фораминифер, остальная - из опаловых створок диатомовых водорослей и многочисленных обломков спикул губок.

Предположительно плиоценовые породы подняты на ст. I243 с глубины 600 м. Здесь были обнаружены оригинальные экзотические образование, поражавшие своими размерами и формой. Это толстостенные слегка скошенные столбообразные органогенные постройки с полым каналом в центральной части. Размеры их - до 40 см в высоту и до 25 см в диаметре. Диаметр сквозного канала от 2 до 5 см. Вероятно, это жилища некоторых донных животных.

Судя по характеру поверхностей этих построек, можно сделать вывод об их неоднократном переотложении в четвертичное время. Поверхности построек по периметру пронизаны сравнительно тонкими неглубоко залегающими ходами современных илоедов. Часть построек, очевидно, находилась на поверхности дна. На это указывают интенсивные процессы окисления, выразившиеся в развитии ржаво-коричневых гидроокислов за на их поверхностях. Некоторые образцы только частично окислены, причем граница окисленной и неокисленной частей проходит по какой-то плоскости, т.е. окисленная часть находилась выше границы. Морское дно, а неокисленная - была погружена в илистые осадки. Некоторые образцы лишены следов окисления, и очевидно, находились в восстановленном слое донных осадков.

Органогенные образования построены из светлосерого известковисто-алевритового мелкозернистого песчаника, содержащего опаловые створки диатом.

двойных водорослей.

Породами, вмещающими описанные органогенные постройки, служат идентичные по составу известковистые мелко зернистые алевритовые глинистые песчаники. Поднятый драгой один крупный угловатый обломок породы имеет поверхность скольжения, возникшую скорее всего в связи с широко развитыми в районе о. Танегасима оползневыми процессами.

5.5.1. Полигон I6 (приложение I0) расположен в центральной части Восточно-Корейской возвышенности на участке крутого склона ограниченного изобатами 1800-1200 м, который на востоке переходит в пологую абиссальную равнину Центральной котловины Японского моря, на западе ограничивается пологими увалами Восточно-Корейской возвышенности.

Изучение геологического строения участка склона (полигон I6-A, приложение II) протяженностью 7:5 км (станции I309-I315) показано, что он сложен двумя комплексами пород, нижний из которых представлен биотитовыми гнейсо-гранитами и гнейсами, а верхний толщею терригенных пород. Нижний комплекс представлен метаморфическими породами, породы которых в северной части полигона опускаются до глубины I600 м, а в южной - поднимаются до I300 м (ст. I316). Это среднезернистые серые биотитовые гнейсо-граниты с отчетливой гнейсовой текстурой, состоящие из биотита (10-20%), кварца (до 25%) и полевого шпата, кристаллы которого иногда образуют порфиробласти размером до 1 см..

Наряду с гнейсо-гранитами в отдельных драгах были подняты среднезернистые биотит-амфиболовые хлоритизированные гнейсы (ст. I310), биотитовые гнейсы (ст. I310, I311, I314) в виде мелких выветренных обломков с отчетливой гнейсовой текстурой состоящие из биотита (до 50%), кварца и полевого шпата. Эти породы, вероятно, представляют собой реликты субстрата, сохранившиеся при

матизации и гранитизации докембрийских толщ.

Аналогичные образования широко развиты в пределах Сино-Корей-
и Ханкайского кристаллического массивов, а также очень сходны
непротерозойскими породами возвышенности Криштафовича (Леликов,
Бенев, 1975), что позволяет предполагать протерозойский возраст
гнейсов и гнейсо-гранитов.

Терригенно-осадочная толща верхнего комплекса погружается на
в пределах изученной части склона и сложена горизонтом базаль-
конгломератов (ст. I3I0, I3II), состоящих из угловато-округлых
(размером 0,5-3 см), в составе которых наблюдаются биотитовые
микрократовые гнейсо-граниты нижнего комплекса сцементированные
мелкозернистыми полимиктовыми песчаниками, возможно с примесью
терригенного материала. Выше по разрезу залегают две разности песчани-

Гравелистые полимиктовые буровато-серые песчаники из зерен
ца (до 40%), полевых шпатов и обломков пород, сцементированных
мелкозернистым песчаником, окрашенным гидроокислами жедеза в светло-
цвет.

Средне - мелкозернистые песчаники обнаружены на ст. I309, I3I0,
В отдельных глыбах (ст. I3I2) наблюдается переслаивание гра-
пестных песчаников с среднезернистыми и мелкозернистыми их разнос-
тками. Мощность слоев колеблется от 0,5 до 12 см, границы между ними
сткие, постепенные. В составе этой толщи отмечаются туфоалевролиты
(I309), образующие, вероятно, линзовидные прослои в песчаниках.

Наличие галек гнейсо-гранитов в конгломератах и кварц-полево-
шпатовый состав обломков в гравелитах свидетельствуют о том, что
зачастично-терригенная толща верхнего комплекса залегает на размытой
верхности гнейсо-гранитов нижнего комплекса. По характеру эта
толща напоминает формацию Усугину Японских островов пермского воз-
раста. В ровной степени она может иметь и мезозойский возраст.

5.5.2. В 15 км к северу от полигона I6-A в пределах полигона на восточном склоне Восточно-Корейской возвышенности расположена вершинная вулканическая постройка округлой формы с диаметром около 1500 м) порядка 6-7 км и превышением над поверхностью возвышенности около 300 м. С восточного склона вулкана на глубины 1250-1350 м подняты две драги (ст. I307, I308) с вулканогенными породами брекчевидной текстуры буровато-желто-зеленого цвета в составе отвечающих туфам среднего состава. Породы пропитаны гидрохлором железа и марганца, что затрудняет определение их состава микроскопического изучения.

5.6. Полигон 24 (приложение I3, I4) охватывает юго-восточную подводную возвышенность Пржевальского. С востока она ограничивается глубоководной котловиной Хонсю, а с запада впадиной Пржеваль-

Изучение геологического строения на полигоне 24 проводилось при драгировании крутого юго-восточного склона в интервале глубин 1200-2100 м и отдельных кекуров на поверхности плато. Имеющиеся материалы позволяют выделить два комплекса разновозрастных образова-

5.6.1. Нижний комплекс представлен вулканогенно-осадочной толщей, предположительно по зднемелового или палеогенового возраста, а верхний предположительно миоценового возраста.

Породы верхнего комплекса развиты в северо-восточной части полигона, где они подняты при драгировании на станциях I249-I254 с интервалом глубин I300-I950 м. Они причленены к нижнему комплексу, находящемуся на поверхности плато и на его склонах гипсометрических отложений предполагаемого миоцена.

Вулканогенно-осадочная толща нижнего комплекса развита в центральной и юго-восточной частях полигона в интервале глубин 500-I000 м, выходы прослежены на протяжении 45 км (станции I255, I257,

1338, I336, I338-I341). В составе толщи преобладают эфузивы кислого состава, фельзиты и фельзит-порфиры с флюидальной текстурой, часто кварцовые (ст. I255, I256, I336 I341). Наряду с этими породами существуют пепловые туфы кислого состава иногда тонкополосчатые, зернистые, реже литокристаллокластические (ст. I336) с обломками зернов размером до 1,5 см и выделениями кварца. Реже в составе встречаются туфобрекции и туфы темно-коричневых дацитов и гранитов с обломками палаганитизированного стекла (ст. I257).

К нижнему комплексу могут быть отнесены граниты, поднятые на ст. I256 совместно с обломками окварцованных кислых зернов. Граниты среднезернистые, розовые, биотитовые (до 10% биотита). Судя по интенсивному ороговикованию пород нижней толщи, предположить более молодой возраст гранитов.

На ст. I258 с глубины 900-960 м подняты тонкослоистые аргиллиты. Слоистость обусловлена чередованием белых и светлосерых слоев (0,5-1,5 см). Эти породы напоминают озерные или лагунные отложения. Stratigraphическое положение их не ясно. Не исключено, что они относятся к верхнему комплексу.

5.6.2. В составе верхнего комплекса по данным драгирования изважительно выделяются диатомовые гравелиты, гравийные и мелкогалечные диатомиты и собственно диатомиты.

Диатомовые гравелиты и гравийные и мелкогалечные диатомиты отличаются между собой только количеством грубообломочного материала, в остальном они сходны. Это желтовато-светлосерые некрепкие ломающиеся руками породы, иногда неяснослоистые. Во многих образцах грубообломочный материал представлен исключительно округлыми кусочками светлосерой липаритовой пемзы, залегающими сравнительно тонкими слоями (до 2-3 см) и в форме быстро выклинивающихся прослощенных линз (1 см). Обломки пемзы заключены в диатомите. В некоторых образцах, слои, содержащие пемзу, перемежаются с тонкими

см) слоями, обогащенными базальтовым песком (четвертичные дон-
отложения юго-восточной части возвышенности Пржевальского также
имеют аналогичный базальтовый песок, вероятно, переотложенный
изсыпаемых миоценовых пород). Не исключено, что в этих слоях
встречается и пирокластический материал.

Среди диатомитов выделяются два типа пород. Диатомиты первого
типа - это лишенные посторонних примесей белые некрепкие высокопро-
зрачные породы, сложенные исключительно опаловыми створками разно-
видных форм диатомей очень хорошей сохранности. Столь чистые неиз-
вестные процессами подводного выветривания диатомиты подняты в
Азовском море впервые. Возможно образцы этих диатомитов совсем не-
были вскрыты подводной эрозией. Они не имеют даже следов жизнедея-
тельности донных животных, широко развитых в диатомитах миоцена
Азовского моря (ходы илоедов).

Диатомиты второго типа - это желтовато-светлосерые и серые
закрепленные ходами илоедов некрепкие породы. Они состоят из панцирей
многих водорослей, многие из которых находятся в реликтовой
ассоциации с растворением слагающего их опала вследствие подвод-
ного выветривания. Кроме створок диатомей породы содержат спикулы
и иногда в значительном количестве (спикуловый диатомит), а
также мелкий песок полимиктового состава, среди которого есть зерна
каолина, плагиоклаза и стекло кислого и основного состава.

В наиболее крупных кусках диатомитов, диатомовых гравелитов и
иных разновидностей диатомитов наблюдаются поверхности сколь-
жения, покрытые субпараллельными штрихами и бороздами. Это следы
временных подводных оползней. Некоторые образцы слоистых диатоми-
тов несут на себе признаки, отвечающие существованию древних ополз-
ней, деформировавших нелитифицированные слои еще в миоцене. Так в
одном из образцов диатомита с тонким прослоем грубого базальтового песка
встречается разрыв и смещение прослоя в одной части образца вслед-

не оползания еще неокрепшего осадка и целостность этого же про-
на противоположной стороне образца.

5.7. Полигон 25 (приложение 15, 16, 18) расположен в юго-вос-
точной части Японского моря и охватывает хребет Оки. Этот хребет
представляет собой плато, поверхность которого состоит из отдельных
широких и очень пологих увалов, глубина моря над которыми колеблется
от 350 до 550 м, разделенных пологими седловинами. Слоны плато
что погружаются на север и юго-восток и в своей нижней части,
сполаживаясь, переходят в горизонтальную поверхность абиссали. На
склонах плато наблюдаются крутые обрывистые уступы высотой до 200 м,
на его поверхности развиты многочисленные останцы (кекуры), кото-
являлись основными объектами драгирования. В геологическом
разрезе хребта Оки принимают участие три разновозрастных комплекса
пород, возраст которых устанавливается условно только по их внешнему
сходству с образованиями окружающей суши или с ранее изученными
городами, развитыми в других районах Японского моря: палеозойский
раннемезозойской (?), позднемеловой (?) и неогеновый.

5.7.1. Предположительно мезозойский комплекс пород установлен
на глубинах 1250-1300 м (ст. 1270) на северном склоне хребта Оки
в северо-западной части. Этот комплекс, по всей вероятности,
зведен на поверхность дна по крупному неоднократно омолаживающемуся
тектоническому разлому северо-восточного простирания, выраженному в
профиле дна. Признаки его зафиксированы тектоническими брекчиями,
забилующими глинками трения с затертными в них валиками полисуль-
фидной руды и множеством зеркал скольжения. В его составе предвари-
тельно можно выделить кремнистые породы и доломиты.

Кремнистые породы интенсивно изменены процессами гальмировализа.
Сравнительно хорошо сохранились только в крупных кусках. Это
серо-серые с раковистым изломом звенящие при расколе породы, весьма
тонкие и плотные. В тектонической брекции они пересечены много-

нными тончайшими трещинками преимущественно закрытого типа
и некоторые трещинки заполнены кварцем. В редких случаях на
поверхностях трещин видны друзья мельчайших кристалликов прозрачного
кварца.

Чем мельче обломки кремнистых пород, тем сильнее они изменены. Поверхностях крупных кусков видны светло-серые почти белые глинистые корочки, мелкие — испытали полное перерождение и как правило, окрашены светло-серым с зеленоватым оттенком вторичным аргиллитом, следовавшим от кремнистых пород раковистые поверхности излома.

Доломиты представлены всего одним округлым, омытым придонными
и, куском. Это светло-серая с буроватым оттенком сравнительно
мелкая равномернозернистая среднекристаллическая порода. С поверх-
образца при легком нажатии пальцев сыпется долонитовый песок,
ящий из ромбоэдрических зональных кристаллов доломита.

5.7.2. Вулканогенно-осадочные породы второго комплекса слагают ю часть склонов и плато хребта Оки в интервале глубин 350- м. Они прослежены драгированием (37 станций) на 110 км при янии между станциями 0.5-10 км. Рассматриваемая толща сложена в основном туфами кислого состава литокристаллокластическими и кри- окастическими, флюидальными, при этом обломки пород в первых представлена кислыми эфузивами, реже перлитами, в выделениях влаждает кварц реже полевой шпат. В слоистых туфах (ст. 1283), стость обусловлена чередованием прослоев (1-3 см) содержащих ласты различного размера.

В подчененном количестве отличаются туфы дакитового состава I299) с флюидальной текстурой и туфы и туфобрекции андезитов I281, I329), а также андезито-базальты, мелкопористые афониты (ст. I291, I326). В виде единичных обломков встречаются фельзиты I336) кварц-полевошпатовые порфиры, а также кремнистые породы I332).

Широкое распространение туфов кислого состава примерно на гипсометрическом уровне позволяет предполагать пологое или близкое к горизонтальному залегание вышеописанной вулканогенно-осадочной толщи, а её литологическое сходство с образованиями Японских островов позволяет предполагать позднемеловой возраст этих образований, хотя мы допускаем наличие в её составе более молодых-неогеновых единиц, выделение которых будет возможно только после получения сведений о их возрасте.

Ко второму комплексу отнесены биотитовые граниты, представленные среднезернистыми (ст. I286, I294) и порфировидными (ст. I292) разностями развитыми в северо-восточной части.

В центральной части хребта Оки на ст. I301 с глубины 350 м подняты гиганто-кристаллические порфиробластические катаклазированные граниты, состоящие из крупных до 5 см кристаллов полевого шпата с небольшим количеством кварца и биотита развитого по трещинам катаклаза.

С поверхности увала расположенного в северо-восточной части хребта Оки, наряду с гранитами, подняты среднезернистые кварц-биотитовые сланцы и узловатые кварцово-слюдистые роговики (ст. I292, I295), вероятно, представляющие собой продукты kontaktового метаморфизма связанныего с внедрением гранитов. Не исключено, что катаклазированные граниты и метаморфические породы относятся к складчатому элементу. Они могли быть вынесены магмой при вулканических извержениях.

5.7.3. Третий комплекс пород предположительно неогенового возраста представлен немногими, но характерными образцами. В этом комплексе можно выделить миоценовые отложения, куда отнесены породы, взятые на ст. I270 (I300-I250 м), I272 (I200-II50 м), I275 (I030 м), I277 (II50-II100 м), I290 (950-850 м). В связи с их полной аналогией с породам миоцена полигона 24 описание их здесь не приводится.

Предположительно к плиоцену отнесены седиментационные брекчии, залегающие на ст. I272 (1200-1150 м) и туфогравеллиты со ст. I332 (350 м) и ст. I333 (370 м). Седиментационная брекчия представлена сравнительно крупным куском очень некрепкой легко ломающейся породы, состоящей из угловатых обломков (до 15 см) серым цементом.

Туфогравеллиты представлены большим количеством округловатых и горчатыми поверхностями тяжелых оруденелых обломков (около 2-х см) зеленовато-темнокоричневого почти черного цвета, пропитанных окислами железа и марганца. Обломочный материал состоит из обломков различных по составу преимущественно вулканогенных пород и различного числа спикул губок. Очень характерно для гравелитов наличие обломков, ядер и остатков раковин крупных пелиципод-пектенов. Гравеллит - мелко и среднезернистый песок, вероятно, содержащий пиротитический материал и скрепленный карбонатом, слабо вскипающим в разбитом взаимодействии с 10% раствором соляной кислоты.

5.8. Полигон 26 (приложение I9) на вулкане Медведева расположенный в котловине Хонсю.

С верхней части вулканической постройки тремя драгами с глубиной 1250-1600 м (ст. I343, I344, I345) подняты многочисленные обломки базальтов, андезитов и базальтовые гиалокластиты.

Базальты и андезиты представляют собой темно-серые плотные, массивные или пористые породы с лейстами плагиоклаза в виде порфиро-выделений (до 20%) или гиалобазальты без порфировых выделений.

Базальтовые гиалокластиты - породы с брекчевой текстурой, залегающие угловатыми обломками (0.1-5 см) гиалобазальтов в краевых зонах замещенные цеолитом и палагонитом. Обломки погружены в светло-серую или зеленовато-серую рыхлую цеолитовую массу.

Наряду с базальтами наблюдаются остроугольные обломки мелкозернистых зеленовато-серых рогово-обманковых диоритов (ст. I343)

средне зернистых биотит-роговой-биманковых и лейкократовых гранитов (ст. I344).

Основную массу материала в драгах составляют железо-марганцевые конкреции, представленные рыхлыми и шлаковидными пористыми и коричневыми корками (1-8 см). Реже наблюдаются плотные тонко-листые (1-2 мм) железо-марганцевые корки или скопления округлых ковидных конкреций размером 1-1,5 см.

5.9. Полигон I (приложение № 9) расположен на материковом щите у берегов юго-западного Приморья в 20 км к югу от м. Гамова. На верхней части крутого склона в интервале глубин 800-1200 м на трех станциях драгирования (I349-I351) подняты породы двух разностных комплексов, которые прослежены вдоль склона на 35 км.

Нижний комплекс сложен биотитовыми гнейсо-гранитами среднезернистыми с отчетливой гнейсовой текстурой, которая подчеркивается перпендикулярным расположением чешуек биотита (до 25%). Кроме гнейсо-гранитов в составе комплекса наблюдаются порфиробластические лейкократовые граниты кварц-полевошпатового состава с выделениями поликлина размером до 1 см.

Верхний комплекс представлен толщей светлосерых плотных массивов, реже слоистых известковистых песчаников и известняков и оолитовых. Совместно с песчаниками подняты обломки туфодиатомитов, аналогичные палеонтологически охарактеризованным туфодиатомитам плиоценового возраста, развитым в 20 км к северу от данного полигона. Песчаники и известняки верхнего комплекса, вероятно, находятся в составе толщи туфодиатомитов и относятся к миоценовым отложениям.

5.10. Предположительно голоценовые отложения

В целях стратификации рыхлых отложений на полигонах 20-А (приложение I2) и 26 (приложение I9) последние были опробованы пяти трубками (ст. I318-I320 и I346-I347). Из пяти трубок,

одна была оборвана при подъеме, а остальные были весьма продуктивными и имели практически максимальное наполнение (длина столбиков керна донных осадков составила 188-230 см). Отбор осадков производился на глубинах 2730 и 3020 м.

До получения результатов палеонтологических определений детальную стратификацию осадков произвести нельзя. Можно сделать только предварительное заключение об из возрасте по аналогии с имевшимися ранее данными о возрасте донных осадков на акватории Японского моря. Предварительно эти осадки отнесены к голоцену. Литологические исследования, проведенные на борту судна на основе визуальных наблюдений над столбиком керна и просмотра закрепленных в канадском бальзаме мазков, позволяют предварительно разделить поднятый кернами осадочный слой на две части: нижнюю - карбонатную, верхнюю - бескарбонатную.

В верхней части выделяется окисленная зона с характерной для нее бурой и коричневато-бурой окраской. Мощность окисленной зоны 3 см (ст. I318) и 18 см (ст. I346). Окисленная зона представлена кремнистыми алевропелитовыми илами, пропитанными гидроокислями железа, придающими осадку бурый и коричнево-бурый цвет. Ниже залегают также слабо кремнистые диатомовые алевропелитовые серого, темно-серого и светло-серого цвета до глубины 45 см - ст. I318-20 и 87 см - ст. I346). Глубже идут серые и темно-серые карбонаты слабо кремнистые алевропелитовые и пелитовые илы, содержащие различные формы кальцита: рассеянную пелитоморфную, асиммилированные фораминиферами кристаллическую и микросфероидную с крестообразным погасанием.

Осадки слоисты. Слоистость правильная горизонтальная, обычно связана с различными содержанием карбоната кальция и сульфидов в осадке. Мощность слоев от 0,7 до 17 см. Темно-серые тона окраски отдельных слоев обязаны обогащению их ромбоидальным пиритом.

Границы между слоями нечеткие. Слоистость иногда разнообразится выявлением тонких слойков (до 1 см) глауконитового песка, обогащенных сравнительно крупными раковинами фораминифер (ст. I346, на глубине 175,5 см). В других случаях это продукты подводного вулканизма — образованные гальмиролизом гиалокластиты (ст. I318, 88-94 см) или и обогащенные цеолитами (ст. I346, 30 см).

5.II. Выводы. Очень большой каменный материал, поднятый со дна в данном рейсе на 104 станциях драгирования и 4 станциях прямоугольными трубками потребует длительного времени для всестороннего географического, литологического, палеонтологического, радиоизотопного и т.д.) изучения.

6. ЗАКЛЮЧЕНИЕ

25 рейс "Первенца" явился новым шагом в познании геологического строения дна Японского моря и, в меньшей мере, северных окраин Восточно-Китайского и Филиппинского морей.

Основными достижениями экспедиции явились составление крупномасштабных батиметрических карт на ряд подводных возвышенностей и склонов общей площадью II.150 км² и отбор образцов горных пород из коренных обнажений и их развалов путем драгирования на 104 станциях.

После лабораторной обработки материалов, полученных в 24 и 25 рейсах, появится возможность составить средне- и мелкомасштабные геологические карты для значительных частей Восточно-Корейской подводной возвышенности и возвышенностей Пржевальского, хребта Оки и Оки.

В Японском море не изученными остаются большая часть западного побережья Восточно-Корейской возвышенности, северная часть возвышенностей Криштафовича, большая часть северо-западного склона хребта Оки, слабо изучена возвышенность Ямато. Кроме того не изученными остаются более мелкие объекты — возвышенность Богорова и ряд симаун-

из на дне Центральной котловины, котловины Хонсю и некоторых глубоководных впадин. Указанные районы предстоит изучить в будущих экспедициях.

Получено подтверждение ранее высказывавшегося предположения о существенном влиянии продуктов разрушения подводных возвышенностей на седиментацию в прилегающих впадинах и котловинах. Например, присутствие цеолитов в осадках котловины Хонсю вблизи вулкана Медведева служит доказательством переотложения продуктов глыбломорилиза пород, слагающих вулкан. Для определения параметров процессов разрушения возвышенностей и накопления осадков необходимо проведение специальных экспедиций.

Большой интерес вызывает факт обнаружения гранитов и диоритов в привершинной части вулкана Медведева. Экзотические породы на географической возвышенности Тарасова в краевой части Центральной котловины близ побережья Приморья были подняты в 21 рейсе "Червонец". Оба вулкана находятся в котловинах, где по геофизическим данным отсутствует "гранитно-метаморфический" слой и под осадочной толщей залегает слой со скоростями сейсмических волн, характерных для "базальтового" слоя.

Можно предположить, что глыбы гранитоидов и других пород, характерных для коры материкового типа, вынесены магмой из больших глубин. Не исключено, что среди базальтоидов, залегающих на дне котловин под осадочной толщей, имеются реликты коры материкового типа. Они могли сохраниться при дроблении и растяжении литосферы в период образования глубоководных впадин и котловин. Однако, для решения этого сложного вопроса необходимы специальные геологические и геофизические исследования.

Весьма любопытен факт отсутствия или ничтожно малого распространения неогеновых отложений на плато хребта Оки и на бровке плато возвышенности Пржевальского на глубинах 350-550 м. В этих

районах широко распространены скалы, возвышающиеся над ровной поверхностью плато. Эти скалы очень напоминают кекуры, а плато, вероятно, имеет обраziонное происхождение.

Возможно два варианта объяснения этих фактов. В первом варианте неогеновые отложения, ранее покрывающие плато, были уничтожены размывом. По второму варианту неогеновые осадки отлагались на склонах возвышенностей, которые в то время были островами. В обоих случаях возвышенности Пржевальского и хребта Оки испытали погружение относительно уровня моря на глубину до 550 м за очень короткое время. Возможен и третий вариант при котором следует допустить размыв неогеновых отложений, залегавших на плато, сильными подводными течениями. Учитывая важное значение, которое имеет неотектоника дна Японского моря, этот вопрос нуждается в дальнейшем изучении.

В заключение следует отметить, что 25, как и 24, рейс "Пермца" выполнялся без геофизических работ. Проведение сейсмопрофилирования и гидромагнитных измерений одновременно с геологическими исследованиями могло бы очень существенно повысить общий объем информации о геологическом строении изучавшихся районов.

Сборник научных материалов экспедиции "Пермца" в Японском море и Тихом океане. Владивосток, 1975, с. 171-179.

Забедкин В.А. Со звуковых материалов кероса в донных осадках Японско-Китайского и Филиппинского морей. В сб: Геология окрестностей побережья Тихого океана. Владивосток, 1975, с. 180-181.

Карп Е.А., Мурзакова З.А., Некрасова И.В., Фидельев В.Л. Данные о структуре земной коры в северо-западной части Японского моря. В сб: Вопросы геологии и геофизики первичных морей северо-западной части Тихого океана. Владивосток, 1975, с. 145-155.

Будников Р.Р., Строкин А.А., Созанкин Ю.Н., Салданова Р.Б., Чеканкин В.И. О строении земной коры в юго-западной части Японского моря. В сб: Геофизические исследования в Японском море. Владивосток, 1975, с. 24-30.

Литература

Берсенев И.И., Берсенев Ю.И., Леликов Е.П., Липкин Ю.С.,
Дин И.К., Терехов Е.П., Филатьев В.П. Новые данные о геологическом
строении дна Японского моря (по материалам 20 рейса нис "Пер-
вый"). В сб: Геология окраинных морей Тихого океана. Владивосток,
1975, с. 3-14.

Берсенев И.И., Марков Ю.Д., Усольцев А.К., Шевалдин Ю.В.
Новые данные о геологическом строении района архипелага Сакисима
(Восточно-Китайское и Филиппинское моря). В сб: Геология окраинных
морей Тихого океана. Владивосток, 1975, с. 153-161.

Берсенев И.И. О происхождении и развитии архипелага Сакисима
и прилегающих к нему морфоструктур. (Восточно-Китайское и Филип-
пинское моря). В сб: Геология окраинных морей Тихого океана.
Владивосток, 1975, с. 162-170.

Васильев Б.И., Карп Б.Я., Строев П.А., Шевалдин Ю.В., Строев
о подводной возвышенности Ямато по геофизическим данным. Изд.
Московского университета, 1975, с. 96.

Забелин В.В., Васильев Б.И. Гранулометрический состав донных
осадков Восточно-Китайского и Филиппинского морей. В сб: Геология
окраинных морей Тихого океана. Владивосток, 1975, с. 171-179.

Забелин В.В. Об аутигенных минералах железа в донных осадках
Восточно-Китайского и Филиппинского морей. В сб: Геология окраин-
ных морей Тихого океана. Владивосток, 1975, с. 180-181.

Карп Б.Я., Моуравова Е.А., Шевалдин Ю.В., Филатьев В.П.
Новые данные о строении земной коры в юго-западной части Японского
моря. В сб: Вопросы геологии и геофизики окраинных морей северо-
западной части Тихого океана. Владивосток, 1974, с. 145-155.

Кулинич Р.Г., Строев П.А., Шевалдин Ю.В., Шаяхметов Р.Б.
Шанлин В.М. О строении земной коры в западной части Японского
моря. В сб: Геофизические исследования в Японском море. Владивосток,
1972, с. 24-30.

Леликов Е.П., Берсенев И.И., Берсенев Ю.И., Липкин Ю.С.,
и И.К., Терехов Е.П., Филатьев В.П. О находке раннепротерозой-
метаморфических пород в юго-западной части Японского моря.
в: Геология окраинных морей Тихого океана. Владивосток, 1975,
Б-19.

Emery K. O., Yoshikaru Hayashi, Thomas W.C.Hilde, Kobayashi
■, Jak Hak Koo, Weng C.Y., Niino Hiroshi, Osterhaugen J.H., Rey-
■s L.M., Wageman John H., Wang C.S., Sung Jin Yang. Geological
■ture and Some water characteristics of the East-China Sea and
■ Yellow Sea. Technical Bulletin, ECAFE, 1969, vol.2, p.p. 3-43.

Hilde Thomas W.C. and John M. Wageman. Structure and Origin
the Japan Sea. University of Western Australia press., 1973.

Mirauchi S. Seismic prospecting of the Japan Sea floor. Circum-
= Nihonkai (Japan Sea), 1972, No.7, March, pp.3-13.

Tomoda Y., Nasu N. Preliminary Report of the Hakuho-Mary Cruise
1969-2 Ocean Res. Inst., University of Tokyo, 1971.

Uyeda S. Heat Flow. The Crust and Upper Mantle of the Japanese
Islands. Part 1, Geophysics, 1972.

Utsu T. Anomalous structure of the Upper Mantle beneath the Japanese Islands. Geophys. Bull. Hokkaido Univer., 25, 1971.

Фондовая

Отчет о геолого-геофизических исследованиях в 14 рейсе нис.
"Сврненец" (Восточно-Китайское и Филиппинское моря). Васильев Б.И.
и др. Фонды ТОИ ДВНЦ АН СССР, Владивосток, 1972.

Отчет о геолого-геофизических исследованиях в 20 рейсе нис "Брвенец" (Японское море). Берсенев И.И. и др. Фонды ТОИ ДВНЦ СССР., Владивосток, 1974.

Отчет о геологических исследованиях в 24 рейсе нис. "Первенец" (Берсенев И.И. и др., Владивосток, 1975).

"УТВЕРЖДАЮ"

Вице-президент Академии наук СССР
академик

А.В.СИДОРЕНКО

НАУЧНАЯ ПРОГРАММА

8 (25) рейса нис "Первенец" в Японское и
Восточно-Китайское моря.

Основной задачей экспедиции является продолжение изучения геологического строения дна Японского моря и северной части Восточно-Китайского моря. В данном рейсе предусматриваются лишь геоморфологические и геологические работы, так как геофизический отряд участвует в нем не имеет возможности.

Геолого-геофизическая изученность акватории. Для всей акватории Японского моря, за исключением прибрежной полосы, имеются карты: аномального магнитного поля масштаба 1:1000000, аномального поля тяжести масштаба 1:2000000, схематические карты мощности осадочных толщи и кровли консолидированного фундамента; часть основных морских структур района изучена профилями глубинного сейсмического профилирования (ГСЗ), методом отраженных волн (МОВ); кроме того, выполнены профили непрерывного сейсмического профилирования (НСП). Основная часть геофизических исследований произведена Институтом геологии АН СССР и его Тихоокеанским отделением; профили НСП выполнены преимущественно японскими и американскими экспедициями.

В Восточно-Китайском море работы выполнялись американскими и японскими экспедициями, а также Тихоокеанским отделением института геологии в 14 рейсе нис "Первенец". В указанном рейсе было проведено несколько магнитометрических галсов. В геологическом отношении море изучен слабо.

Среднемасштабные исследования

полнены в 20 рейсе нис "Первенец" в районе о.Уллындо. В 7 (24) рейсе запланировано проведение аналогичных работ на Восточно-Корейской возвышенности (полигоны I4, I5, I6) и северо-восточнее о.Токто (кто) на полигоне I9. По остальной акватории имеются единичные зоны драгирования, несколько сгущенные в районе возвышенности то. Осадочный покров изучен более подробно, для Японского моря имеется комплект карт мелкого масштаба. Имеются данные о грунте в северной части Восточно-Китайского моря.

Батиметрической основой район обеспечен неравномерно. По Восточно-Китайскому морю имеются среднемасштабные карты хорошего качества. Для внутренней части Японского моря, в институте есть карты мелкого масштаба.

Методика исследования. Исходя из имеющегося на судне оборудования, основными видами работ будут драгирование склонов подводных возвышенностей и отбор проб донных осадков прямооточными трубами и черпаками. Исследования планируется провести в Японском море на 4 полигонах и Восточно-Китайском море на 2 полигонах.

Полигоны 24 и 25 расположены на северо-восточном и северном склонах подводной возвышенности, находящейся к северо-востоку от Уллындо. Ранее в 20 рейсе в этом районе проводилось драгирование на полигоне I8. В результате были подняты породы раннепротерозойского возраста и предположительно докембрийские гранитоиды. На возвышенности, что западнее о.Уллындо, были обнаружены предположительно мезозойские вулканогенно-осадочные отложения. Породы консолидированного фундамента в большинстве случаев перекрыты неогеновыми залежами. Местами обнаружены подводные вулканы. Таким образом, геологическое строение района достаточно сложное. В районах планируемых полигонов ранее геологические исследования не выполнялись.

Полигоны 27 и 28 расположены на склонах котловины Хонсю.

Здесь ранее геологические работы не проводились.

Ориентировочные координаты центров полигонов (с.ш., в.д.):
 $25^{\circ}38'15''$; $132^{\circ}40'$; $25^{\circ}38'45''$; $131^{\circ}20'$; $27^{\circ}37'20''$; $135^{\circ}05'$; $28^{\circ}37'50''$;
 $24^{\circ}10''$.

В Восточно-Китайском море планируется выполнить исследования в 8 и 9 полигонах. Здесь были предусмотрены работы программой (23) рейса, но они не были сделаны из-за штормовой погоды.

Методика работ на полигонах принимается аналогичной разработанной в предыдущих рейсах нис "Первенец". Выбору места полигона предшествовать рекогносцировочные эхолотные промеры. При заражении крутых склонов на минимальной глубине, расположенной далее 1-2 миль от склона, устанавливается зажоренный буй. Затем проводится серия галсов эхолотных промеров и ставится второй на расстоянии не более 4 миль от первого с таким расчетом, чтобы обеспечить максимально возможную точность привязки места за буя с помощью судовой РЛС "Дон"; выполняется дополнительный промерный галс на участках наиболее крутых склонов и составляется батиметрическая карта полигона в масштабе 1:25.000. Драгирование ведется от меньших глубин расположения станций к большим. Основная цель драгирования - отбор проб горных пород из различных обнажений. При этом главное внимание будет уделено изучению строения докайнозойского фундамента.

Координаты буев определяются с помощью РНС :Лоран-С" и астрономическим способом по утренним и вечерним звездам.

Экспедиция состоит из двух отрядов - геологического и геоморфологического. Первый отряд обеспечивает установку и снятие буев, драгирование и работу с дночерпателем, а также первичную документацию и упаковку образцов. Геоморфологический отряд обеспечивает промеры на эхолоте, составляет батиметрические карты и в необходимых случаях оказывает помощь геологическому отряду. Общий состав 25 человек.

Этапы работ

этап I.	Переход из Владивостока на полигон 24	-	2 суток
2.	Работа на полигоне	-	5 суток
3.	Переход на полигон 25	-	0,5 суток
4.	Работа на полигоне	-	6 суток
5.	Переход от полигона 25 в Хыннам	-	1,5 -"
6.	Стоянка в порту Хыннам для получения воды и продовольствия	-	3 -"
	Резерв на штормовую погоду	-	4 -"

Всего: 22 суток

этап I.	Переход из Хыннама на полигон 8	-	2,5 суток
2.	Работа на полигоне	-	4,5 суток
3.	Переход на полигон 9	-	0,5 "
4.	Работа на полигоне	-	5 "
5.	Переход в Хыннам	-	2,5 "
6.	Стоянка в порту Хыннам для пополнения запасов топлива, воды и продовольствия	-	3 "
	Резерв на штормовую погоду	-	4 "

Всего 22 суток

этап I.	Переход из Хыннама на полигон 28	-	2 суток
2.	Работа на полигоне	-	6 "
3.	Переход на полигон 27	-	0,5 "
4.	Работа на полигоне	-	6 "
5.	Переход от полигона 27 во Владивосток	-	2,5 "
	Резерв на штормовую погоду	-	4 "

Всего 21 сутки

Итого: 65 суток

Обеспечение безопасности.

Для своевременного обнаружения приближающейся штормовой погоды будет производиться прием карт погоды на прибор "Фак-П" и радиоводки. При работах на полигонах 24 и 25 укрытием может служить Тилындо, на остальных полигонах - Японские острова.

Ожидаемые результаты.

Всестороннее изучение образцов горных пород, поднятых со склонов подводных возвышенностей, в совокупности с имеющимися геофизическими и геоморфологическими данными, дополненными новыми материалами рейса, позволяет продолжить составление геологической карты Японского моря и других карт геологического профиля: геоморфологической, тектонической и т.д.

Отчетная документация.

После окончания рейса представляется краткая до (10 стр.) информационная записка с изложением объемов выполненных работ и основными геологическими результатами. Вся первичная документация коллекция образцов передаются в лабораторию геологии шельфа для обработки.

Директор Тихоокеанского океанологического института и председатель Океанографической комиссии ДВНЦ

С.М.Н.

В.И.Ильинев

Председатель Президиума ДВНЦ АН СССР,
член-корреспондент АН СССР

А.П.Капица

Голосовано:

Заместитель Гидрографической службы КТОФ

5. июня 1975 г.

Зарно: Ученый секретарь Океанографической комиссии ДВНЦ к.г.н.

Г.Прошьянц

5. 10. 75 г.

ДОПОЛНЕНИЕ

1. Попутные промерные работы по маршруту следования судна и в полигонах № 8, 9, 24, 25, 27, 28 выполнить в порядке, предусмотренном "Инструкцией по маршрутному промеру" (ИМП-74) изд. 1974 года.
2. После окончания рейса весь промерный материал в течение месяца представить в УГС ТОФ.
3. Восемь раз в сутки (00, 03, 06, 09, 12, 15, 18 и 21 час Гринвича) доносить состояние погоды:
 - атмосферное давление
 - направление и скорость ветра
 - температура и влажность воздуха
 - видимость
 - количество, форма, высота облаков
 - характер и интенсивность атмосферных явлений (осадков, тумана, шквалов, гроз)
 - волнение моря

Данные об указанных метеоэлементах доносить в адрес Владивосток, Гроза 213421.

НАЧАЛЬНИК З ОТДЕЛА УГС ТОФ

Ю. ТРОФИМОВ

Фамилия: Ученый секретарь Океанографической

комиссии ДВНЦ

Г. ПРОШЯНЦ

ОТЧЕТ ПО РЕЙСУ

Капитана м/с "Первенец" Микульчик Е.К.

рейс выполнялся с 25 апреля по 29 июня 1976 года

Задачи рейса: Основной задачей рейса является продолжение изучения геологического строения дна Японского, Филиппинского и северной части Восточно-Китайского моря. Основными видами работ будет драгирование склонов подводных возвышенностей. Выбору мест полигонов предшествовать рекогносцировочные эхолотные промеры. По обнаружению крутых склонов устанавливается за jakiренный буй, проводится залыв галсов эхолотных промеров, составляется батиметрическая карта масштабе 1:25000, затем проводится драгирование. Всестороннее изучение поднятых образцов горных пород, в совокупности с уже имеющимися позволит продолжить составление геологических, геоморфологических, тектонических и других карт изучаемых морей.

Задачи экипажа: Задачей экипажа является обеспечение безаварийного плавания судна, бесперебойной работы всех механизмов и устройств, технической работы электрорадионавигационных и штурманских приборов, обеспечение максимально возможной точности в определениях места судна с использованием всех имеющихся в распоряжении средств. Точное управление судна на заданном курсе, своевременное и верное выполнение требуемых руководителем работ маневров на полигонах. Содержать судно в хорошем техническом состоянии и опрятном виде. Поддерживать дело, товарищеский контакт с научным составом, прилагая все свое внимание и старание для успешного выполнения научной программы. Обеспечить поддержание на судне должного порядка и высокого уровня боевой дисциплины.

Подготовка судна к рейсу: 1 апреля судно закончило профилактический ремонт главных и вспомогательных двигателей своими силами. После ремонта была произведена замена ДГ № 3, текущий ремонт ДГ № 1, устранение неисправностей и техуход главного двигателя, после чего приступило к снабженческим операциям (топливо и вода как

ло берутся накануне отхода в рейс) и наладке основного прибора боководного эхолота. Как и во всех предыдущих рейсах большие задержания вызывало комплектование судна визированными кадрами в с тем, что не имеется достаточного резерва для замены внезапно вышедшими по различным причинам членам экипажа. Очень большие трудности возникли с глубоководных эхолотом из-за отсутствия технической документации, что не позволило привлечь к его ремонту заводских специалистов. Снабжение судна по заявкам было неудовлетворительным, особенно плохо обстояло дело с продуктами: не было свежих овощей, яиц и даже отдельных видов крупы. Предложенный торгмортрансом ассортимент явно не удовлетворял запросов заказчика. 22 апреля опробовали топливо, 24/4 получили топливо и начали оформление отхода судна в рейс, однако из-за внезапного ухода буфетчицы и обнаруженных ненормальностей в санитарном паспорте повара отход был задержан до 25 апреля. 25 апреля в 23.06 местного времени судно снялось в рейс, имея на борту 18 членов экипажа, 10 научных сотрудников во главе с тов. Кузнецовым, 52 тонны топлива, 32 тонны воды.

Работы экипажа по выполнению задач рейса: В целом работа экипажа проводится хорошо. Задача, поставленная перед ним, выполнена и со стороны руководства экспедиции каких-либо претензий не имеется. Членский состав относился к своим обязанностям добросовестно, используя всеми возможными средствами определение места судна, буев, для драгирования. Успешно использовалась РНС "Лоран". Всем штурманским составом освоены приемы правильного маневрирования на полигоне. Обеспечение радиосвязью и работы электрорадионавигационных приборов осуществлялось на высоком уровне. Работа палубной команды проводится также хорошо: судно поддерживалось в хорошем техническом состоянии, опрятном виде, вахта обеспечивалась нормально, несмотря на то, что 2 матроса из 5 пришли на судно с квалификацией мотористов. Командный состав машинной команды с поставленными задачами справлялся.

Период стоянки в порту Хыннам машинной командой был произведен профилактический ремонт дизельгенератора и сварен лопнувший кронштейн тросоукладчика траховой лебедки, что способствовало продолжению дальнейших работ без задержек. Как палубная, так и машинная команды всегда оказывали научному составу необходимую помощь по их просьбам.

Условия и район плавания: Переход из Владивостока к полигону №8 Восточно-Китайское море проходил в условиях волнения моря от 4 до 6 баллов, однако попутное волнение не вызвало существенных задержек. Приходом на полигон 30 апреля начали промерные работы, но вскоре волнение моря увеличилось, поэтому пришлось штормовать и укрыться за защиту острова Косики. До 5 мая велись работы на полигоне 8 с перерывами для ожидания улучшения погоды. На этом полигоне проведен сравнительный объем промерных работ по материковому склону. 5 мая перешли на полигон 9 и полигон 9-А (банки Гадзя Нисисене), где был установлен буй. На полигоне 9 и 9-А провели драгирование, сняли буй и перешли в Филиппинское море на полигон 10 (островной склон юга острова Танегасима). В этот период погодные условия были сравнительно спокойные, волнение не превышало трех баллов. На полигоне 10 осуществили промерные работы и многочисленные драгирования, затем перешли на полигон 10-А (банка южнее острова Яку) и полигон 9-Б (банка Хити). Здесь вели промерные работы, но драгирование сделать не удалось из-за ухудшившейся погоды. 12 мая прекратили работы и последовали на юг. В целом период работы в Восточно-Китайском и Филиппинском морях характеризуется погодой циклонического характера, не благоприятствующей для работ. На пути в Хыннам вели эхолотный промер севернее 38-ой параллели вдоль 130-го меридиана для будущего полигона 16. 16 мая прибыли в Хыннам, пополнили запасы воды и продовольствия и 19 мая вышли из порта и легли в дрейф на лоцманской станции в ожидании советского танкера для приема от него топлива. В виду непредвиденной задержки 20 мая остановились на полигон 24 (Японское море, возвышенность Пржевальского).

переходе к полигону преобладало волнение 4 балла от с.з. С приходом на полигон 24.21 мая погода улучшилась и с ходу приступили исследовательским работам. 25 мая прервали работы и вышли на встречу с "Каллисто" для приема запчастей. В 21.44 25 мая встретились с "Каллисто" в ш. 37.39,8, долг. 132.42,3. Приняли запчасти и 22.00 снялись на полигон 25 возвышенность хребет Оки. 26 мая прибыли на полигон и начали работы по драгированию. На полигоне 25 работали до 20.20 6 июня. За указанный период работы выставлялись буи № 63 и 64. Погода была благоприятной: ветры слабые, волнение 2 балла, преобладающий снос судна к западу 0,7 мили. В общей сложности из-за непогоды за весь период работы было потеряно всего 1 час времени. 9 июня прибыли в Хыннам, где простояли 4 суток и 10 часов вместо трех плановых суток из-за шторма в море. Ввиду невозможности по техническим причинам принять топливо с советского судна "Сибирь" последнее было закуплено в количестве 6 тонн по цене 62 руб. за тонну из расчета к приходу во Владивосток иметь на борту не менее штормовой запас. 13 июня последовали на полигон 16 (Восточно-Китайская возвышенность). Из-за солидного волнения от с.в. были вынуждены располагать курсы так, чтобы не оказаться лагом к волне. 15 июня 14.25 прибыли на полигон и начали драгирование, выставив буй № 66. Судна к северу 0,3 мили. 18 июня сняли буй и последовали на полигон 20-А, куда прибыли 19 июня, провели драгирование и взятие прямоточными трубками. В 18.30 снялись на полигон 25 (возвышенность хребет Оки). 20 июня прибыли на полигон, выставили буй и начали исследовательские работы. 22 июня сняли буй и последовали в район горы ш. 37.31 д. 133.39,5. 23 июня прибыли на место, сделали промерных галсов, провели драгирование и 25 июня перешли на полигон 26. Промерами установлено, что на полигоне 26 имеются глубины 1160 метров, чем показано на карте (1160 метров, что отражено на батиметрической карте). 25 июня прибыли на полигон I и начали работы. В течение всего периода держалась хорошая погода, однако, временами

работе мешала низкая облачность и плотный дождь, которые забивали
ши на экране РЛС. На полигоне I провели промеры и драгирование
легли в дрейф для проведения работ по разноске собранного мате-
риала, очистке палуб и помещений, покраске фельшортов и корпуса
районе рабочих мест, приведению судна в порядок для предъявления
старным властям в п. Владивосток. В связи с усилившимся волнени-
ем перешли в бухту Бойсмана, где продолжили работы по приведению
судна и оборудования в порядок. 29 июня в 11.00 прибыли во Влади-
восток и стали на якорь для оформления властями.

Состояние организации службы и дисциплины: Организация службы
на судне соответствовало уставным положениям и существующим распоря-
жениям по Академии наук СССР и ДВНЦ и соответствующим инструкциям.
Всегда весь экипаж и научный состав относились к выполнению постав-
ленных задач добросовестно и сумели добиться значительных успехов
в выполнении научной программы, несмотря на сокращенный состав
экспедиции, который не давал возможности вести работы по драгирова-
нию круглосуточно, как это делалось ранее с полным составом.

Со стороны экипажа не было случаев срыва намеченных работ по его
недобросовестности. Это говорит за то, что состояние трудовой
дисциплины на судне поддерживалось на должном уровне и подавляющее
 большинство членов команды и экспедиции четко и умело выполняли
 свои обязанности. Всякие отклонения от норм в поведении, допускавшие-
 ся со стороны личного состава пресекалось либо общественными мерами
 воздействия, либо соответствующими беседами, либо административным
 наказом. Так, например допустивших распитие спиртного на судне
 2-го механика Тихонова, электромеханика Мельникова и 4-го механика
 Кузнецова резко осудили на производственном совещании, предварительно
 опросив с каждого из них отдельно. Положительные результаты этого
 воздействия показали, что товарищи правильно поняли предупреждение
 начальника выговор: подобных нарушений не допускалось до конца рейса.

подались мелкие нарушения уставных положений и общего распорядка
жизни, которые также не остались незамеченными и повлекли за
свой соответствующие меры воздействия.

Политико-массовая работа и общественные мероприятия:

составе экипажа и научного состава было 2 члена КПСС (капитан
дьячок и начальник рейса Берсенев), один кандидат в члены КПСС -
капитана Моргун, комсомольцев 7 человек.

С выходом в рейс были проведены собрания партийно-комсомольской
группы, комсомольское собрание и общесудовое собрание, на которых
поставлена задача рейса и определены мероприятия по ее выпол-
нению, намечен план работы партийно-комсомольской группы, избраны
ответственные органы: секретарь комсомольской организации, секретарь
партийно-комсомольской группы, председатель судового комитета, хозя-
инства и редакция. В течении рейса были проведены следующие
мероприятия: выпущены две стенных газеты "На морской волне", шахмат-
турнир на первенство по 25-му рейсу, вечера отдыха на стоянке
в Хыннам^и в море, просмотр кинофильмов, коллективное прослушивание
последних известий, спортивные встречи по футболу с командами
финских и польского судов, выезд на экскурсию по городу Хямхын,
игры в волейбол, поездки на пляж.

Проведен митинг посвященный воззванию Всемирного Совета Мира и
подписей под ним. Проведено итоговое занятие в сети партийного
вещания по теме: "КПСС и мировой революционный процесс".

Проведено общесудовое собрание "Об итогах рейса" (докладчик
Берсенев). Проведено два комсомольских собрания с повесткой дня:
итоги рейса, итоги работы за первую половину рейса, план работы
партийно-комсомольской организации и избрание бюро".

Регулярно проводились технические занятия с личным составом,
технические совещания, командирская учеба.

Изучались правила поведения моряков за границей, правила увольне-

, таможенные правила.

Проведен ряд общесудовых учений по ВМП.

В общественной жизни судна активно принимали участие большинство членов личного состава.

Заключение и предложения: В целом рейс прошел успешно. Программа полета выполнена и значительная часть работ произведена сверх программы. В течение рейса был выполнен большой объем промерных работ общей площадью более 10000 кв. км., 125 научных станций, поднято более 100 драг с материалом, из них 85% результативные. Собран обильный научный материал более чем с 19 полигонов. Этот материал, по мнению руководителя экспедиции, представляет большой научный интерес. За рейс пройдено 7138 миль. Средняя скорость судна 8 узлов при благоприятных условиях.

Большое значение в оценке погодных условий и соответствующего планирования своей работы имело наличие факсимильных карт, которые выдавались регулярно и давали возможность с высокой точностью составлять прогноз на ближайшие дни. Условия плавания на протяжении большей части рейса были благоприятными, что позволило сравнительно короткие сроки выполнить значительный объем работ. Отрицательно повлияли на работу следующие обстоятельства: облачность, не позволявшая использовать астрономическими определениями по звездам, наличие сильных помех в ночное время у РНС "Лоран", что вынуждало нередко ложиться на якорь до утра, что в свою очередь вызвало непредвиденную экономию топлива (около 3;5 тонн).

В прошедшем рейсе благодаря благоприятным погодным условиям и сравнительно небольших пробегов в порт Хыннам для пополнения запасов, коэффициент полезного действия оказался значительно выше, чем в предыдущих рейсах нис "Первенец".

Предлагается: Планировать работу нис "Первенец" в открытых морях начиная с 1 мая, так как в апреле в Японском и Восточно-Китайском

юрях погода неблагоприятна для проведения драгировочных работ. Весенние и осенние месяцы планировать для работы в южных морях, для чего добиться разрешения на заходы в п.Манила или Гонконг. Иметь в ОНИФ ДВНЦ резерв визированных кадров.

Принять меры к улучшению снабжения судна и обеспечения его необходимым ассортиментом продуктов питания.

Беспечить судно нормально работающими холодильными шкафами.

Воевременно планировать и организовывать постановку судна в ремонт.

Отчету прилагается калька с нанесенными на ней полигонами.

Капитан НИС "Первенец"

Е.Микульчик

Краткая характеристика
пород

№ станиции полигона		Присоор		Геодезия координаты: числитель-шифрота знаменатель-долгота		Бровка острогного шельфа		Оборвана		Глыбы и щебень зелено-вато- серых трещиноватых слабо известковистых алевролитов	
1	1227	2	3	4	5	6	$31^0 17,4$ $129^0 31,5$				
2	1228	-"	-"	драга	200	-"	$31^0 17,4$ $129^0 31,1$	-"	-"	Полная сетка глыб известко- вистых мелко-среднеэзернистых песчаников и алевролитов. Одна глыба брекции с извест- ковистым цементом.	
3	1229	-"	-"	-"	400	-"	$31^0 17,7$ $129^0 30,9$	-"	-"	Глыбы и щебень зелено-вато- серых трещиноватых слабо известковистых алевролитов	
4	1230	9	-"	-"	250	-"	$29^0 51,1$ $128^0 53,6$	-"	-"	Ракушки и губки	
5	1231	-"	-"	-"	400	-"	$29^0 51,1$ $128^0 53,8$	-"	-"	Два обломка туфов андезито- вого порфирита	
6	1232	-"	-"	-"	300	-"	$29^0 50,8$ $128^0 52,0$	-"	-"	Несколько обломков андези- товых порфиритов, их туфов и лавобрекций.	
7	1233	-"	-"	-"	460	-"	$29^0 50,7$ $128^0 52,2$	-"	-"	Глыба агломератовой лавы андезитового состава, обломки дацитов (?)	

1	2	3	4	5	6	7	8	
8	1234	9	Драга	500	29^0 50,7 128° 50,3	Крутой склон банки	Пустая	
9	1234	-"	-"	300	29^0 50,9 128° 50,6	-"	Четыре мелких обломка андезитов.	
10	1235	-"	-"	500	29^0 53,0 128° 56,7	Крутой юго-восточный склон банки Гонсоне	Угловатые обломки агломератовых туфов андезитового состава.	
II	1237	-"	-"	200	29^0 52,7 128° 55,9	-"	Пустая	
12	1238	9-А	-"	350	29^0 47,4 129° 23,0	Крутой западный склон банки Гонсоне	Галька среднекристаллического диорита	
13	1239	-"	-"	250	29^0 46,4 129° 23,1	-"	Тоже	
14	1240	-"	-"	500	29^0 46,5 129° 22,6	-"	Галька диоритов и арганогенно-обломочных известняков; грубый органогенно-обломочный песок.	
15	1241	-"	-"	200	29^0 44,7 129° 26,5	Пустая	Южный склон банки Гонсоне	

16	I242	9-А	Драга	250	<u>29° 43,8</u>	Южный склон банки Гонсоне	Две хорошо окатанных гальки: гнейсо-гранит и габро-диорит
17	I243	10	-"	600	<u>30° 16,7</u>	Борт каньона на островном склоне	Илья карбонатные и столовообраз- ные стяжения карбонатного вещества.
18	I244	10	-"	1050-	<u>30° 18,4</u>		Кремнисто-карбонатный ил
				1000	<u>131° 07,5</u>		
19	I245		-"	1430-	<u>30° 19,1</u>		Пустая
				1350	<u>131° 09,8</u>		
20	I246		-"	1100	<u>30° 17,9</u>		Кремнисто-карбонатный ил и три кусочка волокнистой пемзы
				1100	<u>131° 07,4</u>		
21	I247		-"	1050	<u>30° 20,6</u>		Пустая
				1050	<u>131° 07,3</u>		
22	I248		-"	550	<u>30° 17,1</u>		Карбонатный ил
				550	<u>131° 03,0</u>		
23	I249	24-А	-"	1850-	<u>37° 57,1</u>		Крупные обломки диатомитов; кусочки серо-зеленого ила
				1800	<u>134° 21,3</u>		
24	I250		-"	1900-	<u>37° 55,4</u>		Диатомиты желтовато-серые; диатомиты с примесью гравийно- галечного материала, светло- серые опоки (); гравелиты.
				1850	<u>134° 19,0</u>		

1	2	3	4	5	6	7	8	9
25	1251	24-A	Драга	1950- 1900	$\frac{37^0 59,1}{134^0 23,6}$	Обрыв в юго- восточной части воззвышенности Пржевальского	Светло-желтые, почти белые диатомиты	
26	1252	-"	-"	1450- 1400	$\frac{37^0 56,2}{134^0 18,6}$	Крутой склон в южной части в воззвышенности	Голубовато-серый туфогенний песок, небольшие обломочки зелено-вато-серого туффита и буровато-серого туфодиатомита;	
27	1253	-"	-"	1350- 1300	$\frac{37^0 55,6}{134^0 15,7}$	-" -	Серые глинистые диатомиты, светло-желтые глинистые диа- томиты с ходами иlöедов, с галькой пемзы.	
28	1254	-"	-"	1450- 1400	$\frac{37^0 56,0}{134^0 18,6}$	-" -	Один обломок грубослоистого глинистого туфодиатомита	
29	1255	24	-"	650	$\frac{37^0 53,2}{133^0 58,5}$	Уступ на склоне воззвышенности	Угловатые и полуокатанные обломки серых и темно-серых стекловатых андезито-базальтов и флюидальных фельзитов и фельзит-порфиров. Фельзиты часто покрыты железо-марганце- выми кофками.	
30	1256	-"	-"	650	$\frac{37^0 52,5}{133^0 59,5}$	-" -	Угловатые обломки сильно оквар- цованных кислых эфузивов, это- рических кварцитов, розовых гра- нитов; кварцево-спилитных сланцев. Галька андезито-базаль- тов.	

	2	3	4	5	6	7	8
31	1257	24	Драга	600	$\frac{37^0 54,4}{133^0 59,1}$	Уступ на южном склоне возвышенности	Сильно трещиноватые обломки туфобрекчий и туф в дацитового состава; угловатые и полуокатанные обломки туфов андезитобазальтов.
32.	1258	-"	-"	960-900	$\frac{37^0 36,8}{133^0 46,2}$	-"	Светлые зелено-вато-серые слоистые аргиллиты, прилипшие грубо зернистые зелено-вато-серые слабо сцементированные туфопесчаники; один обломок светло-серого литокристалло-кластического туфа. Валуны и полуокатанные обломки серых кварцевых порфиров.
33	1259	20-В	-"	1200-1160	$\frac{36^0 56,3}{133^0 37,2}$	Северо-восточный склон хребта Оки	Оборвана сетка
34	1260	25-А	-"	470-450	$\frac{36^0 48,7}{134^0 23,3}$	Уступ на плато хребта Оки	Пустая
35	1261	-"	-"	470-440	$\frac{36^0 48,6}{134^0 23,2}$	ОКИХ	Обломки эфлюзивных пород и их туфов андезитового состава; два обломка черного базальтового стекла.
36	1262	-"	-"	330	$\frac{36^0 45,9}{134^0 28,9}$	-"	Пустая, порвана сетка

37	1263	25-4	Драга	330-300	$\frac{36^0 45,9}{134^0 29,0}$	Лекуры на плато хребта Оки	Один кусок туфа кварцевого порфира
38	1264	-"	-"	330-300	$\frac{36^0 45,6}{134^0 27,9}$	-"	Один кусочек темно-серого с фиолетовым оттенком андезита.
39	1265	-"	-"	330-270	$\frac{36^0 45,4}{134^0 27,8}$	-"	Галька и угловатые обломки фиолетово-серых туфов квар- цевых порфиритов
40	1266	-"	-"	330	$\frac{26^0 47,6}{134^0 26,9}$	-"	Эффузивы кислого состава, возможно, вторичные квар- циты. Две гальки брекчи- видных кислых эффузивов.
41	1267	-"	-"	700-650	$\frac{36^0 57,8}{134^0 26,2}$	Северный склон хребта Оки	Глыба зеленовато-серых эффузивов кислого состава
42	1268	25	-"	1700-1650	$\frac{36^0 56,4}{134^0 23,3}$	-"	Ил зеленовато-серый
43	1269	-"	-"	1700-1650	$\frac{36^0 56,0}{134^0 23,0}$	-"	Ил.

44	1270	25	Драга	1300-1250	<u>36°48,2</u> 134°10,9	Северный склон хребта Оки	Мелкие угловатые обломки зеленовато-светло-серых кремнистых аргиллитов. Зелено-вато-серые и коричневато-серые и туфоаргидриты. Несколько крупных глыб темно-серых брекчированных кремнистых пород и тектонических брекчий. Небольшие кусочки зеленовато-серых динатомитов. Округлый обломок желтовато-серого среднекристаллического доломита. Сильно измененные основные породы темно-серого цвета.	
45				1050-1000	<u>36°47,4</u> 134°10,7		-" -	-" -
46				1200-II150	<u>36°47,6</u> 134°10,0		-" -	-" -
47				I271				
48				I272				

47	1273	25-Б	Драга	1000	$\frac{36^0 37,3}{134^0 26,7}$	Южный склон хребта Оки
48.	1274	-" -	-" -	1050	$\frac{36^0 36,4}{134^0 23,9}$	-" -
49	1275	-" -	-" -	1030	$\frac{36^0 36,2}{134^0 23,5}$	Зеленовато-серые аргиллиты. Эффузивы кислого состава интенсивно глауконитизированные.
50	1276	-" -	-" -	450	$\frac{36^0 39,5}{134^0 28,6}$	Кекуры на плато хребта Оки
51	1277	25	-" -	1150-1100	$\frac{36^0 45,2}{134^0 43,7}$	Южный склон хребта Оки
52	1278	-" -	-" -	400	$\frac{36^0 47,2}{134^0 41,2}$	Кекуры на плато хребта Оки
53	1279	-" -	-" -	1000-900	$\frac{37^0 13,6}{135^0 08,1}$	Северный склон хребта Оки
						Ил.
						Ил.
						Ил.
						Ил.

54	1280	25	Драга	450	$\frac{37^{\circ}03,7}{135^{\circ}02,2}$	Кекуры на плато хребта Оки	Пустая, оборвала сетька
55	1281	-"	-"	450	$\frac{37^{\circ}03,6}{135^{\circ}02,1}$	Туфы и туфобрекции кислого и среднего состава	
56	1282	-"	-"	500	$\frac{36^{\circ}58,0}{134^{\circ}57,3}$	Ноздреватые туфы интенсивно глауконитизированные. Стекловатые мерно ожелезненные. Стекловатые флюидальные туфы кислого сос- тава интенсивно глауконитизи- рованные.	
57	1283	-"	-"	450	$\frac{36^{\circ}55,2}{134^{\circ}50,3}$	Туфы кислого состава зелено- вато-желто-серые слоистые и светло-желтые мелкообломочные.	
58	1284	-"	-"	420	$\frac{36^{\circ}56,5}{134^{\circ}52,0}$	Туфы тонкообломочные флюидаль- ные розовые, фиолетово-серые, зеленовато-серые.	
59	1285	-"	-"	1300	$\frac{37^{\circ}11,4}{135^{\circ}25,1}$	Галечки эффузивов кислого сос- тава.	Юго-восточный склон хребта Оки

60	I286	25	Драга	II150-II100	<u>37° II, 8</u> 135° 25,5	Юго-восточный склон хребта Оки	Граниты среднекристаллические, светло-серые с зеленоватым оттенком, сильно и измененные. Дациты серые и зелено-вато-серые сильно измененные. Дацитовый порфирит слегка брекчированый
61	I287	-"	-"	550	<u>37° II, 5</u> 135° 24,8	Кекуры на южном склоне хребта Оки	Дациты и дацитовые порфириты светло-серые с коричневым оттенком, многие обломки покрыты корками гидроокислов железа и марганца.
62	I288	-"	-"	II150-II100	<u>37° II, 6</u> 135° 26,0	Юго-восточный склон хребта Оки	Туфы среднего состава. Дациты и дацит-порфирин серого цвета. Седиментационные брекчии, состоящие из измененных обломков туфов с цементированных карбонатом.
63	I289	-"	-"	550	<u>37° II, 6</u> 135° 21,5	Кекуры на плато хребта Оки	Галька обсидианов и перлитов черного, темно-серого и зелено-вато-серого цвета. Чешуйчатые туфы в разной степени изменены морем. Два обломка темно-серого андезита-базальта.

64	1290	25	Драга	950-850	$\frac{37^{\circ}14,2}{135^{\circ}19,6}$	Северо-западный склон хребта Оки	
65	1291	-"	-"	440-400	$\frac{37^{\circ}08,3}{135^{\circ}06,3}$	Кекур на плато хребта Оки	
66	1292	-"	-"	400	$\frac{37^{\circ}10,0}{135^{\circ}05,2}$	-"-	
67	1293	-"	-"	400	$\frac{37^{\circ}II,1}{135^{\circ}05,4}$	-"-	
68	1294	-"	-"	420	$\frac{37^{\circ}II,8}{135^{\circ}05,3}$	-"-	
69	1295	-"	-"	850-750	$\frac{37^{\circ}12,8}{135^{\circ}05,4}$	Северный склон хребта Оки	

Обломки диатомитов и диатомовых туфопесчаников неравномерно пропитанных железо-марганцевыми гидроокислями. Один обломок брекции диатомового туфопесчаника.

Обломки плотных базальтов и андезито-базальтов. Две гальки кварцита, одна галечка гранита.

Обломки буровато-серых и серых порфировидных гранитов, кварцево-слюдистых сланцев с будинами кварца и кварц-полевошпатово-биотитовых роговиков. Полукатанный обломок андезита. Одна галька кварцита.

Несколько обломков: кварцево-слюдистый сланец, роговики, гранит.

Округлые обломки средне-кристаллических биотитовых гранитов.

Ил. Гальки даситов, андезитов, окварцованных пород серно-кристаллической структуры с вкрашенниками сульфидов.

70	1296	25	Драга	168546,7	36°54,7	Кекур на плато хребта Оки	Обломки туфов липаритового и дацитового состава и вулкано- генно-осадочных брекчий.
71	1297	-"	-"	350	36°54,8	- " -	Глыбы и обломки эфузивных пород дацитового (?) состава.
72	1298	-"	-"	350	36°54,4	-" -	Пустая
73	1299	-"	-"	380-350	36°47,8	-" -	Глыбы коричневато-серых мелкопористых спеккихся туфов дацитового состава.
74	1300	-"	-"	370	36°47,9	-" -	Пустая
75	1301	-"	-"	350	36°47,0	-" -	Обломки грубоизвестнических жильных полевошпатовых пород интенсивно глауконитизирован- ных. Один маленький обломок спекшегося туфа.
76	1302	-"	-"	350	36°46,7	-" -	Пустая
77	1303	-"	-"	370-350	36°45,2	-" -	Один полукатанный обломок сильно измененного мелко- обломочного туфа.

78	1304	15	Драга	1450-1400	$39^{\circ}08,2$	западный склон Восточно-Корейской во возвышенности	Обломки серых биотитовых пор- фиробластовых гранитов.
79	1305	"	-"	1200-1150	$39^{\circ}07,7$	- " -	тоже
80	1306	"	-"	1050-1000	$39^{\circ}10,4$	- " -	Ил., одна галька базальта
81	1307	16 (B)	-"	1350	$38^{\circ}42,2$	Вулканическая пост- ройка на восточном склоне Восточно- Корейской во взви- шенностии	Обломки из здравятых шлаковид- ных пород, покрытие гидро- магнитами железа и марганца. Железо-марганицевые конкреции почкообразной формы. Две гальки кремнистых алевролитов.
82	1308	" (B)	-"	1250-1200	$38^{\circ}42,2$	- " -	Обломки из здравятых шлаковид- ных пород.
83	1309	16-4	-"	1300-1250	$38^{\circ}31,4$	Восточный склон Восточно-Корейской во взви- шенностии	Обломки гравийных буро-вато- серых песчаников, мелкозернистых зелено-вато-серых песчаников, светло-коричневых туфоалевро- литов.
84	1310	"	-"	1600-1500	$38^{\circ}31,3$	- " -	Тльбы и обломки седиментацион- ных мелко- и крупнообломочных брекций и интенсивно катакла- зированных метаморфических пород: сланцы и гнейсовидные кварц-полевошпатовые породы. Два кусочка пемзы.

1	2	3	4	5	6	7	8	9
85	13II	16-A	Драга	1700-1600	<u>38°32,4</u> 130°09,1	Восточный склон Восточно-Корейской возвышенности	Глыбы и обломки седиментацион- ных крупнообломочных брекций сильно обожженных. Несколько мелких обломков грубо зернистых песчаников и гравелитов. Один кусочек кварца-полевошпатовой катализированной породы.	
86	13I2	-"	-"	1350-1300	<u>38°32,1</u> 130°08,8	-"-	Глыбы и угловатые обломки грубослоистых туфопесчанико в и гравелитов.	
87	13I3	-"	-"	1700-1600	<u>38°30,0</u> 130°09,3	-"-	Небольшие обломки сильно измененных биотитовых гра- нитов.	
88	13I4	-"	-"	1350-1300	<u>38°30,0</u> 130°08,9	-"-	Мелкий щебень глауконитизиро- ванных биотитовых гранитов. Один обломок кварцево-биотито- вого гнейса. Две гальки осадочных пород.	
89	13I5	-"	-"	1700-1600	<u>38°28,8</u> 130°10,3	-"-	Три угловатых обломка глауконии- тизированного гранита. Два кусочка пемзы, пропитанной гидроокислами железа и марган- ца. Одна галька кремнисто- углистого алевролита.	
90	13I6	-"	-"	1350-1300	<u>38°28,6</u> 130°09,9	-"-	Один кусок глауконитизирован- ного среднекристаллического гранита.	

								8	9
91	1317	20-А	Драга	I200-II00	<u>38°14,7</u> <u>132°32,6</u>	Крутой склон	Обломки пузыристых андезито-базальто и гиалокластитов		
92	1318	-"-	трубка	2730	<u>38°16,1</u> <u>132°40,8</u>	Глубоководная впадина Японского моря	0-19- бурый кремнистый пелито-вый ил 19-21- темно-бурый слабо кремнистый пелитовый ил 21-23- зеленовато-бурый алевропелитовый ил с диатомиями 23-36- серый слабо кремнистый пелитовый ил с редкими диатомиями 36-45- серый пелитовый ил без органических остатков 45-67- темно-серый пелитовый ил 67-73- темно-серый слабо кремнистый карбонатный ил с единичными диатомиями и фрагментами 73-88- светло-серый слабо кремнистый карбонатный ил 88-93- серый очень плотный ил 93-94- зеленовато-серый плотный ил 94-126- серый слабо карбонатный тонкоалевритистый ил		

- 126-134 - серый карбонатный слабо кремнистый ил
- 134-136- серый карбонатный пелитоморфный ил
- 136-138- серый слабо кремнистый алевро-пелитовый пиритизированный ил
- 138-144- темно-серый карбонатно-кремнистый пиритизированный ил с углефицированными растительными остатками.
- 144-150- переслаивание темно-серых илов со светло-серыми
- 150-157- темно-серый пелитовый ил с примесью песчанистых зерен
- 157-167- переслаивание серых слабо кремнистых и темно-серых карбонатных илов
- 167-184- темно-серый пиритизированный ил
- 184-188- серый слабо карбонатный слабо кремнистый ил

Дубликат от. 1318

Глубоководная
впадина

38°16,1
132°40,8

трубка 2730

1319

93

94

1	1320	20а	трубка	2725	<u>38° II, 3</u> 132° 46, 6	Глубоководная впадина	7	8

17-18,5- светло-серый с голубоватым
оттенком алевро-пелит.

18,5-19,5- светло-серый алевро-пелит

19,5-29- голубовато-зеленый алевро-
пелит

29-31 - крупный алеврит-мелкий песок
светло-серый до белого

31-42 - голубовато-серый алевро-пелит
с неясно- пятнистой текстурой

42-45 - тот же алевролит более темный

45-47 - алевро-пелит аналогичный
инт. 19,5-29

47-58 - продолжение инт. 45-47, к низу
увеличивается кол-во алеври-
товых частиц.

58-58,5- голубовато-серый алеврит

58,5-62- аналогичный инт. 45-58

62-65 - горизонтальный слой песка мел-
кого ^{ко}край до крупного в сред-
ней части интервала

65-75,5- голубовато-серый алевро-пелит
с неясно- пятнисто-облачной
текстурой. В верхней части с
органическими остатками чер-

ного цвета. На границе с
вышлемящим интервалом
обломок пемзы.

75,5-76,5- зеленовато-серые до чер-
ного стяжения алевро-пелита

76,5-98- алевро-пелитовый ил от голу-
бовато-зеленоватого до голу-
бовато-серого.

98-103- алевро-пелит темный голубо-
вато-серый.

103-105- алеврит зеленовато-серый
темный, в верхней части до
черного.

105-108- пелит-алевро-пелит голубо-
вато-серый, текстура
неясно- пятнистая, пятна органики

108-III- алевро-пелит со значитель-
ным количеством светлых
частиц крупного алеврита-
ро зетки кальцита.

III-12I- алеврит-алевро-пелит голубо-
вато-серый.

12I-123- голубовато-зеленые стяжения
более плотные чем окружаю-
щий материал.

123-I47- голубовато-серый пелитовый
ил с отдельными мелкими (до 2 мм)
(\varnothing) стяжениями анал.
выше описанным.

- 147-157- голубовато-серый светлой алевро-пелитовый ил с тоянками прослоями (до 5 мм) материала аналогичного инт. 121-123.
- 157-157,5- хорошо выраженный слой аналогичный выше описанному прослонам.
- 157,5-186,5- аналогичен интервалу 147-157
- 186,5-200- темный зеленовато-серый алевро-пелитовый ил
- 200-205,5- алеврит желтовато-белый с прослоем (~ 2 мм) крупного зеленовато-серого алеврита мелкого песка.
- 205,5-217,5- голубовато-серый алевропелитовый ил. С неясно- пятнистой текстурой.
- 217,5-221- зеленовато-серый алевропелитовый ил.
- 221-222- желто-белый крупный алеврит.
- 222-226,5- анал. инт. 200,5-217,5 Один небольшой обломок туфа кварцевого порфира

0_{км}
 $\frac{36044,6}{134035,6}$

Драга
25-Г
1321

96	1322	25-Г	Драга	370-350	$36^0 46,2$ 134°36,0	Кекуры на плато хребта Оки	7
97	1323	-" -	-" -	350	$36^0 49,0$ 134°33,3	-" -	тонкообломочные либо кристаллоакости- ческие туфы кислого и дацитового (?) состава.
98	1324	-" -	-" -	370	$36^0 50,2$ 134°33,4	-" -	Одна глыба и мелкие обломки крупно- обломочных спекшихся туфобрекций, вероятно, дацитового состава.
99	1325	-" -	-" -	360	$36^0 46,8$ 134°33,0	-" -	Два обломка грубообломочных туфо- брекций интенсивно глауконитизиро- ванных.
100	1326	-" -	-" -	350	$36^0 47,8$ 134°34,2	-" -	Четыре полууглловатых обломка анде- зита-базальтов и их туфов.
101	1327	-" -	-" -	350	$36^0 48,0$ 134°31,8	-" -	Один кусочек сильно разложенной пемзы.
102	1328	-" -	-" -	350	$36^0 47,4$ 134°32,5	-" -	Угловатые обломки туфов и туфолав среднего, реже основного состава.
103	1329	-" -	-" -	350	$36^0 49,2$ 134°32,2	-" -	Четыре крупных обломка черно-корич- невых крурообломочных спекшихся туфобрекций андезитового состава.

104	1330	25-Г	Драга	360	<u>36°49,4</u> 134°30,0	Кекуры на плато хребта Оки		
105	1331	-" -	-" -	350	<u>36°48,9</u> 134°29,8	-" -	Пустая	
106	1332	-" -	-" -	350	<u>36°45,4</u> 134°32,0	-" -		
107	1333	-" -	-" -	370	<u>36°45,4</u> 134°32,4	-" -		
108	1334	-" -	-" -	400	<u>36°45,9</u> 134°38,8	-" -		
109	1335	-" -	-" -	350	<u>36°44,6</u> 134°32,2	-" -		
110	1336	24		500	<u>37°43,1</u> 133°51,8	ПВ	Кекуры на плато возвышенности Пржевальского	

Один обломок оторванный от коренного выхода зеленоватого туфа липарита.

Округло-угловатые обломки зеленовато-темно-коричневых туфогравелитов и гравийных песчаников, пропитанных гидроокислами железа и марганца. Зелено-серые туфиты и туфы. Один угловатый обломок темно-серой кремнистой породы. Два небольших кусочка биотитовых гранитов.

Глыба зелено-вато-серого гравийного туфита. Угловатые обломки туфогранитов и гравийных песчаников пропитанных гидроокислами железа и марганца. ^{Фосфораты} _{P₂O₅} - 11,38% ^{Мо} 13,44%

Мелкообломочные ^{лишт}окристаллокластические туфы кислого и умеренно-кислого состава.

Остроугольные, угловатые и округленные обломки туфов кварцевых порфиров, пепловых туфов и фельзитов (?).

1	2	3	4	5	6	7	8
III	1337	24	Драга	480-450	$\frac{37^0 44,0}{133^0 48,2}$ Пржевальского	Кекуры на плато возвышенности Пржевальского	Один округлый кусок глаукоити- зированной пемзы.
II2	1338	24	-"-	920-900	$\frac{37^0 36,0}{133^0 45,0}$	Юго-восточный склон возвышенности Пржевальского	Обломки желто-серых гиалокласти- тов, желто-серых тонкообломочных пепловых туфов, превращенных в выветриванием в аргиллиты. Рыхлые железо-марганцевые корки.
II3	1339	-"-	-"-	670-650	$\frac{37^0 37,1}{133^0 43,0}$	-" -	Два обломка: темно-серая кремни- стая порода и туф кварцевого пор- фира.
II4	1340	-"-	-"-	1100-1050	$\frac{37^0 30,4}{133^0 42,7}$	-" -	Одна галька андезита и небольшой обломок пемзы липарита.
II5	1341	-"-	-"-	570-550	$\frac{37^0 52,0}{133^0 52,3}$	Кекуры на плато возвышенности Пржевальского	Острогульные обломки эффузивов кислого состава интенсивно гла- укоитизированных пятнистых серо зеленых.
II6	1342	-"-	-"-	550-530	$\frac{37^0 53,8}{133^0 59,4}$ Медж	-" -	Пустая
II7	1343	26	-"-	1500-1400	$\frac{38^0 36,8}{135^0 11,8}$	Склон подводной возвышенности	Черно-коричневые железо-марганце- вые корки. Буровато-желтая вул- каническая глина, содерящая угловатые и полуокатанные обломки диоритов, литокластические туфы.

1	2	3	4	5	6	7	8	9
П18	1344	26	Драга	1600-1550	$\frac{38^0 35,4}{135^0 10,0}$	Южный склон подводной возвышенности	Темно-коричневые железо-марганцевые корки и почковидные конкреции. Обломки продуктов подводного базальто-вулканизма: гиалолакасты; облитизированные базальтоиды, гиалобазальты. Один обломок серого литокристаллолакастического туфа, один обломок роговообманкового гранита. Несколько кусочков вулканических пород, замещенных травянисто-зеленым минералом.	
П19	1345	-"		1350-1250	$\frac{38^0 37,2}{135^0 09,7}$	Восточный склон подводной возвышенности	Ил, мелкие обломки и галька различных пород.	
П20	1346	-"	трубка	3000	$\frac{38^0 32,2}{135^0 10,7}$	В 2 милях к югу от подводной возвышенности	0-10 - пеллит-алевро-пеллит серовато-бурый до буровато-коричневого, текстура неясно- пятнистая.	
							10-12 - светло-бурый алевро-пеллит с полосчатой текстурой	
							12-13 - алевро-пеллит темно-коричневый слабо кремнистый	
							13-14 - светло-коричневый алевро-пеллит	
							14-14,5 - темно-коричневый алевро-пелитовый или с большим кол-вом аутогенных сульфидов.	
							14,5-18 - алевро-пеллит сероватый	

- светло-коричневый с тонкими коричневыми горизонтальными слоями (0,5-2мм)
- 18-20 - голубовато-серый алеврит с песчаными частицами.
- 20-32 - голубовато-серый алевритовый ил с пятнистой текстурой.
- 32-40 - алевро-пелит серый с голубоватым оттенком, текстура массивная
- 40-48 - алевро-пелитовый ил голубовато-серый с включениями неправильной формы (до 1 см в \varnothing) более плотного голубоватого ила.
- 48-52 - алевро-пелит темно-серый с редкими включениями частиц крупного алеврита.
- 52-74 - аналогичен выше описанному, но с неясно пятнистой текстурой
- 74-78 - алевро-пелитовый ил массивной текстуры
- 78-85 - темно-зеленовато-бурый алевро-пелитовый ил.
- 85-90 - голубовато-серый алевро-пелит
- 90-98 - голубовато-серый алеврит с большим количеством светлых частиц крупного алеврита. Текстура неясно пятнистая, растительные остатки в виде веточек.
- 98-99 - тонкий светлый звездковистый песок (0,7 см) с голубовато-серым алевритовым наполнителем.
- 108-108,5 - алеврито-пелитовый ил голубовато-серый
- 99-108 - алеврит голубовато-серый с неясно пятнистой текстурой

109,5-116 - голубовато-серый алеврито-пелитовый ил с редкими частичками крупного алеврита, текстура облачная.

116-117 - буро-зеленый алеврит

117,5-117,5 - серый алевро-пелит

117,5-119,5 - буро-зеленый алеврит с неясно пятнистой текстурой

119,5-136 - зеленовато-серый алевро-пелит

136-146 - постепенный переход от вышеописанной разности до темного буро-зеленого алеврита.

146-152 - темный зелено-вато-серый с бурым оттенком алевро-пелитовый ил. Розетки кальцита ~ 0,01 мм.

152-156,5 - алевро-пелитовый ил более светлый 156,5-157 - тонкий светлый песчано-крупный алеврит

157-158 - аналогичн. инт. 146-152

158-158,3 - аналогичн. инт. 156,5-157

158,3-170,5 - темный зелено-вато-серый алевро-пелитовый ил с меньшим кол-вом кальцита, чем инт. 146-152.

170,5-175 - светлый алевро-пелитовый ил с мелкими кристалликами кальцита

175-175,5 - глауконитовый иесок с розетками кальцита

175,5-195 - алевро-пелит аналогичн. инт. 158,5-170,5, но с неясной полосчатой текстурой

121	1347	трубка	3000	$\frac{38^0 30,2}{135^0 10,8}$	В 6 милях к югу от подводной возвышен- ности	Оборвана	8
122	1348	драга	700-600	$\frac{42^0 15,3}{131^0 03,6}$	Борт каньона на материковом склоне	Ил и две гальки	7
123	1349	-"	-"	$\frac{42^0 14,6}{131^0 06,4}$	-"-	Угловатые и остроугольные обломки кремнисто-углистых алевролитов. Валун гранита, обломки миоценовых диатомитовых пород.	6
124	1350	-"	-"	$\frac{42^0 14,4}{131^0 04,2}$	900	Обломки различных пород: разgneйсованные граниты, светло- серые известковистые песчаники, массивные светло-серые известники	5
125	1351	-"	-"	$\frac{42^0 14,1}{131^0 04,1}$	1100-1050	Обломки серых плотных известко- вистых песчаников, темно-серых биотитовых гнейсо-гранитов; катализированые гнейсо-граниты один обломок плотного светло- серого фельзита	4

Составила: Ващенкова Н.Г.

№ п/п	№ снятия	Полигон № по эхолоту	Длина троса	Дата снятия	Время постаковья *	Координаты числитель-широта знаменатель-долгота.	Способ определени кординат (мили по РЛС)	
							Снятие буя в минутах	8
1	2	3	4	5	6	7		
1	62	9	100 140	5.05 6.05	35 17	29°52,2 128°53,0	о.Гадэя - 34,3 о.Тайра - 35,6 о.Суваносе - 45,2 о.Акусенц - 44,2	
2	63	24-А	1000 1200	22.05 24.05	15	38°01,2 134°18,6	Лоран А	
3	64	25-А	428 540	27.05 30.05	15 22	36°48,2 134°24,0	Лоран А звезды	
4	65	25-Б	450 540	30.05 31.05	20 20	36°39,5 134°25,9	Лоран А	
5	66	16-А	1090 1300	16.06 18.06	25 20	38°31,4 130°06,9	-" -	
6	67	25-Г	360 420	20.06 22.06	25 25	36°47,2 134°34,6	-" -	

Исходные данные для определения координат буев

№ 63

22.05.76 - II.28 Лоран А

2S 3 - 3034 2S 4 - 2530 2S 5 - 1295

 $\varphi_0 = 38^{\circ}01,2$ $\lambda_0 = 134^{\circ}18,6$

23.05.76 - 20.58 Звезды:

Вега $M_{hr}=10.43.12$ $oc=14.57.6$ Продион $M_{hr}=10.44.53$ $oc=24.37.0$ Полярная $M_{hr}=10.48.49$ $oc=37.22.9$ $i + S = 0$ $M_{hr} = +2^M 27^C$ $\varphi_0 = 38^{\circ}01.3$ $\lambda_0 = 134^{\circ}17,9$

24.05.76 - II.43 Лоран А

2S 3 - 3033 2S 4 - 2530 2S 5 - 1297

 $\varphi_0 = 38^{\circ}01,5$ $\lambda_0 = 134^{\circ}18,2$

№ 64

27.05.76 - 18.04 Лоран А

2S 4 - 2090 2S 3 - 3283

 $\varphi_0 = 36^{\circ}48,2$ $\lambda_0 = 134^{\circ}24,1$

27.05.76 - 21.00 Звезды:

Арктур $M_{hr} = 10.36.52$ $oc = 55.26.9$ Регул $M_{hr} = 10.41.30$ $oc = 54.18.6$ Полярная $M_{hr} = 10.43.57$ $oc = 36.10.0$ Мизар $M_{hr} = 10.47.16$ $oc = 67.50.6$ Денеболя $M_{hr} = 10.53.20$ $oc = 67.II.9$ Кастор $M_{hr} = 10.56.50$ $oc = 32.30.4$ $M_{hr} = +2^M 50^C$; $\varphi_0 = 36^{\circ}48,6$ $\lambda_0 = 134^{\circ}24,4$ $i + S = 0$

28.05.76 - 05.09

Звезды:

Альферас	M _{hr} = 18.59.33	oc = 42.45.8
Полярная	M _{hr} = 19.02.51	oc = 36.56.6
Альтаир	M _{hr} = 19.04.21	oc = 60.51.6
ξ Волопаса	M _{hr} = 19.06.19	oc = 18.52.0

$$l + s = 0^{\circ}0$$

$$M_{hr} = +2^{\text{m}}53^{\text{s}}$$

$$\varphi = 36^{\circ}47,7$$

$$\lambda_0 = 134^{\circ}23,4$$

№ 65

30.05.76 - 20.00

Лоран А

$$2 S 3 = 3308$$

$$2 S 4 = 2040$$

$$\varphi = 36^{\circ}39,5$$

$$\lambda_0 = 134^{\circ}25,9$$

30.05.76 - 20.10

Лоран А

$$2 S 3 = 3307$$

$$2 S 4 = 2038$$

$$2 S 5 = 1096$$

$$\varphi = 36^{\circ}39,6$$

$$\lambda_0 = 134^{\circ}25,4$$

31.05.76 - 18.30

Лоран А

$$2 S 3 = 3308$$

$$2 S 4 = 2040$$

$$\varphi = 36^{\circ}39,5$$

$$\lambda_0 = 134^{\circ}25,9$$

№ 66

16.06.76 - 18.38

$$2 S 3 = 2763$$

$$2 S 4 = 1795$$

$$2 S 5 = 2253$$

$$\varphi = 38^{\circ}31,6$$

$$\lambda_0 = 130^{\circ}06,7$$

18.06.76 - 19.15

$$2 S 3 = 2763$$

$$2 S 4 = 1795$$

$$2 S 5 = 2252$$

$$\varphi = 38^{\circ}31,6$$

$$\lambda_0 = 130^{\circ}07,0$$

ЭД № 67

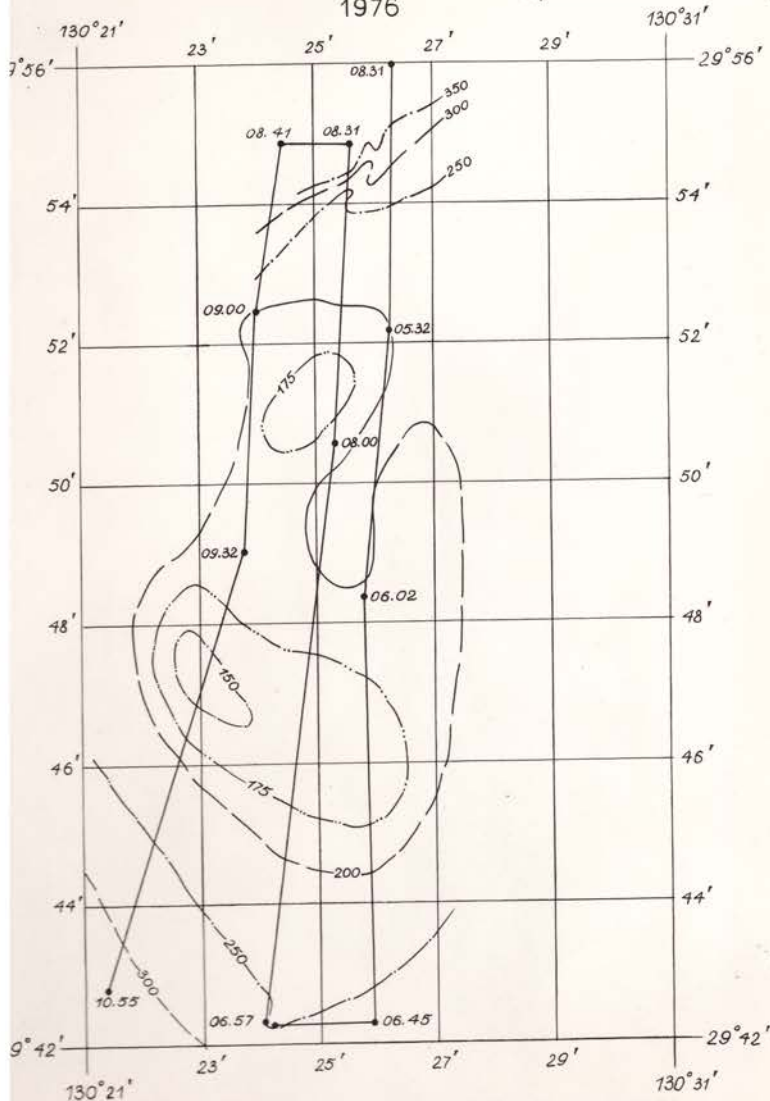
20.06.76 - 10.35	Лоран А
2S3 - 3301	2S4 - 2I60
$\varphi_0 = 36^{\circ}47,0$	$\lambda_0 = 134^{\circ}34,8$
21.06.76 - 08.39	Лоран А
2S3 - 3300	2S4 - 2I60
$\varphi_0 = 36^{\circ}47,2$	$\lambda_0 = 134^{\circ}34,6$
21.06.76 - 20.10	Лоран А
2S3 - 3300	2S4 - 2I60
$\varphi_0 = 36^{\circ}47,2$	$\lambda_0 = 134^{\circ}34,6$
22.06.76 - 13.13	Лоран А
2S3 - 3300	2S4 - 2I59
$\varphi_0 = 36^{\circ}47,1$	$\lambda_0 = 134^{\circ}34,1$

КАРТА
ФАКТИЧЕСКОГО МАТЕРИАЛА
ПОЛИГОН 10-А

М 2000 1000 0 1000 2000 м

1976

приложение 8



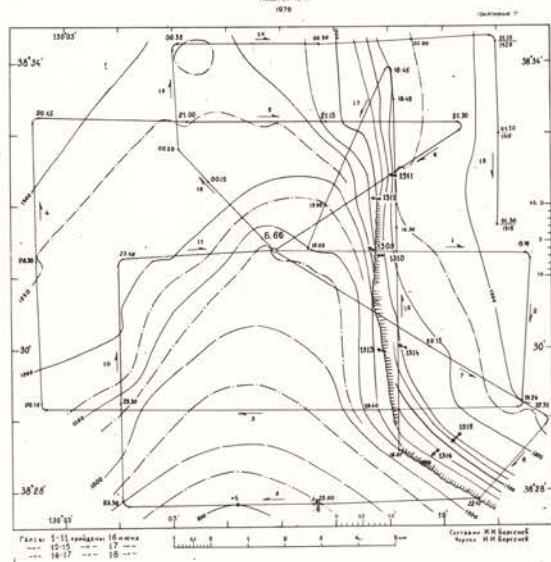
Галсы 1-5 пройдены 10.V.76г.

Составила Ващенко Н.Г.

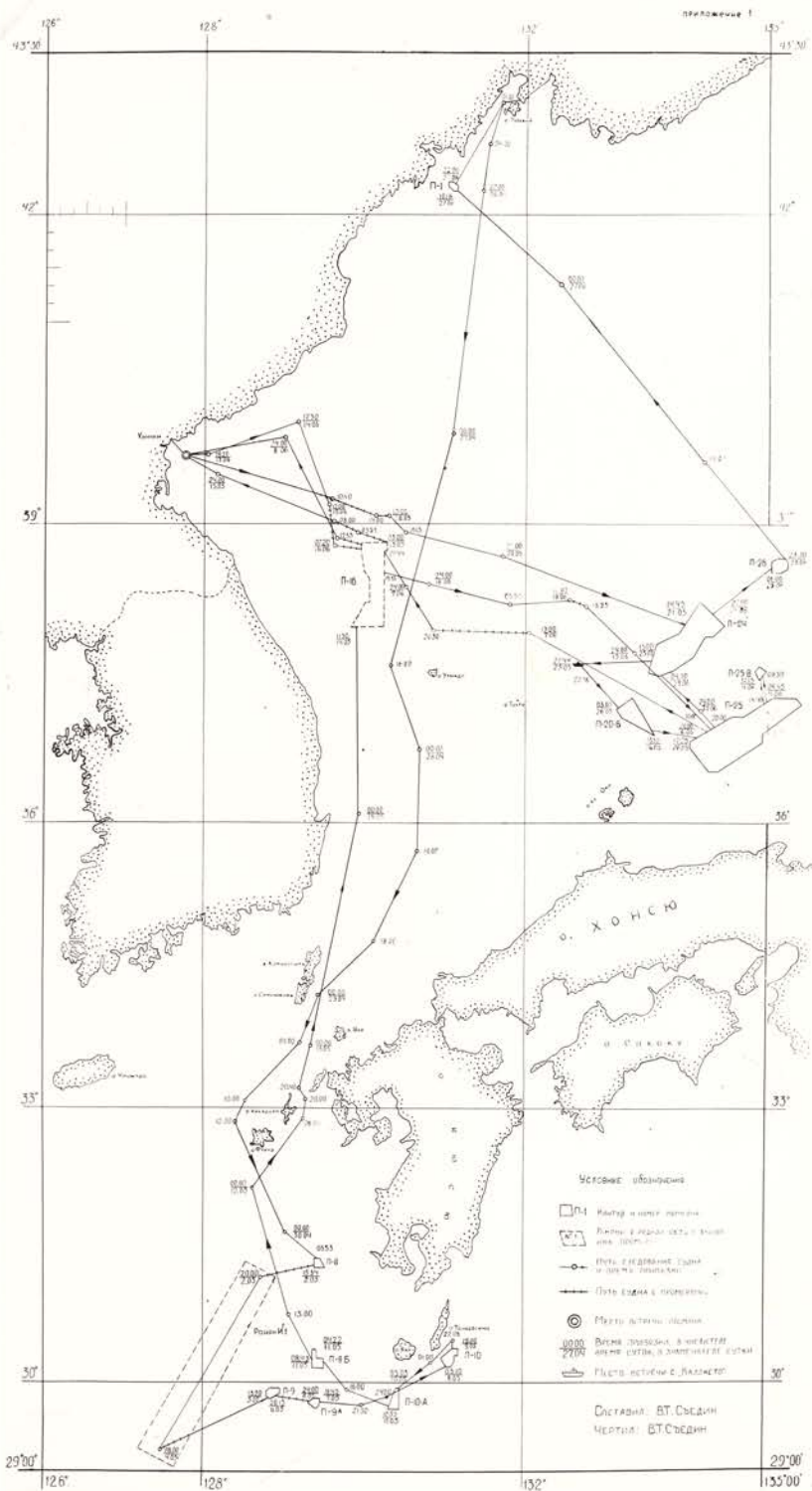
Чертитла Соловьев Н.А.

лрил. 11

на Певец
рек 25
КАРТА ФАКТИЧЕСКОГО МАТЕРИАЛА
Полигон 10-А
Приложение 8
1976



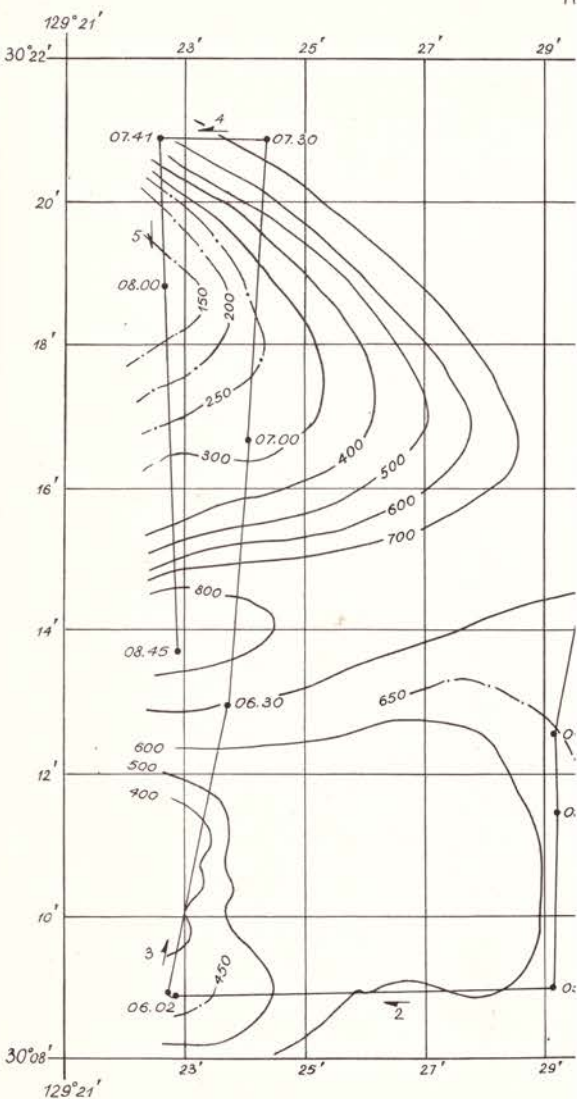
КАРТА - СХЕМА
258) РЕЙСА НИИ «ПЕРЕВЕЧ»
25 апреля — 29 июня



**КАРТА
ФАКТИЧЕСКОГО МАТЕРИАЛА**
ПОЛИГОН 9-Б (банка Хики)

M 2000 1000 0 1000 2000 M

1976



Галсы 1+5 проидены

Составили Берс
Сигс
Чертитла Сорот

НИС «ПЕРВЕНЕЦ»
рейс 25

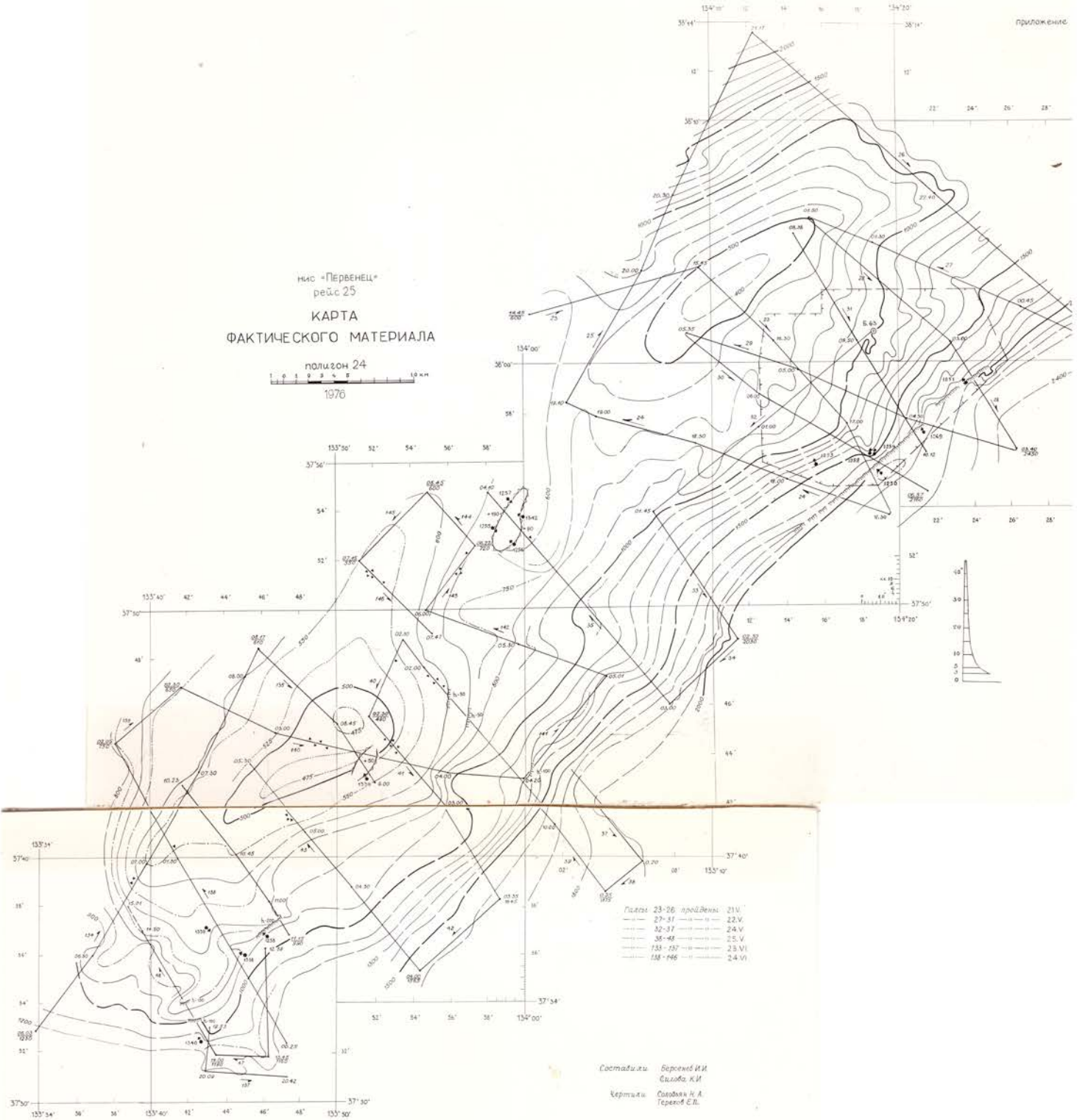
КАРТА ФАКТИЧЕСКОГО МАТЕРИАЛА

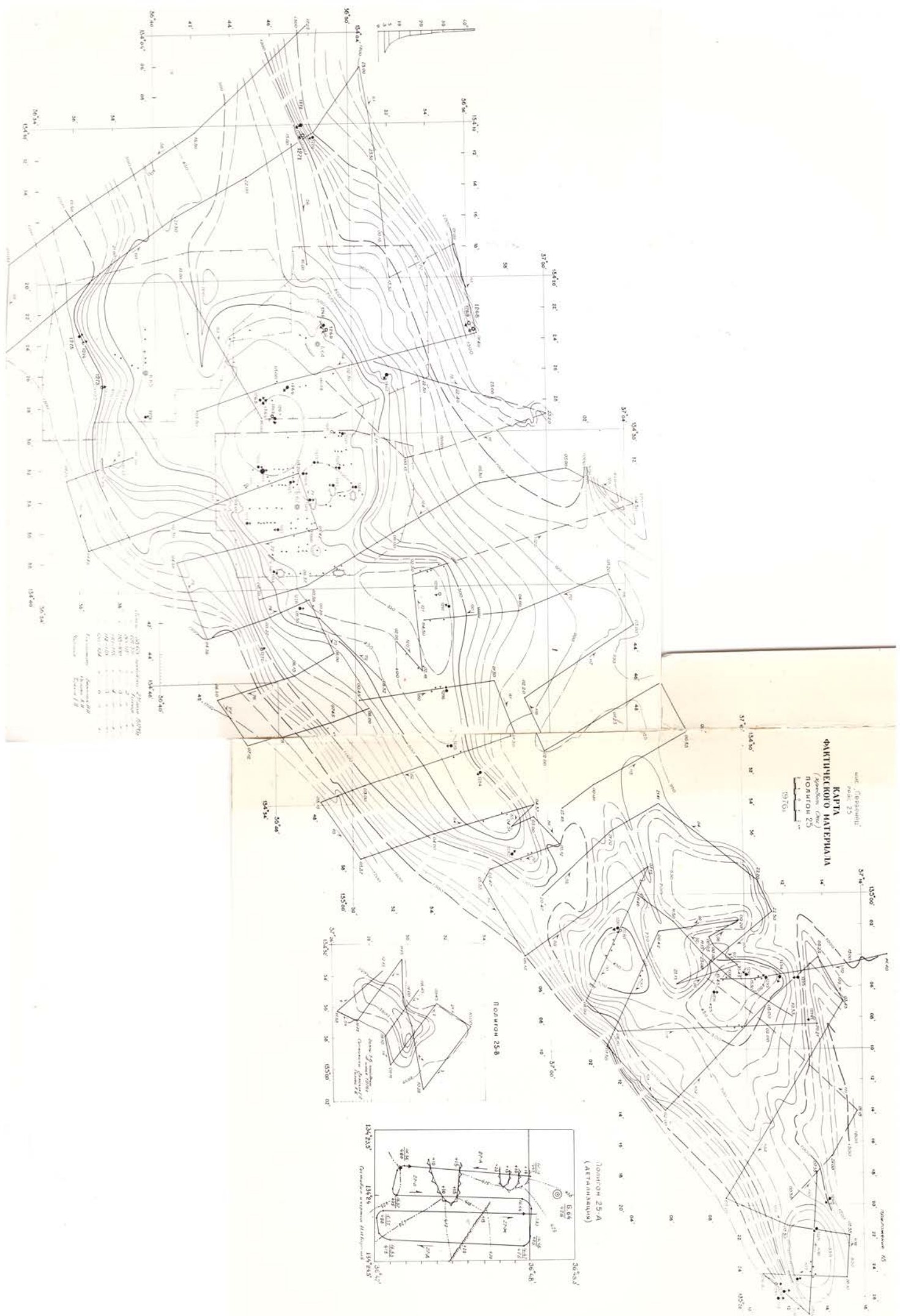
полигон 24

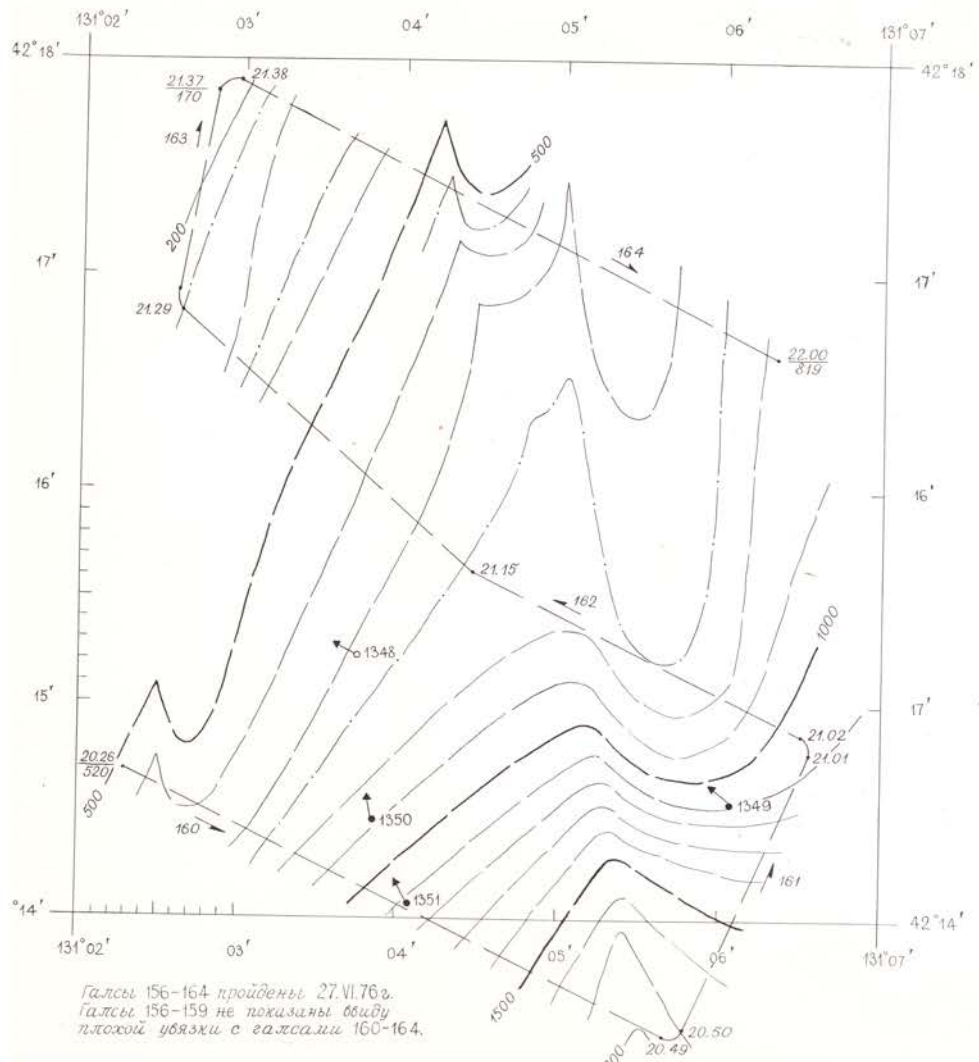


1 0 5 9 3 4 5 10 км

1976







нис „Первениц“
рейс 25
КАРТА
ФАКТИЧЕСКОГО МАТЕРИАЛА
Полигон 1

М 500 250 0 500 750 1000 м

1976

Составил И.И.Берсенев
Зертчица Н.А.Соловьян

УСЛОВНЫЕ ОБОЗНАЧЕНИЯ КАРТ ФАКТИЧЕСКОГО МАТЕРИАЛА

⑤ 5.63 буй и его номер

 галсы экспедиционных промеров, их направление, номер, бретя определения места

 то же, при приближительной привязке

 изобаты через 500 м установленные и предполагаемые

 то же, через 100 м

 дополнительные изобаты (через 50 м)

 то же, через 25 м

 бретя (чистотель) и глубина (знатенатель)

 контуры полигонов съёлки крупного масштаба

 обрывы и уступы

 подводные скалы (некуры), выражющиеся в масштабе карты

 то же, не выражающиеся в масштабе карты

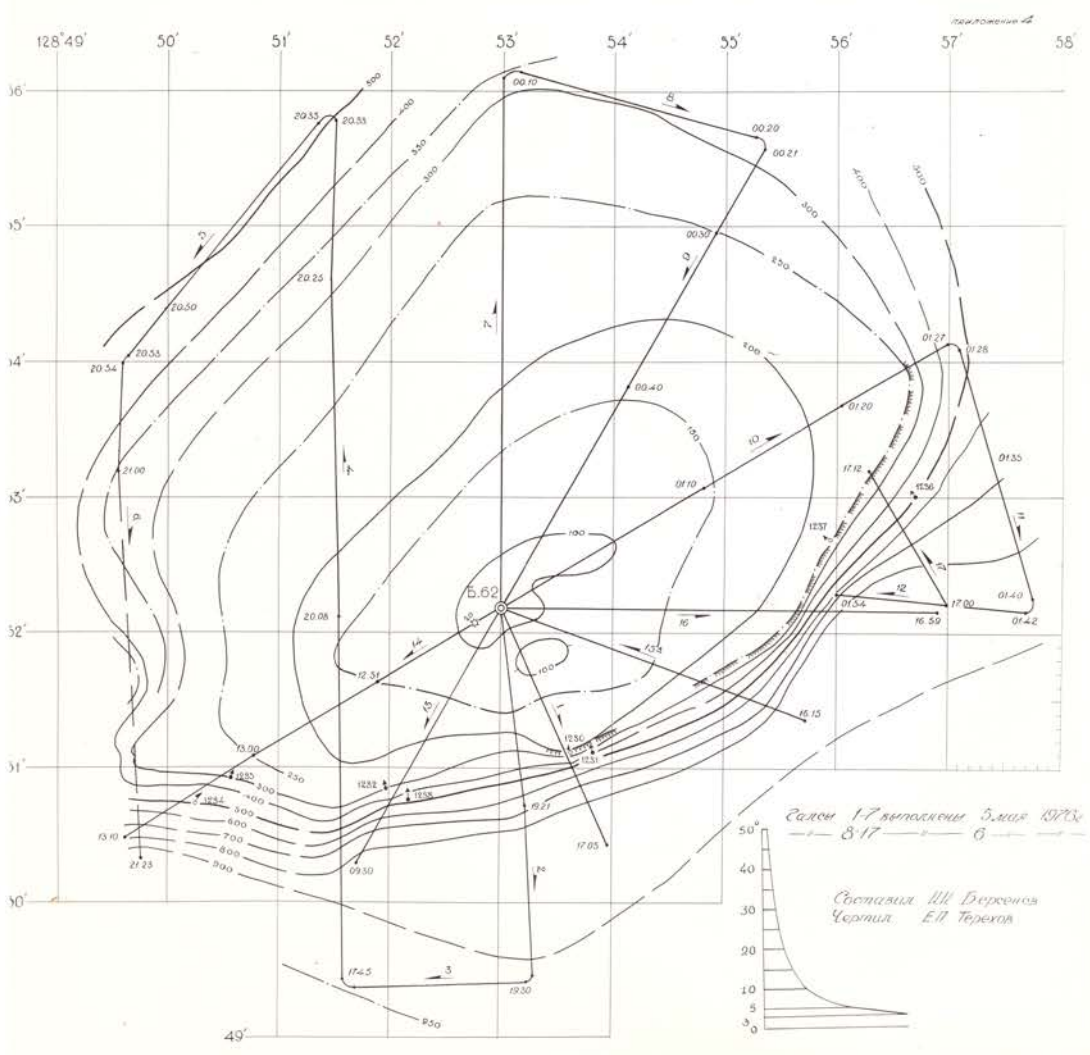
 место (станция) отбора проб горных пород прямоточной трубкой

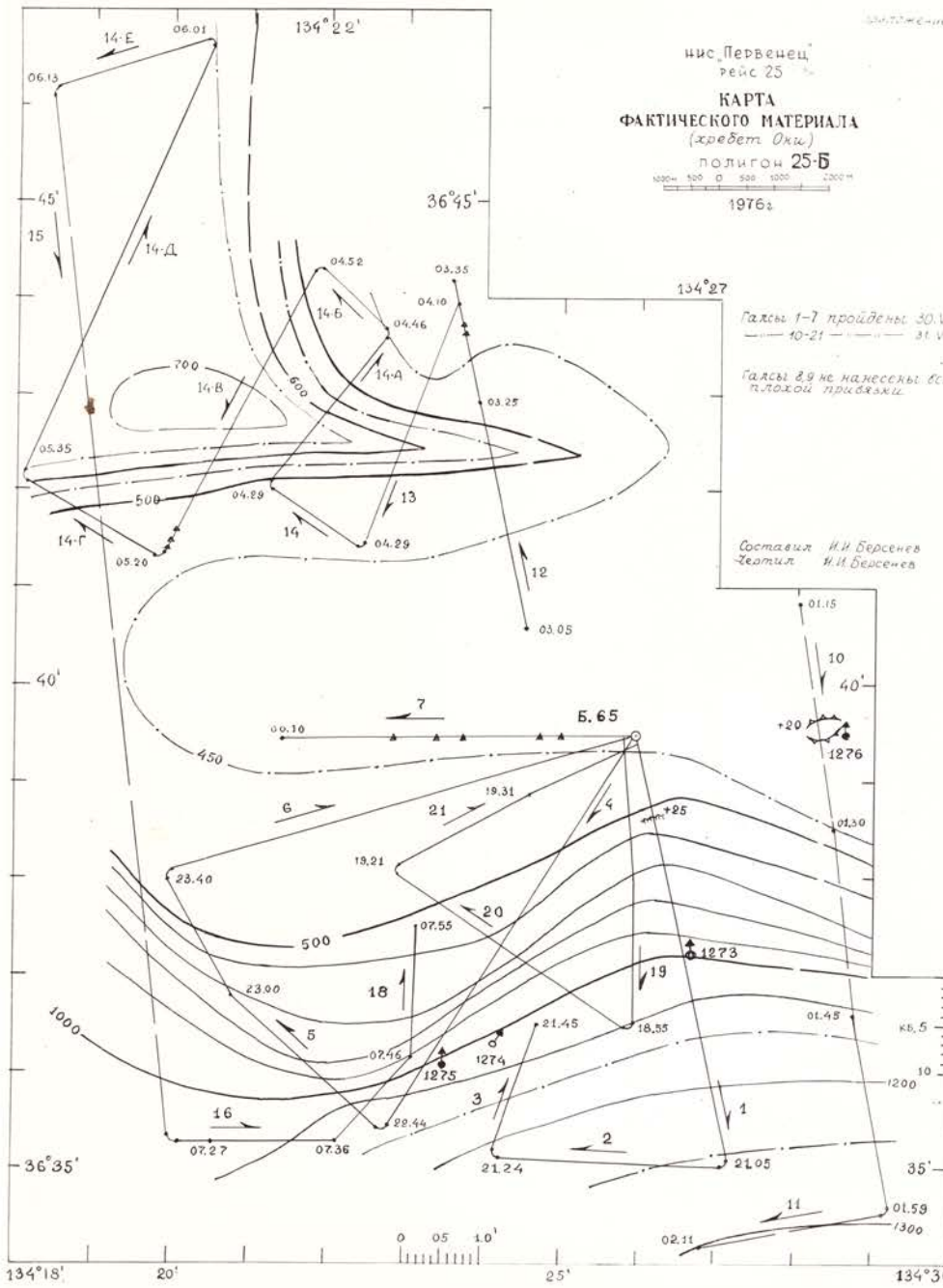
 а) место отбора проб горных пород драгой
б) драга, не поднявшая материала

нис „Первенец“
рейс 8(25)

КАРТА
ФАКТИЧЕСКОГО МАТЕРИАЛА
(Банка Сидзе-Нисисоне)
Полигон 9

250 0 250 500 1000 m

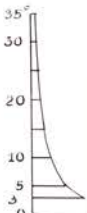




ПРИЛОЖЕНИЕ N 12
НИС. "ПЕРВЕНЕЦ"
РЕЙС 25
КАРТА
ФАКТИЧЕСКОГО МАТЕРИАЛА
ПОЛИГОН 20-Б
(банка Оки)
1976

1 0 1 2 3 4 5 км

37°08'



КБ. 0
10
20
30
40
50

37°00'

30'

0 1 2

1252

1000

700

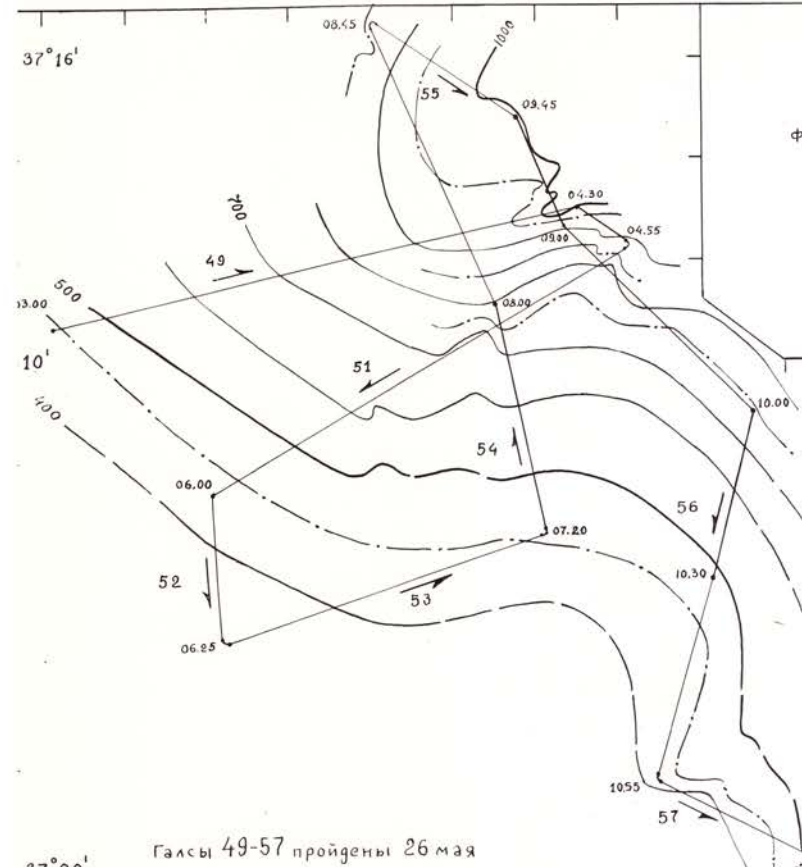
500

350

200

100

0



Галсы 49-57 пройдены 26 мая

-36°58'

Составила К.И. Сигова
Чертит И.И. Берсенев

133°10'

20'

нис ПерВенец
рейс 25

РЕД. 25
КАРТА ФАКТИЧЕСКОГО МАТЕРИАЛА
Восточно-Морской возвышенность
 Полигон 16-А

1976

1570

1

1

1

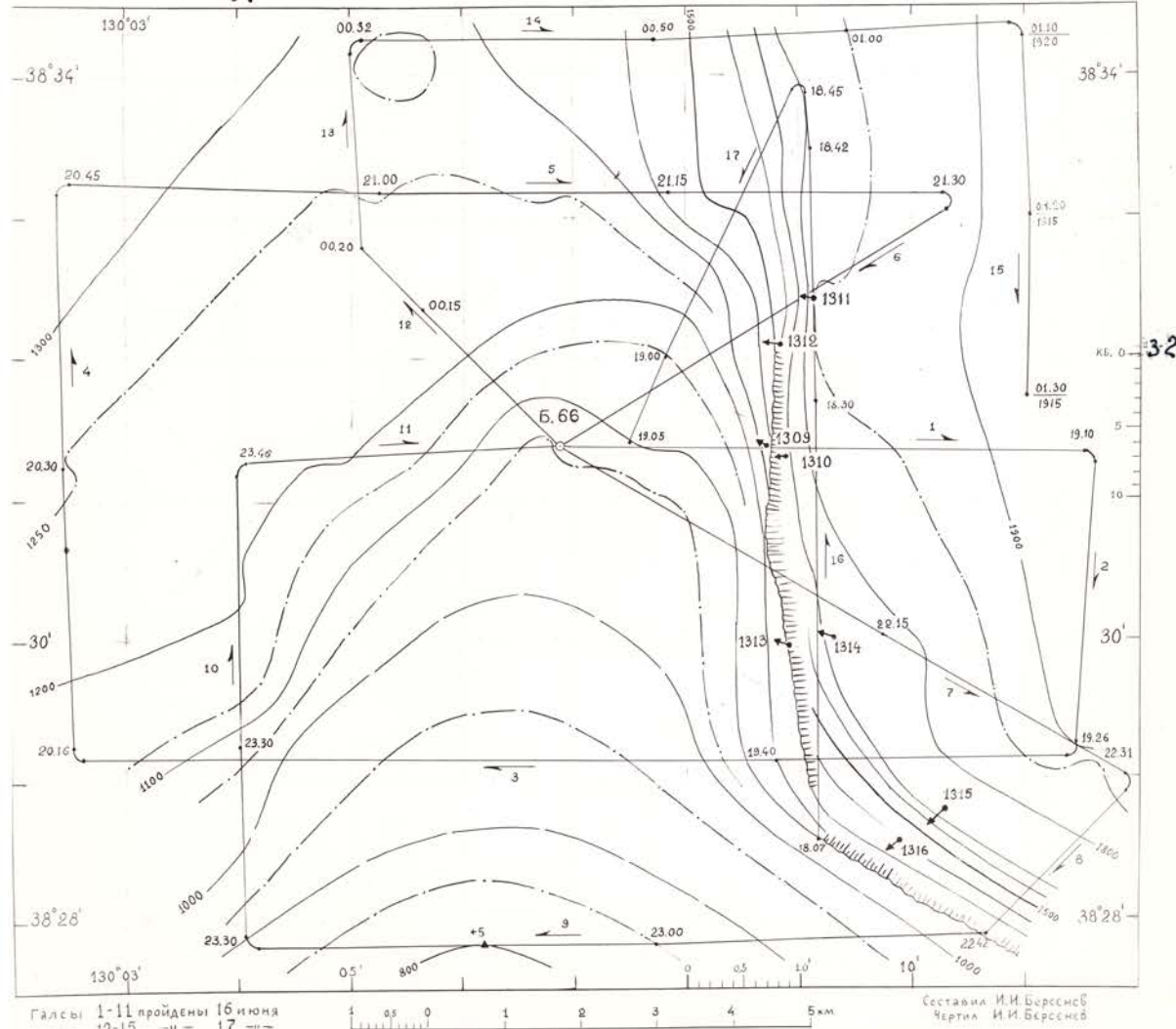
04

06

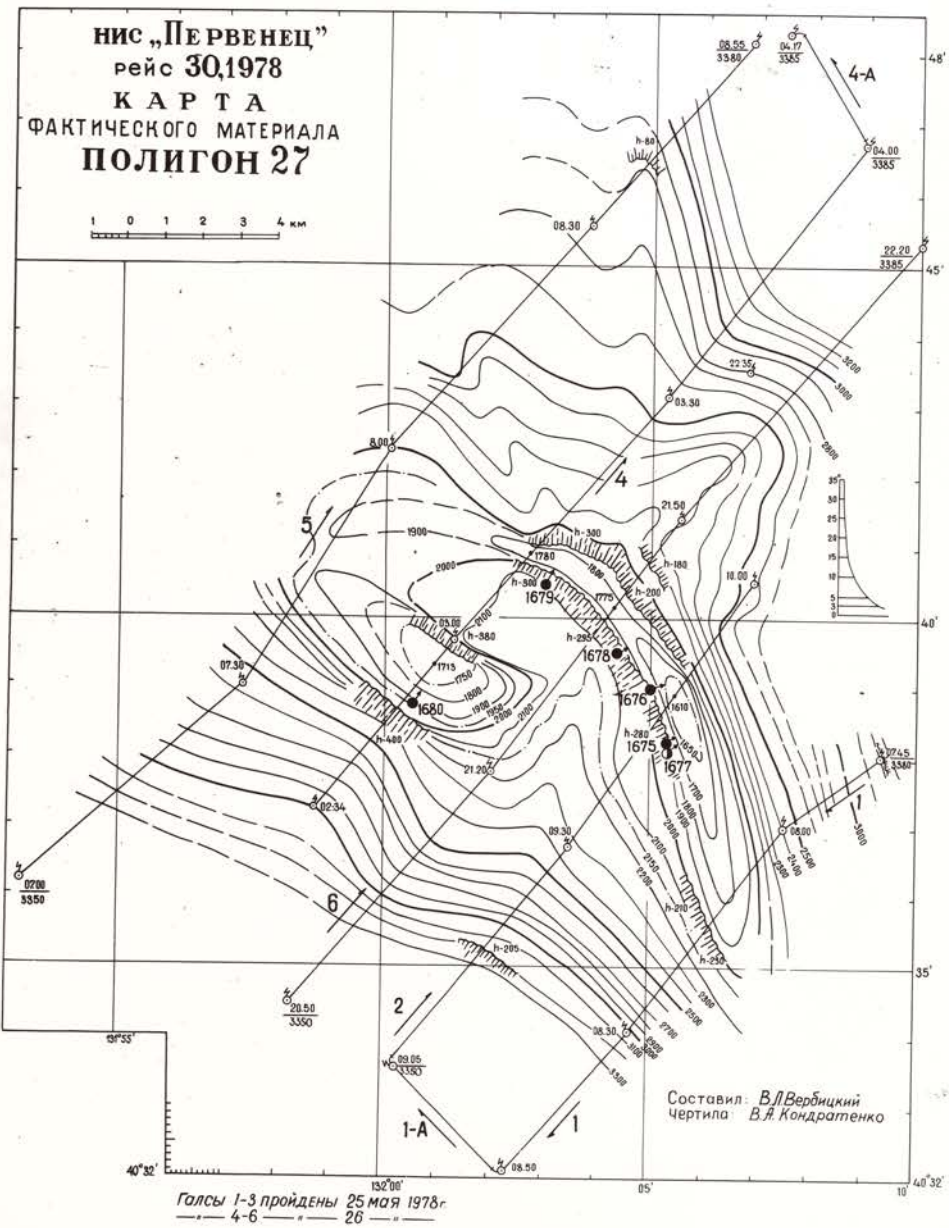
08

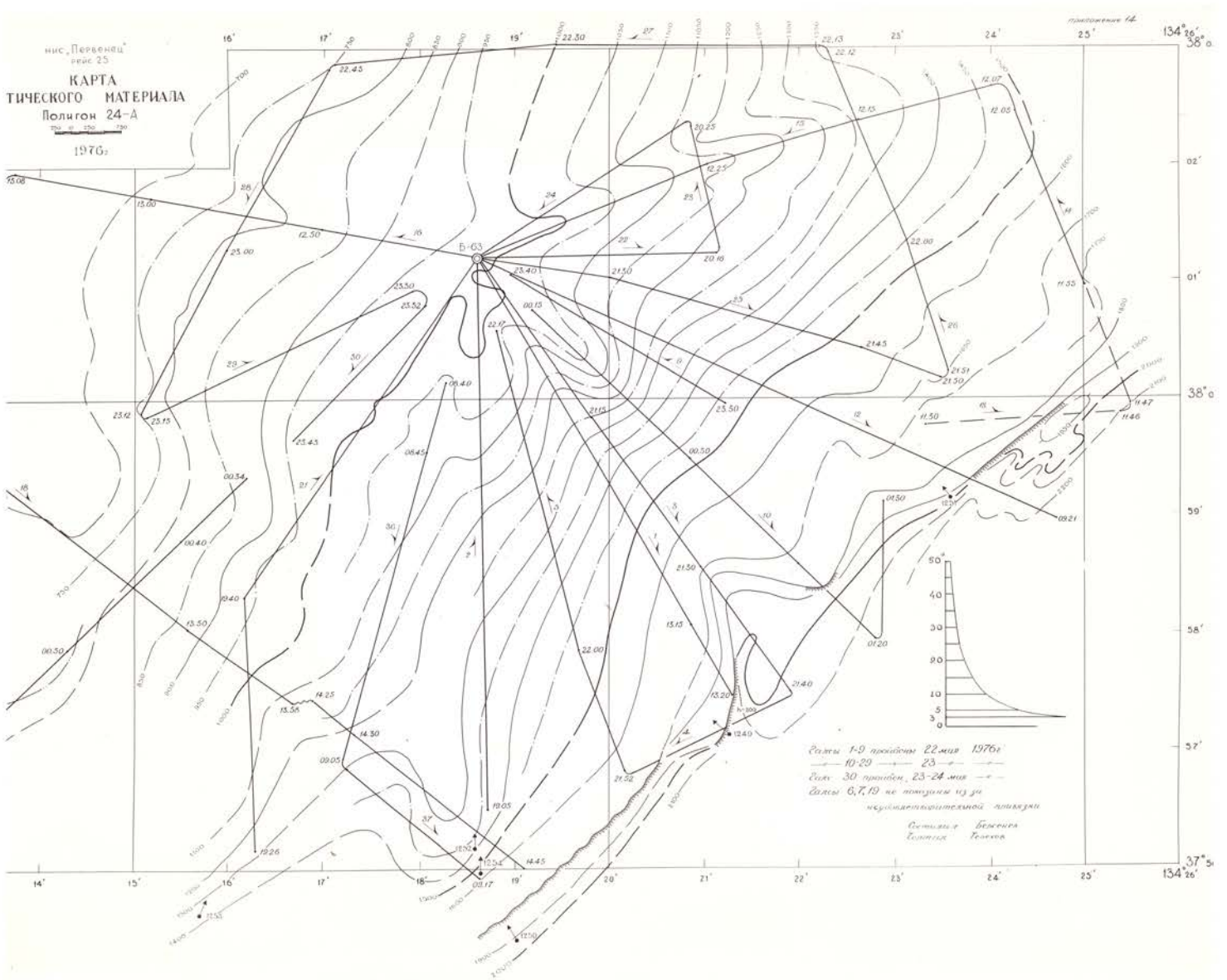
10

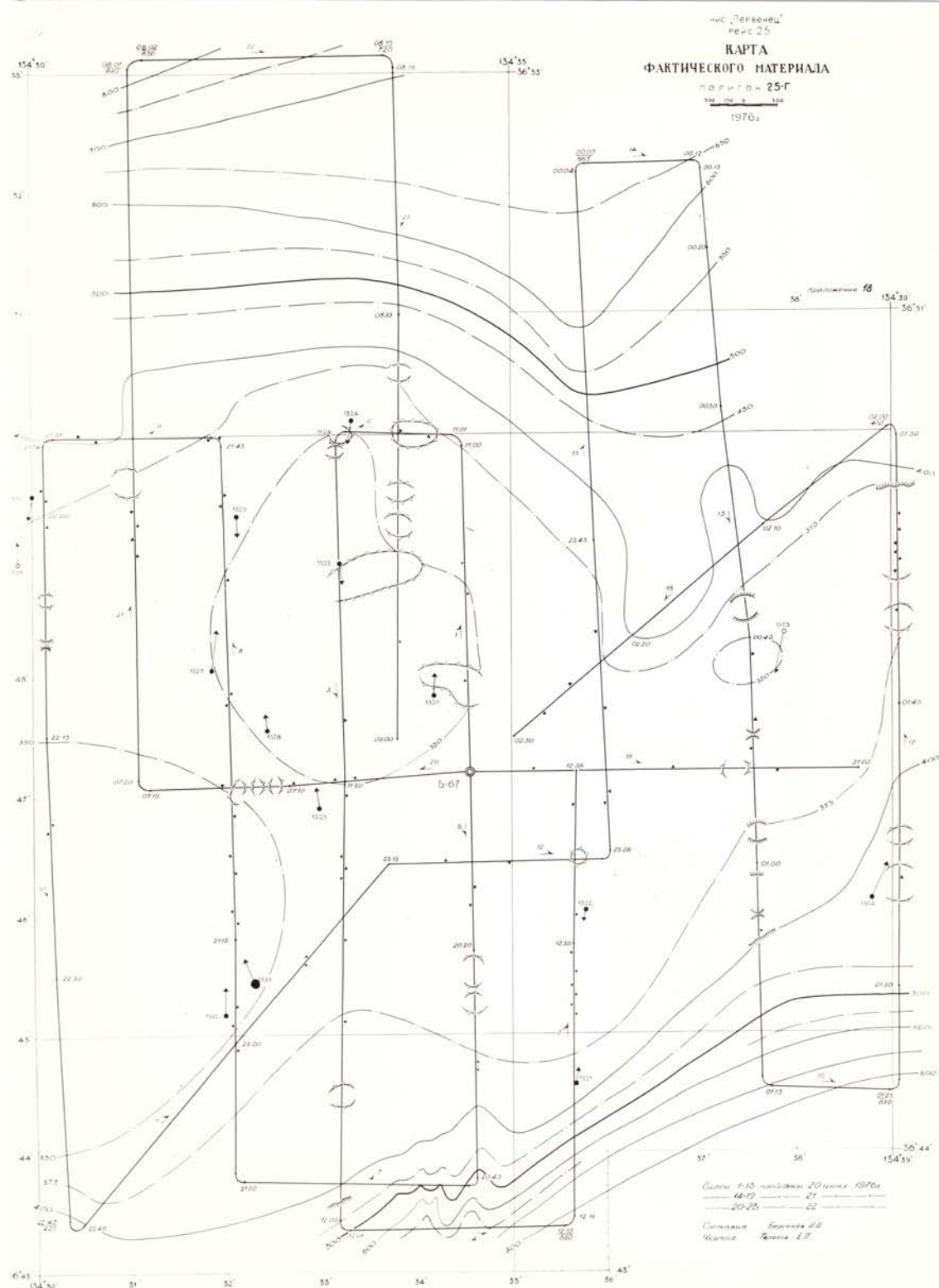
600-11

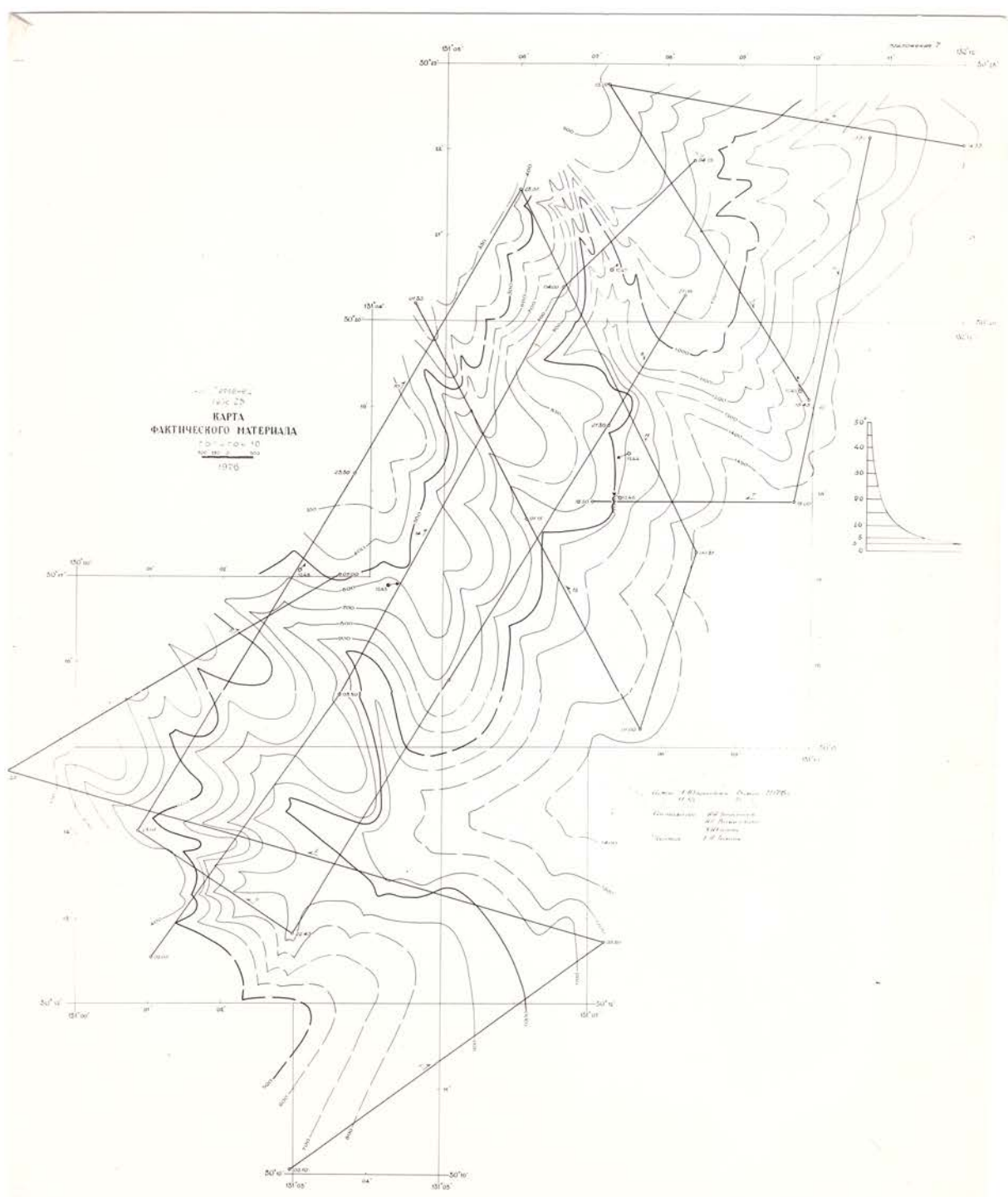


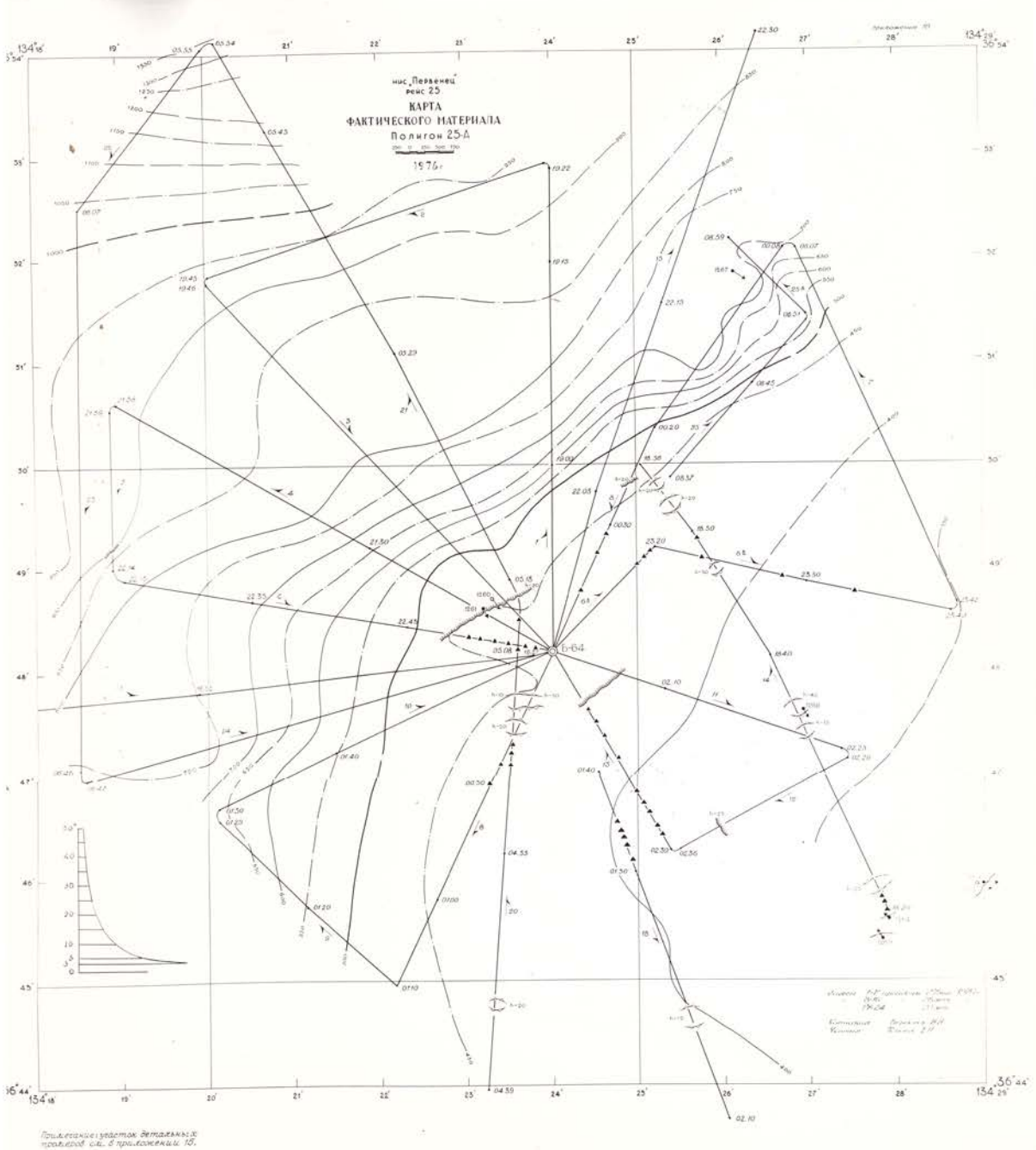
ПРИЛОЖЕНИЕ 14

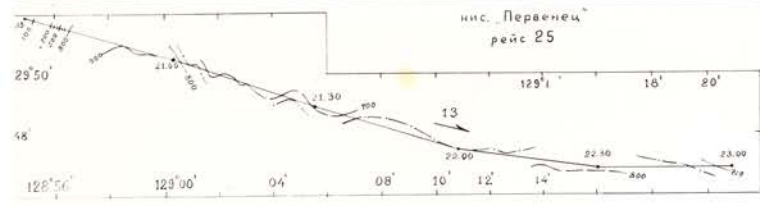












нис. „Первонецъ“
рейс 25

Приложения 2, 10

ВОСТОЧНО-КИТАЙСКОЕ

МОРЕ МАТЕРИКОВЫЙ СКЛОНО

